

KARADENİZ TEKNİK ÜNİVERSİTESİ

FEN BİLİMLERİ ENSTİTÜSÜ

ELEKTRİK-ELEKTRONİK MÜHENDİSLİĞİ ANABİLİM DALI

YERE GÖRE DURAĞAN UYDULARDA YÖRÜNGE EĞİKLİK AÇISI
VE
İLETİŞİM SİSTEMİNİNE ETKİSİ

Elektrik-Elektronik Mühendisi Ümit Cezmi YILMAZ

Karadeniz Teknik Üniversitesi Fen Bilimleri Enstitüsünce
“Elektronik Yüksek Mühendisi”
Unvanı Verilmesi İçin Kabul Edilen Tezdir.

Tezin Enstitüye Verildiği Tarih : 31.05.2005
Tezin Savunma Tarihi : 24.06.2005

Tez Danışmanı : Yrd. Doç. Dr. İ. Hakkı ÇAVDAR

Jüri Üyesi : Doç. Dr. Kemal ERDOĞDU

Jüri Üyesi : Yrd. Doç. Dr Coşkun AYDIN

Enstitü Müdürü : Prof. Dr. Emin Zeki BAŞKENT

Trabzon 2005

ÖNSÖZ

Uydu haberleşmesi düşüncesi 1945'te başlamış 1963 ten itibarense büyük gelişme göstermiştir. Bu tezde kuzey manevrası yapılmayarak kuzey/güney yönünde salınmasına izin verilen bir uydu için, yörunge eğim açısının değişimi ileriye dönük olarak hesaplanmıştır. Bu değişimin kapsama alanındaki sapmasına etkisini ne olacağı üzerinde durulmuştur. Değişimin haberleşmeye etkisini incelemek için örnek bir kapsama alanı oluşturulmuş ve etkiler, sayısal haberleşme için hesaplanmıştır. Sonuçlar, şekiller ve grafikler yardımıyla açıklanmıştır.

Yüksek lisans tezi danışmanlığını üstlenerek, çalışmalarımın yürütülmesi sırasında yardım ve görüşlerini esirgemeyen değerli hocam Yrd. Doç. Dr. İ.Hakkı ÇAVDAR'a, tecrübe ve bilgileriyle yardımlarını esirgemeyen Türksat Uydu Kontrol Merkezinde görevli Uydu Sistemleri ve Yörunge Kontrol Mühendisleri, Cemal ŞAKACI, Ümit GÜLER, Mustafa D. KOÇAK'a ve Uydu Kontrol Müdürü M. Zeki KALKAN'a, görüşlerinden ve bilgilerinden faydalandığım Türksat Kontrol ve Gözlem Direktörü İbrahim ÖZ'e, Frekans Planlama Müdürü ve kayıncı validem Göksev K. KARLIKLI'ya, Frekans Koordinasyon Müdürü A.Murat ÇETİN ve desteklerini esirgemeyen pek kıymetli çalışanları, arkadaşlarım; Ergün TOPALOĞLU ve Nazgül BAĞBAŞI'ya, pek değerli arkadaşlarım Tolga KABATAŞ, N.Göksel ÜNLÜ ve Evren KALAYCI'ya ve tüm nöbet arkadaşlarına çok teşekkür ederim.

Ayrıca hayatım boyunca hiçbir maddi ve manevi desteği benden esirgemeyen ve bunu hep hissettiğim anneme, babama ve kardeşlerime yürek dolusu teşekkür ederim.

Ümit Cezmi YILMAZ

Trabzon, 2005

İÇİNDEKİLER

	<u>Sayfa No</u>
ÖNSÖZ.....	II
İÇİNDEKİLER.....	III
ÖZET.....	VI
SUMMARY.....	VII
ŞEKİLLER DİZİNİ.....	VIII
TABLolar DİZİNİ.....	XI
SEMBOLLER DİZİNİ.....	XII
1. GENEL BİLGİLER.....	1
1.1. Giriş.....	1
1.2. Kronoloji.....	2
1.3. Türkiye'de Uydu Haberleşmesi.....	4
1.4. Uydu Yörüngeleri.....	5
1.4.1. Yörünge Tanımı ve Çeşitleri.....	5
1.4.1.1. Dairesel-Kutupsal Yörünge.....	5
1.4.1.2. Eliptik-Eğimli Yörünge.....	6
1.4.1.3. Dairesel-Ekvatoral Yörünge.....	7
1.5. Yere Göre Durağan Yörünge	8
1.5.1. Koordinat ve Zaman Sistemi.....	8
1.5.1.1. Koordinat Sistemi.....	8
1.5.1.2. Ekvatoral Dünya Merkezli ve Eqliptik Koordinatlar.....	9
1.5.1.3. Zaman Sistemleri.....	10
1.5.1.4. Evrensel Saat.....	10
1.5.1.5. Jülyen Tarih ve Uyarlanmış Jülyen Tarih.....	11
1.5.1.6. Gün.....	11
1.5.2. Kepler Yasaları.....	12
1.5.2.1. Eliptik Yörünge Yasası.....	12
1.5.2.2. Alanlar Yasası.....	13
1.5.2.3. Harmonik Yasa.....	13
1.5.3. Newton'un Çekim Yasası.....	14

1.5.3.1	Evrensel Çekim Kuvveti Yasası.....	14
1.5.3.2.	İki Kütle Problemi.....	14
1.5.4.	Uzaydaki Bir Yörüğenin Elemanları.....	19
1.6.	Transfer Yörüngे.....	21
1.6.1.	Kaçış Hızı.....	21
1.6.2.	Hohmann Transferi.....	22
1.6.2.1.	Transfer Yörüngे	22
1.6.2.	Hohmann Transferinin Gerçekleştirilmesi.....	23
1.6.2.1.	Yüksekliğin Değiştirilmesi.....	23
1.6.3.2.	Uydunun Yeröte ve Yerberi Noktalarındaki Hızları.....	23
1.6.3.3.	Düzlemin Değiştirilmesi.....	25
1.7.	Yere Göre Durağan Bir Uyduya Etkiyen Bozucu Kuvvetler.....	25
1.7.1.	Yerçekiminden Bağımsız Kuvvetler.....	26
1.7.2.	Üçüncü Kütlenin Çekim Etkisi.....	27
1.7.3.	Homojen Olmayan Kütle Dağılımından Kaynaklanan Bozulma.....	32
1.8.	Yörüngé Eğiklik (Eğim) Vektörü.....	34
1.8.1.	Güneşten Kaynaklanan Etki.....	35
1.8.2.	Aydan Kaynaklanan Etki.....	37
1.9.	Uydunun Yörüngede Tutulması	38
1.9.1.	Yörüğenin Hesaplanması.....	43
1.9.1.1.	Yörüngé Parametrelerinden Kartezyen Koordinatlara Dönüşüm.....	43
1.9.1.2.	Kartezyen Koordinatlardan Yörüngé Parametrelerine Dönüşüm.....	44
1.9.2.	Nominal Kontrol Çevrimi.....	44
1.9.2.1	Kuzey/Güney Manevrası.....	45
1.9.2.2.	Doğu/Batı Manevrası.....	46
1.9.3.	Yörüğenin Belirlenmesi.....	48
1.10	Uydu İletişim Analizi.....	51
1.10.1.	Anten parametreleri.....	51
1.10.1.1.	Anten Kazancı.....	51
1.10.1.2.	Anten Hızme Açıklığı.....	52
1.10.1.3.	Anten Yan Kulakçıklar.....	53
1.10.2.	Uydu-Yer Ve Yer-Uydu Bağı Temel Bileşenleri.....	53
1.10.3.	Yer-Uydu ve Uydu-Yer Bağı Analizi.....	53

1.10.3.1.	Verici İstasyon ve Uyduya İşaret Gönderilmesi.....	54
1.10.3.2.	Etkin Yönsemesiz Yayılan Güç (EIRP).....	55
1.10.4.	Uydu Haberleşmesinde İletim Kayıpları.....	56
1.10.4.1.	Serbest Uzay Kaybı.....	56
1.10.4.2.	Uydu İstasyon Uzaklısı (D).....	57
1.10.4.3.	Atmosferik Kayıplar.....	57
1.10.4.4.	Yağmurun Etkisi.....	58
1.10.4.5.	Anten Odaklama Kaybı.....	58
1.10.4.6.	Coğrafi Konumdan Kaynaklana Düzeltme Faktörü.....	59
1.10.5.	Uydu-Yer Bağı ve Alıcı İstasyonu.....	60
1.10.5.1.	Kazanç Gürültü Sıcaklısı Oranı (G/T).....	60
1.10.5.2.	İsıl Gürültü.....	60
1.10.5.3.	Sistem Sıcaklısı.....	61
1.10.5.4.	G/T Hesaplaması.....	61
1.10.5.5.	İşaret Gürültü Gücü Oranı.....	61
1.10.5.6.	Aktarıcının Çalışma Noktası.....	62
2.	YAPILAN ÇALIŞMALAR VE BULGULAR.....	64
2.1.	Doğrulama Katsayısı.....	64
2.2.	Yörünge Eğiklik Açısı Değişimi.....	65
2.3.	Yörünge Eğiklik Açısı Değişiminin Etkileri.....	74
2.3.1.	Kapsama Alanına Etkisi.....	74
2.3.1.1.	Sapma Mesafesindeki Değişim.....	74
2.3.2.	Kapsama Alanının Değişimi.....	77
2.4.	İletişime Etkisi.....	84
2.4.1.	Kapsama Alanındaki Değişimin Haberleşmeye Etkisi.....	84
2.5.	İletişim Kalitesine Etkisi.....	92
3.	SONUÇLAR.....	98
4.	ÖNERİLER.....	100
5.	KAYNAKLAR.....	101
6.	EKLER.....	103
	ÖZGEÇMİŞ.....	118

ÖZET

1963 yılından itibaren hızla gelişme gösteren uydu sistemleri, haberleşme alanının vazgeçilmezlerinden olmuştur. 2005 yılı başı itibariyle yere sabit yörüngede 250 civarında uydu ve bu uyduları kontrol için 40'a yakın yer kontrol istasyonu kurulmuştur[ESA, European Space Agency]. Aralarında, Ankara Gölbaşı'nda bulunan Türksat Uydu Kontrol Merkezinin de bulunduğu bu kontrol merkezlerinin ana görevlerinden biri uyduları yörüngeinde yere göre sabit tutmaktadır. Böylece sabit antene sahip kullanıcılar kesintisiz haberleşme sağlayabilir. Türksat uyduları bulunduğu konumlardan dolayı maruz kaldığı bozucu etkiler nedeniyle doğuya (75° doğu boylamına) ve ekvator düzleminden sapma eğilimindedirler. Uyduların bu hareketlerini önlemek için, üzerinde bulunan ve uzaya gönderilmeden önce yüklene yakıtlar kullanılarak manevralar yapılır. Yörüngedeki bir uyduya yeniden yakıt yüklemek söz konusu olmadığından mevcut yakıtın ekonomik kullanılması son derece önemlidir ve ömrünü belirleyen en önemli parametrelerdir.

Bu çalışmada kuzey manevrası yapılmayan ve salınım yapmasına izin verilen bir uydu ele alınmıştır. Çalışmanın ilk aşamasında böyle bir yörüngedeki yere göre durağan uydunun ekvator düzlemini ile yaptığı açı incelenmiş ve sonuçlar Türksat 1B ve 1C uydularındaki verilerle karşılaştırılmıştır. Çalışmanın ikinci ve üçüncü aşamasında eğimli yörüngeye bırakılan bir uydunun haberleşmesi incelenmiştir. Sapma alanındaki değişim ve alıcıda oluşacak ileriye dönük işaret seviyeleri Matlab'da yazılan örnek kapsama alanı ile hesaplanmıştır.

Anahtar Kelimeler: Eğik Yörünge, Eğimli Yörünge, Yörünge Eğikliği Açısı, Kapsama Alanı

SUMMARY

The Inclination Angle In Geostationary Satellites And Its Effects On Communication

Satellites, which are one of the indispensable equipment in communication market, has been developing since 1963 so fast. At the begining of 2005, there are almost 250 geostationary satellites in orbit and 40 control centers on the earth to control them[ESA, European Space Agency]. Türksat Satellite Control Center, one of the control centers, had establissted in Gölbaşı, Ankara. One of the missions of the control centers is keeping the satellites in orbit due to provide continuous communications. So that consumers can have quality in own applications by using fixed antennas. Due to perturbations act on the satellites, they cannot be stable in their orbits. Our satellites Türksat 1B, 1C and Türksat 2A intent to move to 75° east stable longitude and through the nonequatorial plane because of the perturbations. In order to keep satellites in geostationary orbit some applications must be done, called manevres. In manevres fuel and oxidizer are used, and determine the life of the satellite. They are loaded on the sattellites while on earth. It is impossible to reload fuel on a satellite so it is very important to consume fuel economicly.

In this study a satellite, on which north manevreus stopped and began its life in inclined orbit used as a reference. First part of the study is on inclination angle estimation. After that, the communication performance on a satellite, in inclined orbit, is studied. To do this, the change on a footprint of an satellite calculated.

Key Words: Inclined Orbit, Inclination, Footprint

ŞEKİLLER DİZİNİ

	<u>Sayfa No</u>
Şekil 1. Kutupsal-dairesel yörüngə örneği.....	6
Şekil 2. Bir tam tur sonunda dünya yüzeyinde taranan alan.....	6
Şekil 3. Eliptik eğimli yörüngeler.....	7
Şekil 4. Üç temel uydu yörüngesi.....	8
Şekil 5. Eqliptik yörüngə	9
Şekil 6. Dünya merkezli ekvatoral koordinat sistemi	10
Şekil 7. Güneş günü ve Yıldız günü.....	12
Şekil 8. Konik kesitler.....	12
Şekil 9. Alanlar yasası.....	13
Şekil 10. Uydunun hızları.....	13
Şekil 11. Kütle çekim kuvveti.....	14
Şekil 12. İki kütle problemi.....	15
Şekil 13. Konik kesit şekilleri.....	18
Şekil 14. Uzayda yörüngə elemanları.....	20
Şekil 15. Yörüngə düzlemindeki yörüngə elemanları.....	20
Şekil 16. Transfer yörungede yerôte ve yerberi.....	22
Şekil 17. Transfer yörüngə sistemi.....	23
Şekil 18. Güneş ve Ayın kütle çekimi.....	29
Şekil 19. 1 Ocak 2005 ten sonraki bir yıllık Güneşin koordinatları.....	31
Şekil 20. 1 Ocak 2005 ten sonra 30 günlük Ayın koordinatları.....	32
Şekil 21. Eğim vektörü.....	34
Şekil 22. Üçüncü kütlenin yer vektörü.....	35
Şekil 23. Yere göre durağan haberleşme uydusunun dünyaya olan uzaklığı.....	39
Şekil 24. Ekvator düzlemi ile çakışmayan yörüngə düzlemi (eğimli yörüngə).....	39
Şekil 25. Dünyaya göre gözlemlenen izdüşümü.....	40
Şekil 26. İstasyon antenin 48 saatlik azimut ve yükseltme açıları.....	40
Şekil 27. Dairesel ve eliptik yörungede uydunun davranışı.....	41
Şekil 28. Kararlı ve Kararsız boyamlar.....	41
Şekil 29. Ay ve Güneş çekimi.....	42
Şekil 30. Güneş ışını basıncının uydu yörungesine etkisi.....	42

Şekil 31. Boylam penceresi.....	45
Şekil 32. Manevra çevrim planı.....	45
Şekil 33. Güney manevrası.....	46
Şekil 34. Doğu manevrası.....	46
Şekil 35. 2005 yılı 120 gün mesafe ölçüm sonuçları.....	48
Şekil 36. 2005 yılı 120. gün uydu-merkez vektörü.....	49
Şekil 37. 2005 yılı 123. gün yer istasyonu-uydu mesafesi.....	49
Şekil 38. 2005 yılı 123. gün dünya merkezi uzaklığı-boyamı.....	50
Şekil 39. 2005 yılı 126. gün yer istasyonu-uydu mesafesi.....	50
Şekil 40. 2005 yılı 126. gün dünya merkezi uzaklığı-boyamı.....	51
Şekil 41. Yer-Uydu ve Uydu-Yer bağı.....	54
Şekil 42. Uydu Haberleşme bağı.....	54
Şekil 43. Doğrulama katsayısı.....	65
Şekil 44. Türksat 1B 24 günlük eğim açısı.....	66
Şekil 45. Türksat 1B 29 günlük eğim açısı.....	66
Şekil 46. Türksat 1B 29 günlük eğim açısı.....	67
Şekil 47. Türksat 1C 10 günlük eğim açısı.....	67
Şekil 48. Türksat 1C 19 günlük eğim açısı.....	68
Şekil 49. Türksat 1C 25 günlük eğim açısı.....	68
Şekil 50. Türksat 1B 29 günlük eğim açısı.....	69
Şekil 51. Türksat 1C 27 günlük eğim açısı.....	69
Şekil 52. Türksat 1C 27 günlük eğim açısı.....	70
Şekil 53. Türksat 1C 97 günlük eğim açısı.....	70
Şekil 54. Bir yıllık eğim açısı değişimi.....	71
Şekil 55. Eğim açısının iki yıllık değişimi.....	72
Şekil 56. Üç yıllık eğim açısı değişimi.....	73
Şekil 57. Eğim açısını dört yıllık değişimi.....	73
Şekil 58. Kullanılan referans kapsama alanı ve referans nokta.....	74
Şekil 59. Kapsama alanındaki sapmanın ilk 30 günü.....	75
Şekil 60. 1,5 derece eğim açısında iken 90 günlük kapsama alanının sapması.....	75
Şekil 61. Eğim açısı 3 dereceye ulaşana kadar kapsama alanının sapması.....	76
Şekil 62. Uzaydan eğimli yörünge.....	77
Şekil 63. Alınan referans kapsama alanı.....	78

Şekil 64. Kapsama alanın eğim açısı 1 derece iken kuzey/güney hareketi.....	78
Şekil 65. Eğim açısı 1 derece iken uydunun ve referans noktanın uzaklığı.....	79
Şekil 66. Kapsama alanın eğim açısı 1,5 derece iken kuzey/güney hareketi.....	80
Şekil 67. Eğim açısı 1,5 derece iken uydunun ve referans noktanın uzaklığı.....	80
Şekil 68. Kapsama alanın eğim açısı 2 derece iken kuzey/güney hareketi.....	81
Şekil 69. Eğim açısı 2 derece iken uydunun ve referans noktanın uzaklığı.....	81
Şekil 70. Kapsama alanın eğim açısı 2,5 derece iken kuzey/güney hareketi.....	82
Şekil 71. Eğim açısı 2,5 derece iken uydunun ve referans noktanın uzaklığı.....	82
Şekil 72. Kapsama alanın eğim açısı 3 derece iken kuzey/güney hareketi.....	83
Şekil 73. Eğim açısı 3 derece iken uydunun ve referans noktanın uzaklığı.....	83
Şekil 74. Türksat 1B Türkiye kapsama alanı.....	84
Şekil 75. Türksat 2A hareketli S1 anteni kapsama alanı.....	84
Şekil 76. Çalışma için tanımlanan kapsama alanı.....	85
Şekil 77. Kapsama alanında tanımlanan noktaların 0,5 derece eğimdeki işaret seviyeleri.....	86
Şekil 78. Kapsama alanında tanımlanan noktaların 1 derece eğimdeki işaret seviyeleri.....	87
Şekil 79. Kapsama alanında tanımlanan noktaların 1,5 derece eğimdeki işaret seviyeleri.....	88
Şekil 80. Kapsama alanında tanımlanan noktaların 2 derece eğimdeki işaret seviyeleri.....	89
Şekil 81. Kapsama alanında tanımlanan noktaların 2,5 derece eğimdeki işaret seviyeleri.....	90
Şekil 82. Kapsama alanında tanımlanan noktaların 3 derece eğimdeki işaret seviyeleri.....	91
Şekil 83. Alıcıdaki E_b/N_0 seviyesinin 0,5 derece eğiklik açısı için değeri.....	93
Şekil 84. Alıcıdaki E_b/N_0 seviyesinin 1 derece eğiklik açısı için değeri.....	94
Şekil 85. Alıcıdaki E_b/N_0 seviyesinin 1,5 derece eğiklik açısı için değeri.....	95
Şekil 86. Alıcıdaki E_b/N_0 seviyesinin 2 derece eğiklik açısı için değeri.....	96
Şekil 87. Alıcıdaki E_b/N_0 seviyesinin 2,5 derece eğiklik açısı için değeri.....	97
Şekil 88. Alıcıdaki E_b/N_0 seviyesinin 3 derece eğiklik açısı için değeri.....	97

TABLALAR DİZİNİ

	<u>Sayfa No</u>
Tablo 1. Transfer yörüngे değişkenleri.....	25
Tablo 2. Bir uydunun manevra planı.....	47
Tablo 3. Atmosferik zayıflama örnekleri.....	58
Tablo 4. Yer istasyonu performans karakteristikleri (C-band, anten verimliliği %70).....	59
Tablo 5. Yer istasyonu performans karakteristikleri (Ku-band, anten verimliliği %60)	59
Tablo 6. Tanımlanan kapsama alanı değerleri.....	85
Tablo 7. Tanımlanan kapsama alanı şekillerinin uzaklıkları.....	86

SEMBOLLER DİZİNİ

a	yarı-asal eksen uzunluğu (m)
A	Antenin fiziksel alanı
ABM	Apogee Bust Motor(Yeröte İtki Motoru)
a_e	Uydunun yörüngeşinin yarı asal eksen uzunluğu(m)
A_e	Antenin etkin alanı
AMF	Apogee Motor Fire(Yeröte İtki Ateşlemesi)
B	Band Genişliği (Hz)
b	yarı-minor eksen uzunluğu (m)
c	ışık hızı ($3 \cdot 10^8$ m/s)
C/N	Carier to Noise Ratio (Taşıyıcı gücü-Gürültü gücü oranı)
C_{nm}	sabitler
d	Anten çapı (m)
D	mesafe (m)
e	dışmerkezlilik
E'	dışmerkezlilik anomali
E	East (Doğu)
E_b/N_0	Bit başına enerjinin gürültüye oranı
EIRP	Etkin Yönsemesiz Yayılan Güç
F	kuvvet (N)
f	kullanılan frekans
g_0	Dünyanın yüzeyindeki yerçekim ivmesi ($9,8 \text{ m/s}^2$)
G/T	Anten kazancının anten gürültü sıcaklığına oranı
G1	%100 verimli 1m ² antenin yüzey alanı kazancı
GPS	Global Positioning System (Küresel Navigasyon Sistemi)
G_R	Alici kazancı
G_T	Verici anten kazancı
h	Açışal momentum
h^2	eğiklik vektörünün düşey bileşeni
HPA	High Power Amplifier (Yüksek Güçlü Yükseltçeş)
HPBW	Half Power Band Width (Hüzme Genişliği) (derece)
IBO	Input back-off (Giriş güç geri çekimi)
i	eğikli vektörü
i_m	Ekliptik düzlemede Ayın parametresi
JD	Julian Date (Jülyen Tarih)
K	Uyduya özgü sabit
k	Boltzman sabiti ($1,378 \cdot 10^{-23}$ J/K)

k_2	eğiklik vektörünün yatay bileşeni
L	Besleyici anten kazancı
LAM	Ekliptik düzlemdeki Ayın enlemi
LEO	Low and Early Orbit(Alçak Yörunge)
L_{FS}	Serbest Uzay Yol Kaybı
LNA	Low Noise Amplifier (Düşük Gürültülü Yukselteç)
LOM	Ekliptik düzlemdeki Ayın boylamı
Ls	Güneşin ekliptik düzlemdeki boylamı(derece)
M	Dünyanın Kütlesi ($5,98 \cdot 10^{24}$ km)
m	Uydunun Kütlesi(kg)
MDJ	Modified Julian Date(Uyarlanmış Jülyen Tarih)
N	North (Kuzey)
N_T	Alicidaki toplam gürültü
OBO	Output back-off (Çıkış güç geri çekimi)
P	Periyod (s)
P_n	Legendre polinomu
P_{nm}	Legendre fonksiyonu
P_R	Alicidaki güç
P_t	Gürültü gücü
P_T	Verici Gücü
R	çap, uzaklık (m)
\mathbf{R}	Yer-Uydu vektörünün genliği
$\dot{\mathbf{r}}$	hız (m/s)
$\ddot{\mathbf{r}}$	İvme (m/s ²)
r_0	Dünyanın yarıçapı ($6,378144 \cdot 10^6$ m)
r_a	Yerote noktası-Dünya merkezi uzaklığı(m)
RA	Ekvator düzlemine göre Güneşin boylamı(derece)
r_p	Yerberi noktası-Dünya merkezi uzaklığı (m)
S	Uyduya özgü bir sabit
S_o	Uyduya özgü bir sabit
S_{nm}	sabitler
T	sıcaklık (K)
t	zaman (s)
T_{anten}	Antenin eşdeğer gürültü sıcaklığı (K)
T_e	Alicidaki eşdeğer gürültü sıcaklığı
T_o	Ortam sıcaklığı (K)
T_{sistem}	Sistemin toplam eşdeğer gürültü sıcaklığı (K)
TWTA	İlerleyen Dalga Tüp Yukselteci
U	Dünyanın potansiyeli

UT	Universal Time (Evrensel Zaman)
\vec{v}	Uydunun çizgisel hızı
\vec{v}_0	Kurtulma hızı (m/s)
\vec{v}_a	Yeröte noktasındaki hız (m/s)
\vec{v}_p	Yerberi noktasındaki hız (m/s)
v_x	Uydunun çizgisel hızının x bileşeni
v_y	Uydunun çizgisel hızının y bileşeni
v_z	Uydunun çizgisel hızının z bileşeni
W	aydınlatma seviyesi (W/m^2)
X	Uydunun x koordinatı
x_m	Ayın x koordinatı
x_s	Güneşin x koordinatı
y	Uydunun y koordinatı
y_m	Ayın y koordinatı
y_s	Güneşin y koordinatı
z	Uydunun z koordinatı
z_m	Ayın z koordinatı
z_s	Güneşin z koordinatı
β	Ayın ortalama bozulması
β_d	Uydu-yer bağı beta faktörü
β_u	Yer-uydu bağı beta faktörü
Γ	Güneşin ortalama bozulması
Γ_p	Bozucu etkilerin toplamı
$\Gamma_{\underline{\Phi}}$	Bozucu etkilerin normal bileşeni
δ	Ayın boylamı-Güneşin boylamı farkı
Δm	Uydu-Ay mesafesi(m)
Δs	Uydu-Güneş mesafesi (m)
ΔV	Uydunun hız değişimi
ϵ	Ekvator-düzleme ile ekliptik düzlem arasındaki açı(derece)
H	Antenin verimliliği
θ	gerçek anomali
θ_1	yer istasyonunun bulunduğu enlem
θ_e	yer istasyonunun bulunduğu boylam
θ_s	uydunun bulunduğu boylam
λ	Ayın ortalama boylamı
μ	Dünyanın kütle çekim sabiti ($398600,64 \cdot 10^9 m^3 /s^2$)
μ_m	Ayın kütle çekim sabiti ($4902,756 \cdot 10^9 m^3 /s^2$)
μ_p	Bozucu kütlenin kütle çekim sabiti (m^3 /s^2)
μ_s	Güneşin kütle çekim sabiti($1,327127 \cdot 10^{20} m^3 /s^2$)
π	sabit 3,14159

ψ	Uydu vektörü ile bozucu kütle arasındaki açı
Ω	Yükselme düğümü ile referans nokta arasındaki açı
ω	yerberi argümanı
Ω_m	Ekliptik düzlemede Ayın parametresi



1. GENEL BİLGİLER

1.1. Giriş

Uydular kullanılarak uluslararası haberleşme sistemi kurma fikri, ilk olarak bir fizikçi ve bilim kurgu yazarı olan Sir. Arthur C.Clarke'in 1945 yılında British Magazine'de yayınlanan yazısından ortaya çıkmıştır.

Yazında " Tüm problemler 24 saatlik yörünge periyodu olan uydular tarafından çözülebilir. Öyle ki bu uydular dünyanın Ekvator düzleminde yer almalıdır. Böylece yer küreden bakıldığından uydular hep sabit noktada görülecektir. Bu, yeryüzüne yerleştirilmiş alıcıların işini son derece kolaylaştıracaktır." denmiştir.

Sovyetler Birliği SPUTNIK I uydusunu yörüngeye fırlatana kadar, uydu fırlatmaya uygun bir roket teknolojisi geliştirilememiş ve Clarke'in öngördüğü, yere göre sabit yörüngeye ancak 1963 yılında ulaşılmıştır.

Uydu haberleşmesi alanındaki gerçek anlamda ilk deneme, ABD hükümetinin SCORE Projesi çerçevesinde 18 Aralık 1958'de fırlattığı bir uydu ile gerçekleştirildi. İlk haberleşme uyduları arasında yer alan ve 12 Ağustos 1960'ta fırlatılan "ECHO 1" plastikten yapılmış ve ince bir alüminyum katmanla kaplanmış bir balondu. Şişirildiğinde çapı 30 metreye ulaşıyordu. Uydu, yerdeki bir istasyondan aldığı radyo sinyallerini bir başka istasyona iletiyor, ses dalgalarını her iki doğrultuda da gönderebiliyordu. "ECHO 1" deneysel nitelikte olmak üzere telefon ve veri iletişiminde kullanıldı. 25 Haziran 1964'te fırlatılan "ECHO 2" ise plastik ve alüminyum metal yapraklardan yapılmış büyük bir balon biçimindeydi. "ECHO 2" projesi, ilk ABD-SSCB ortak uzay çalışmasıdır. İngiltere'de Manchester yakınlarındaki Jodrell Bank Gözlemevi'nden gönderilen bir radyo sinyali "ECHO 2" tarafından yansıtılarak Rusya'da Gorki yakınlarındaki Zimenki Gözlemevi'ne iletildi.

İlk aktif (alıcı ve verici donanımı içeren) uydu olan "TELSTAR 1" uydusu, 10 Temmuz 1962'de yörüngeye oturtuldu ve ilk kez canlı televizyon yayınları ile telefon konuşmalarının Atlas Okyanusunun bir yanından öbür yanına iletilmesinde kullanıldı. Bu uydu, yerden aldığı sinyalleri güçlendirerek başka bir yer istasyonuna gönderebiliyordu. yalnızca 77 kg. olan ve 3600 güneş pili aracılığıyla yeniden doldurulabilen nikel kadmiyum bataryalarla donatılmış "TELSTAR 1"de 1000'in üzerinde transistor bulunuyordu. Uydunun merkezinde, sinyalleri yalnız kendi gücüyle 10 bin kez, başka

elemanların yardımıyla da çok daha fazla güçlendirebilecek bir ilerleyen dalga lambası (travelling wave tube) bulunuyordu. "TELSTAR 1"in 10 Temmuz 1962'de fırlatılmasından sonra, Maine'deki Andover yakınlarında bulunan hareketli bir dev anten, uydu yörünge üzerinde uygun bir noktaya (yeröte noktası 5600 km) yaklaşlığında uyduya kenetlendi. Bir kaç dakika sonra Atlas Okyanusunun ötesine iletilen ilk televizyon görüntüleri İngiltere ve Fransa'daki vericiler aracılığıyla Avrupa'ya yayınlandı."TELSTAR 1" aracılığıyla telefon, telgraf, veri, telefoto ve faks iletimleri de başarıyla gerçekleştirildi.

"TELSTAR 1" Şubat 1963'e deðin başarıyla kullanıldı. Bu tarihten sonra uydu yörüngeinden çıktı ve kullanılmaz hale geldi. 7 Mayıs 1963'te biraz daha ağır olmakla birlikte temel olarak ilk "TELSTAR 1" a benzeyen "TELSTAR 2" fırlatıldı ve daha uzak bir yörüngeye (yeröte noktası 10.720 km) oturtuldu. Bunu izleyen "TELSTAR" uydular daha uzak dairesel yörüngelere yerleştirilerek konumlarının yere göre sabit kalması sağlandı.

Tam adı International Telecommunications Satellite Organization (Uydular Aracılığıyla Haberleşme Uluslararası Örgütü) olan INTELSAT, 1964'te ABD'nin öncülüğünde 19 ülkenin haberleşme ve PTT idareleri tarafından bir konsorsiyum şeklinde kuruldu. Kendi haberleşme uyduları ve bunları yerden denetleyen istasyonları bulunan INTELSAT, 1998 yılı sonunda yörungedeki uydu sayısını 31'e ulaşmıştır. Kuruluşundan sonraki birkaç yıl içinde üye sayısı hızla artan INTELSAT, bugün dünya ülkelerinden çoğunun haberleşme kuruluşlarını kapsar duruma gelmiştir.

Bu uyduların ilki olan "Early Bird" (sonradan "INTELSAT 1" adıyla anılmıştır) 1965'te Atlas Okyanusu üzerinde, ekvator hizasında yere göre duraðan bir yörüngeye oturtuldu. Sonraki yıllarda Büyük Okyanus ile Hint Okyanusunun üzerinde yörüngeye yerleştirilen INTELSAT serisine ait çok sayıda uydu aracılığıyla dünyanın her tarafından ulaşılabilen bir ticari haberleşme sistemi kuruldu.

1.2. Kronoloji

- | | |
|--------------|---|
| 1929 | :Hermann Noording, The Problem of Space Flight (uzay uçuşu problemi) kitabında dünyaya göre sabit yörünge kavramını tanımlıyor. |
| 1945 (Mayıs) | :Artuhur C.Clarke bir bilim kurgu yazısında Dünya haberleşmesinin ve yayıncılığının yere göre sabit uydular aracılığı ile nasıl |

	yapılabileceğini anlatıyor.
1957 (4 Ekim)	:Sovyetler Birliği tarafından Sputnik I yapay uydusu yörüngeye yerleştirildi ve ilk kez uydudan yayınlanan radyo dalgaları yeryüzünden saptandı.
1957 (18 Aralık)	:ABD Hükümetince gerçekleştirilen SCORE projesi kapsamında uydu yapılarak yörüngeye yerleştirildi.
1959 (Mart)	:Pierce'in uydu haberleşmesi olasılıklarından söz eden makalesi yayınlandı.
1960 (Ağustos)	:Echo-I isimli balon biçimindeki uydusu Amerika Birleşik Devletleri 1600 km yükseklikteki yörüngeye yerleştirildi. İki yer istasyonu arasında pasif telefon ve televizyon anahtarlanması, 1 ve 2.5 Ghz'lik sinyallerin aktif anahtarlanması yapıldı.
1962	:Yerel ve uluslararası haberleşme için Comsat (ABD) şirketi kuruldu.
1964	:19 Kurucu üye ülke tarafından INTELSAT (Uluslararası uydu haberleşmesi) organizasyonu kuruldu.
1964	:Tokyo Olimpiyat oyunları uydu aracılığıyla yayınlandı.
1965 (Nisan)	:Intelsat organizasyonuna ait, yeryüzüne göre sabit ilk ticari haberleşme uydusu fırlatıldı. ABD, Fransa, Almanya ve İngiltere tarafından kullanılan 240 telefon ve bir televizyon kanal kapasitesine sahipti.
1976 (Şubat)	:Amerika ilk deniz haberleşme uydusu olan Marisat'ı yörüngeye fırlattı.
1977 (Haziran)	:EUTELSAT Organizasyonu kuruldu.
1979 (Haziran)	:26 kurucu ülke tarafından Inmarsat (Uluslararası Deniz Haberleşme Uyduları) organizasyonu kuruldu.

Uydu haberleşmesi günümüzün kablolu dünyasının bir tamamlayıcısı konumuna gelmiştir. 1965 yılındaki kuruluşundan bu yana, uydu haberleşmesi uluslararası ve otomatik anahtarlamalı telefon ağını geliştirmeyi başardı. Gerçi 1956 yılında TAT-1 isimli denizaltı kablosu, kıtalar arası telefon devreleri için kurulmuştu ama yalnızca uydu haberleşmesi, uzaklıği ne olursa olsun telefon, televizyon ve veri haberleşmesi için güvenli ve esnek kapasiteli bir hat oluşturmayı başardı.

1.3. Türkiye'de Uydu Haberleşmesi

Dünyada gelişen Uydu Haberleşme teknolojisi, ilk yıllarda sadece uluslararası telefon trafiğini aktarmak amacıyla kullanılmış, daha sonraları ise hızlı bir gelişme göstererek ülkelerin kendi milli haberleşme alanlarında da kullandıkları bir sistem haline gelmiştir. Uydu teknolojisinin gelişmesine paralel olarak Türkiye, kendisine ait uzay kesimini temin etmek için yabancı uydu kuruluşlarından, uydu kanalı kiralama yoluna gitmiştir. Diğer uydulardan televizyon ve yurt içi telefon haberleşmesi amacıyla kanal kiralamanın ekonomik olmadığı dikkate alınarak Milli Uydu Sistemlerimizin gerçekleştirilemesi için çalışmalar yapılması gerekliliği ortaya çıkmıştır.

Böylece, her açıdan gelişmiş Türkiye'nin çağımızın modern olanak ve avantajlardan yararlanması, kaçınılmaz bir gerçek olduğu göz önüne alınarak, 1989 yılında anahtar teslimi proje ile Türkiye'nin ilk Milli Haberleşme Uyduları Sistemi için uluslararası ihaleye çıkılmıştır. Bu ihaleye çeşitli firmalar katılmış ve yapılan incelemeler sonucunda Fransız Aerospatiale Firması ile 21 Aralık 1990 tarihinde 315 milyon ABD doları bedeli ile sözleşme imzalanmıştır.

İlk uydumuz TÜRKSAT-1A'nın fırlatıcı roket arızası nedeni ile kaybedilmesinin ardından TÜRKSAT-1B uydusu 42° Doğu yörungesine 11 Ağustos 1994 tarihinde başarıyla yerleştirilmiştir. Yörunge testlerinin tamamlanmasının ardından 10 Ekim 1994 tarihinde ilk uydumuz hizmete girmiştir.

Diğer taraftan, TÜRKSAT-1A'nın kaybedilmesiyle birlikte sözleşme'nin sigorta maddelerine uygun olarak Aerospatiale Firması, yeni bir uydunun üretimine başlamıştır. TÜRKSAT-1C adını alan bu uydumuz 10 Temmuz 1996 tarihinde uzaya fırlatılmış, 31.3° Doğu yörungesine yerleştirilmiştir. TÜRKSAT-1C'nin yörunge testlerinin yapılmasının ardından, TÜRKSAT-1B'ye göre daha geniş kapsama alanlarına sahip olması nedeniyle TÜRKSAT-1B ve TÜRKSAT-1C uydularının yörunge konumları değiştirilmiş ve 27 Eylül 1996'dan itibaren TÜRKSAT-1C 42° Doğu ve TÜRKSAT-1B 31.3° Doğu pozisyonlarında hizmet vermeye devam etmektedir.

Birinci nesil uydularımızın gösterdiği başarılar göz önüne alınarak %51'i Türk Telekomünikasyon A.Ş.nin, %49'u Avrupa'nın onde gelen uydu üretici firmalarından biri olan Fransız Aerospatiale (Alcatel Espace) Firmasının olmak üzere ortak bir şirket (Joint Venture) kurulmuştur. EURASIASAT adıyla faaliyete geçen bu şirket, 2000 yılı başlarında uzaya fırlatılması planlanan ikinci nesil TÜRKSAT-2A (EURASIASAT-1) uydusunun

yapımı için sipariş vermiş ve uydunun üretimine 1998 başı itibarıyla başlanmıştır. EURASIASAT-1 uydusu, Şubat 2001'de hizmete girmiştir. Halen 42° doğu boylamında Türksat 1C uydumuz ile eşkonumlu olarak hizmet vermektedir. Bu çalışmanın yapıldığı zamanda Türksat 1B uydusu $31,3^{\circ}$ doğu boylamında eğimli yörüngede hizmetine devam etmektedir.

1.4. Uydu Yörüngeleri

1.4.1. Yörünge Tanımı ve Çeşitleri

Uzaydaki yörüngeleri tanımlayan Kepler yasasına göre Dünyanın etrafında dönen bir cisim Dünyanın uydusu olur. Bu uydunun yörünge sayısı sonsuzdur [6]. Genel olarak bozucu ek etkenler bulunmadığı sürece uzaydaki tüm yörüngeler daire, elips, hiperbol, parabol gibi konik şekiller olabilir. Çok genel olarak uydu yörüngeleri, Dünyaya olan uzaklıklarına, kullanım amaçlarına ve yörünge düzlemlerine göre adlandırılır [1].

Bir uydunun, kütle çekim merkezi etrafındaki hareketi sırasında takip ettiği yola yörünge denir.

Temelde üç çeşit yörünge vardır. Bunlar, (1) kutupsal, (2) ekvatoral, (3) eğimli yörüngelerdir. Yörüngelerin şekli ise eliptik veya daireseldir. Şekil ve çeşit bakımından farklı kombinasyonlar oluşturmak mümkündür. En çok kullanılan yörüngeler;

- dairesel kutupsal yörünge
- eliptik eğimli yörünge
- dairesel ekvatoral (yere göre durağan) yörünge [1].

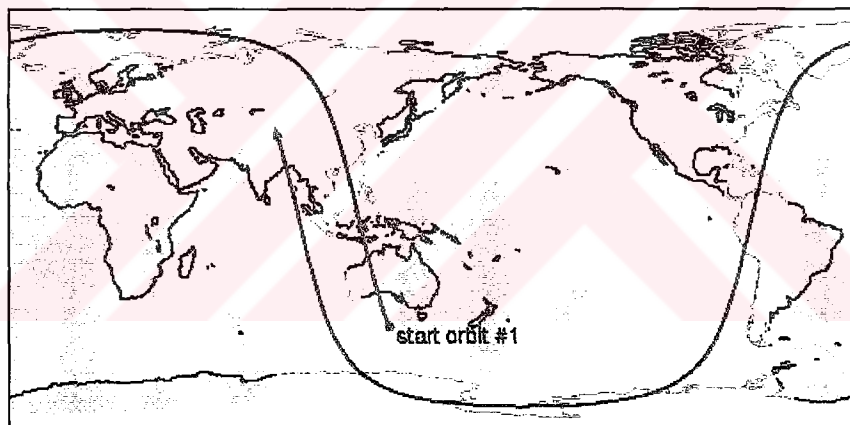
1.4.1.1. Dairesel-Kutupsal Yörünge

Bu yörünge, tek uydu ile tüm Dünyayı kapsayabilecek tek yörungedir. Ancak bunun için çok sayıda yörünge kullanılabilir. Haberleşme açısından tüm Dünyayı kapsayabilmek son derece önemlidir. Tam Dünya kapsaması ise farklı açı ve zamanda yörünge paylaşan bir seri uyduya gerektirir. Fakat bu, ekonomik, teknik ve uygulama olarak kullanışlı bir durum değildir. Bu sebeple dairesel kutupsal yörünge yer belirleme, meteoroloji gibi uygulama alanlarında kullanılır.



Şekil 1. Kutupsal-dairesel yörüngə örneği

Şekil 1' den de görüldüğü gibi Dünya sabit bir yörüngenin altında döner ve böylece tüm dünya yüzeyi uydu tarafından gözlemlenmiş olunur.



Şekil 2. Bir tam tur sonunda dünya yüzeyinde taranan alan

Şekil 2.' den de görüldüğü gibi kutupsal-dairesel yörüngedeki bir uydu, 12 saatlik periyodu boyunca Dünya yüzeyini tarar ve dünyanın dönme hareketinden dolayı diğer dönmesinde farklı bir alanı kapsama altına almış olur.

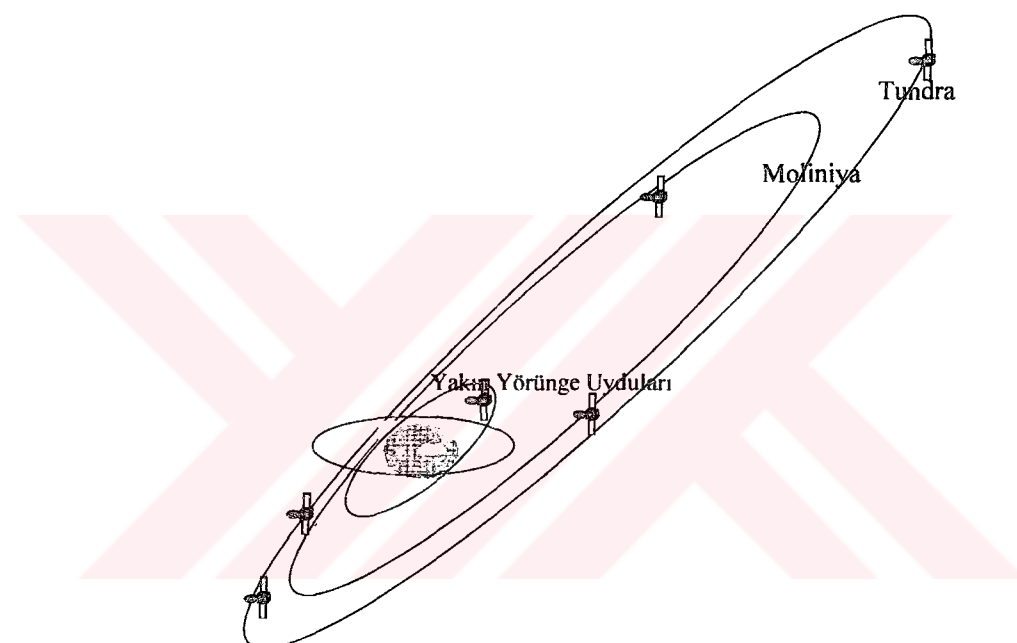
1.4.1.2. Eliptik-Eğimli Yörüngə

Eliptik-Eğimli yörüngə, Sovyetler birlığının haberleşmede başarılı bir şekilde kullandığı yörüngelerin başında gelir. Bu sistemde yörüngə ekvatorla 63 derecelik eğime

sahiptir ve dönme periyodu 12 saattir. Sistemin tasarımlı gereği üç uydudan yakın, eşit aralıklla yörüngede bulunurlar ve haberleşmenin sürekli sağlanması açısından periyodu 12 saattin 8 saat gözlemlenebilirler.

Moliniya; 120° aralıklarla dizilmiş üç uydudan oluşur. Bu uyduların Dünyaya en yakın oldukları noktada Dünyadan uzaklıkları 1000 km, en uzak oldukları noktada ise uzaklıkları 38354 km' dır. Bu uydular bir tam dönüşlerini 12 saat içinde tamamlarlar.

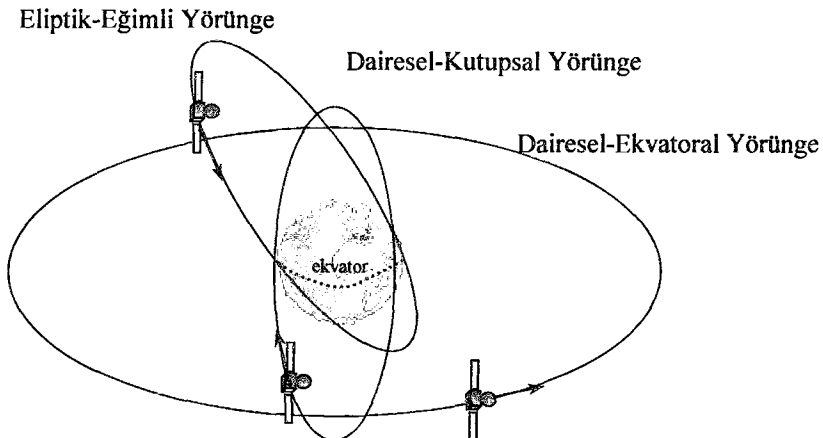
Tundra; aralarında 180° açı bulunan 2 uydudan oluşur. Bir tam dönüşlerini 24 saat içinde tamamlarlar. Dünya'ya en yakın oldukları nokta 17951 km ve dünyadan en uzak oldukları nokta ise 53622 km dir.



Şekil 3. Eliptik eğimli yörüngeler

1.4.1.3. Dairesel-Ekvatoral Yörünge

Dünya üzerindeki sabit bir antenden her zaman durağan görülebilecek şekilde, ekvator'dan yaklaşık 35786 km uzakta olan dairesel yörüngedir. Yörünge üzerindeki uydudan yeryüzünün üçte biri tarafından gözlemlenebilir. Söz konusu yörünge, üzerinde bu çalışmanın yapıldığı yörüngedir.



Şekil. 4. Üç temel uydu yörüngesi [1]

1.5. Yere Göre Durağan Yörünge

1.5.1. Koordinat ve Zaman Sistemi

1.5.1.1 Koordinat Sistemi

Güneş sistemindeki uyduların hareketlerini düzgün olarak gözlemelemek ve hesaplamak için referans alınacak koordinatlar tanımlamak gerekmıştır. Yörünge dinamiğinde bazı parametreler değişmez değildir ve anlamlı kılınmaları için bir koordinat sistemi ile ilişkilendirmeleri gereklidir.

Uygun tanımlanmış ve seçilmiş bir koordinat sisteminin gerekliliği şu şekilde sıralanabilir [2].

- Uydunun yere göre durağan yörünge gereklerini sağlaması için Dünyaya göre konumunun bilinmesi
- Yörünge hesaplamaları için uydunun yer istasyonu tarafından takip edilmesi ve gerekli ölçümler yapılabilmesi
- Uydunun hareketi sırasında hareket denklemlerinin sabit bir sistemde tanımlı olması
- Uyduya etkiyen çekim kuvvetlerini hesaplamak için, Güneş ve Ayın koordinatlarını bilinmesi

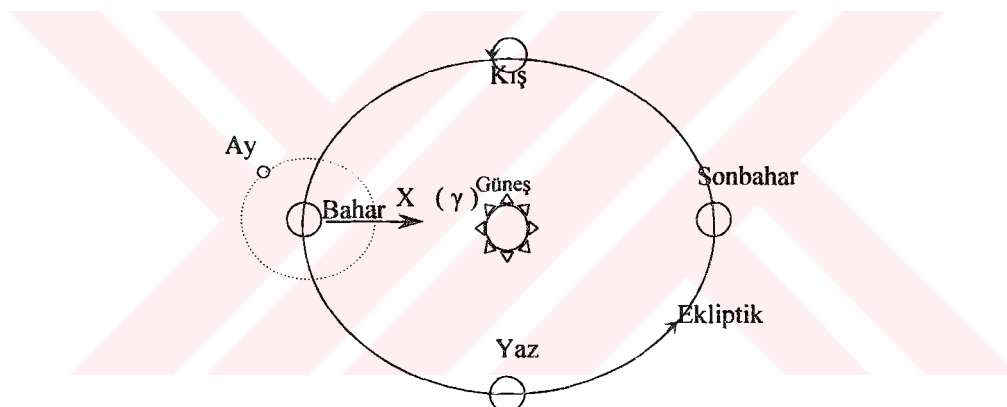
Tüm bu koşulları tek koordinat sistemi sağlayamayacağından birden fazla koordinat sistemi tanımlanmıştır.

Bu çalışmada kullanılan koordinat sistemi; ekvatoral, Dünya merkezli eksen takımıdır.

1.5.1.2. Ekvatoral Dünya Merkezli ve Ekliptik Koordinatlar

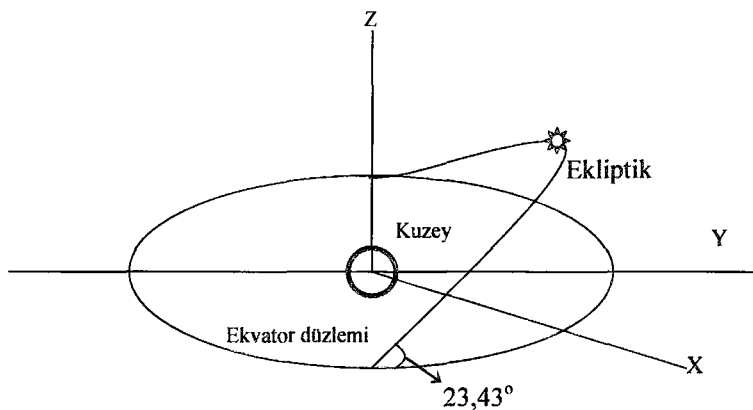
Bu koordinatlarda, Güneş ve gezegenler Newton'un kütle çekim yasasına göre hareket ederler. Böyle sistemde referans nokta olarak kütle merkezi, referans yön olarak ise sabit yıldızlar seçilir. Uydu gibi Dünyanın çekiminde bulunan uzay araçları için referans noktası Dünya merkezi, referans yön ise ekvator düzlemini üzerinde, koç burcu takım yıldızının birinci yıldızı olarak seçilmiştir.

Dünyanın Güneş etrafındaki yörüngesine ekliptik denir. Bu yörunge, uzaklığı 147 ile 150 milyon km arasında değişen, 1 yılı 365,2422 gün olan yaklaşık dairesel bir yörüngedir.



Şekil 5. Ekliptik yörüngesi [4]

xy -düzlemini ekvator düzlemdir. Dünya, z -ekseni etrafında pozitif yönde dönmektedir. X eksenin, ekliptik düzlemler ile ekvator düzleminin çakıştığı noktadan koç burcu takım yıldızının birinci yıldızına olan doğrultudur. Bu koordinat sisteminde Güneş ve Ay Dünya'ya göre pozitif yönde dönmektedir [2].



Şekil 6. Dünya merkezli ekvatorial koordinat sistemi

Fakat bu koordinat sistemi tam olarak sabit değildir. Güneş ve Ayın Dünya üzerine uyguladığı kütle çekim kuvvetleri Dünya hareket ekseninin değişmesine neden olur. Bu değişim bir tam hareketini 26000 yılda tamamlar [4]. Aydan kaynaklanan, ihmali edilebilecek düzeyde, 18.6 yıl periyotlu etkilerde vardır. Bu nedenle referans eksenin ortalama değeri etrafındaki düzeltmeler yapıldıktan sonraki bir tarih kullanılır. Birçok yörünge hesabında gözleme ve pozisyon verileri 1950 yılındaki ortalama ekvator ve gündönümü yönü sabit kabul edilerek yapılır [6].

1.5.1.3. Zaman Sistemleri

Yörünge elemanlarının doğru tespiti için zamanın doğru ölçümü ve ölçeklendirilmesi son derece önemlidir [6]. Dünya üzerindeki bir gözlemcinin okuduğu saat, Greenwich'teki referans meridyen ile arasındaki faktır. Yerküre 24 zaman dilimine ayrılmıştır ve dönme esnasında her bir zaman diliminden geçiş 1 saat alır.

1.5.1.4. Evrensel Saat

Gözlemcinin okuduğu zaman 'h' ve bulunduğu zaman dilimi Greenwich'in batısında 'n' ise; evrensel zaman 'h+n' dir ve UT (Universal Time) olarak ifade edilir [6].

1.5.1.5. Jülyen Tarih ve Uyarlanmış Jülyen Tarih

JD olarak ifade edilen referans bir tarih şeklidir. Referans olarak miladdan önce 1 Ocak 4713 saat 12:00 seçilmiştir. Jülyen tarih saat 12:00'den 12:00'ye ölçülür. Bu yüzden saat 12:00'lerde tamsayı değeri verir.

20. yüzyıl için Jülyen gün sayısı 2400000 ile 2500000 arasındadır. Bu yüzden Uyarlanmış Jülyen Tarih, başka bir JD'den çıkartılarak elde edilir. Referans tarih olarak 1 Ocak 1950 gece yarısı yani ; 2433282,5 seçildiğinde [6];

$$\text{MJD} = \text{JD}-2433282,5 \text{ olur.}$$

1.5.1.6. Gün

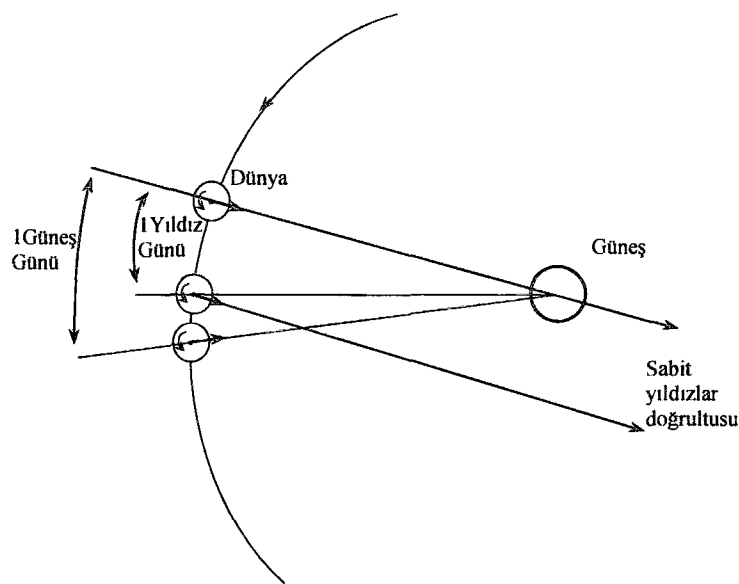
Bir gün, Güneşten Dünya'ya bakıldığından, Dünyanın kendi ekseni etrafında bir tur dönme süresidir ve astronomik dilde tropik gün (tropical day) adıyla anılır. Bu dönüş, iki ayrı hareketin bileşenidir :

1. Dünyanın kendi ekseni etrafında dönmesi.
2. Dünyanın Güneş etrafında dönmesi.

Tropik gün, bu iki farklı hareketin toplanması sonucu ortaya çıkmaktadır.

Dünyanın kendi etrafında dönme süresi, uzak bir yıldızdan Dünya'ya bakılarak ölçülebilir ve bu süre yıldız günü (sidereal day) olarak adlandırılır. Dünya gerek kendi ekseni ve gerek Güneş etrafında aynı yönde (saatin dönüş yönünün tersi yönde) döndüğü için bir tropik gün, bir yıldız gündünden daha uzundur. Aradaki fark da, Dünya'nın Güneş etrafında kat ettiği açıyla (yörünge açısı) doğru orantılıdır.

Dünyanın yörüngesi, diğer tüm gezegenlerinkin gibi eliptiktir, yani elips şeklindedir. Bu nedenle de yörünge hızı, Güneşe olan uzaklıguna göre değişmektedir (Kepler yasası). İşte bu hız değişimi, bir günde kat edilen yörüngenin açısını ve dolayısıyla tropik günün uzunluğunu değiştirmektedir [3].

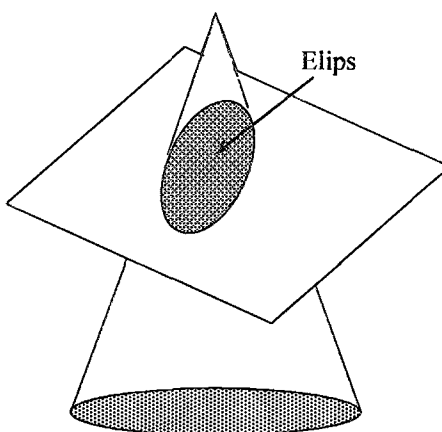


Şekil 7. Güneş günü ve Yıldız günü

1.5.2. Kepler Yasaları

1.5.2.1. Eliptik Yörüngə Yasası

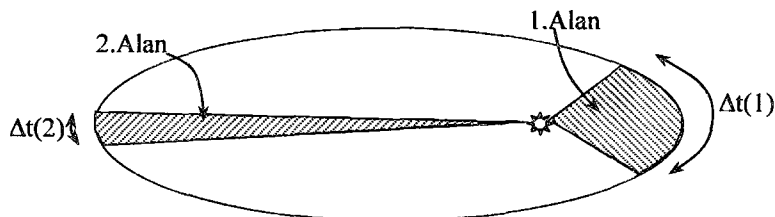
Uzayda birbirleriyle etkileşim halinde bulunan kütlelerin yörüngeleri, bir odağında bir kütlenin bulunduğu konik kesit şeklindedir (Şekil 8) [11]. Eğer birbirleriyle kalıcı ilişkiye sahipse bu şekil elips olur. Kalıcı ilişki yoksa şekil hiperbol olur.



Şekil 8. Konik kesitler

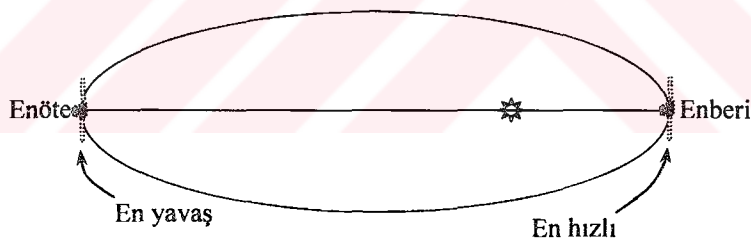
1.5.2.2. Alanlar Yasası

Keplerin bu yasası açısal momentumun korunumu ilkesinden yola çıkarak açıklanabilir. Açısal momentum; ilgili yörüngede yarıçap vektörü genliği ile çizgisel hızın çarpımıyla orantılıdır. Bu durumda çekim merkezi ile uydu arasındaki yarıçap vektörü eşit zaman aralığında eşit alan süpürür [15].



Şekil 9. Alanlar yasası

Şekil 9 da $\Delta t(1)=\Delta t(2)$ ise 1. Alan 2. Alana eşittir. Buna göre uydunun yörüngede üzerindeki hızı Dünyaya yaklaşıkça artar, uzaklaşıkça azalır.(Şekil 10)



Şekil 10. Uydunun hızları

1.5.2.3. Harmonik Yasa

Keplerin bu yasası sadece eliptik yörüngede geçerlidir. Eliptik yörüngede yarımaya eksen uzunluğu ile yörüngede periyodu arasındaki ilişkiyi ifade eder. Dünya ve uydular düşünüldüğünde:

$$M \cong M + m \quad (1)$$

$$a^3 = \left[\frac{G(M+m)}{4\pi^2} \right] P^2 \approx \left(\frac{GM}{4\pi^2} \right) P^2 \equiv \left(\frac{\mu}{4\pi^2} \right) P^2 \quad (2)$$

buradan periyot;

$$P = 2\pi \sqrt{\frac{a^3}{\mu}} \quad (3)$$

1.5.3. Newton'un Çekim Yasası

Newton'un Hareket Yasası ve evrensel kütle çekim yasasından Kepler'in gezegenlerin hareketiyle ilgili yasaları kolayca türetilabilir.

1.5.3.1 Evrensel Çekim Kuvveti Yasası

Her bir kütle diğer kütelere kütleleri çarpımı ile doğru orantılı, aralarındaki mesafenin karesiyle ters orantılı bir çekim kuvveti uygular [6].

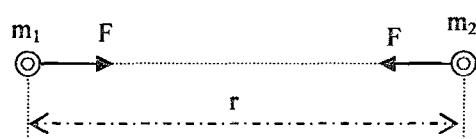
$$F = \frac{GMm}{r^2} \text{ fakat } F = ma = m \frac{v^2}{r} \quad (4)$$

$$\Rightarrow \frac{GMm}{r^2} = \frac{mv^2}{r} \quad (5)$$

$$v^2 = \frac{GM}{r} \quad (6)$$

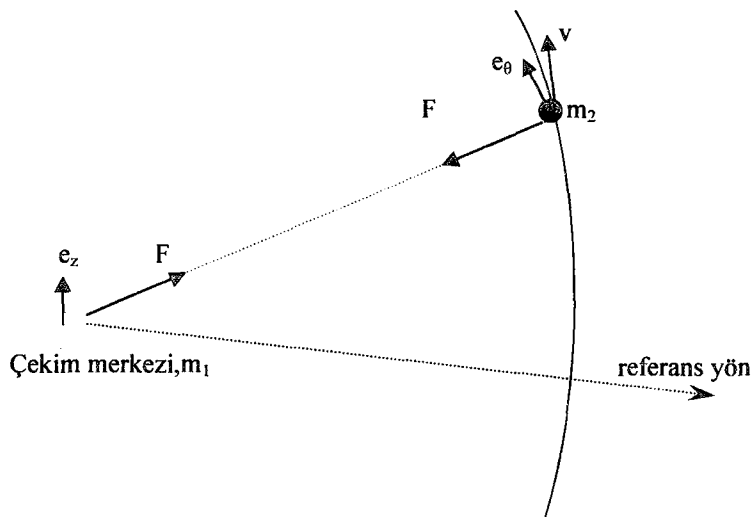
1.5.3.2. İki Kütle Problemi

Dünyanın Güneş etrafındaki, uydunun Dünya etrafındaki, yıldızların galaksi merkezleri etrafındaki hareketleri tümüyle merkezcil kuvvetlerle tanımlanır. Merkezcil kuvvet iki kütle arasındaki doğru boyunca birbirine doğru etkir [6].



Şekil 11. Kütle çekim kuvveti

Uygulamada ise uydunun yörüngede simülasyonu da iki kütle problemidir. Burada uydunun kütlesi m_2 , Dünyanın kütlesi m_1 , ki $m_1 \gg m_2$ olduğundan m_2 'nin hareketi m_1 'e göre referans bir çerçevede düşünülebilir.



Şekil 12. İki kütle problemi

m_2 nin m_1 üzerinde uyguladığı Newton'un kütle çekim kuvveti yasası şu şekilde ifade edilebilir;

$$|\vec{F}| = \frac{Gm_1m_2}{r^2} \quad (7)$$

$$\vec{F} = -\frac{\mu m_2}{r^2} \hat{r} \quad (8)$$

burada μ yerçekimi parametresidir. (-) işaretinin çekim kuvveti olduğunu belirtir.

Bu kuvvet aşağıdaki şekilde de yazılabilir;

$$\vec{F} = -\frac{\mu m_2}{r^3} \vec{r} \quad (9)$$

Newton'un ikinci hareket yasasına göre, merkezcil kuvvet kütle ile m_2 kütlesinin ivmesi çarpımına eşittir.

$$-\frac{\mu m_2}{r^3} \vec{r} = m_2 \ddot{\vec{r}} \quad (10)$$

$$\ddot{\vec{r}} + \frac{\mu}{r^3} \vec{r} = 0 \quad (11)$$

(11) denkleminin her iki tarafını \vec{r} ile vektörel çarptığımızda

$$\vec{r} \times \frac{d^2\vec{r}}{dt^2} = 0 \quad (12)$$

olur.

Bu eşitlik aynı zamanda;

$$\frac{d}{dt} \left(\vec{r} \times \frac{d\vec{r}}{dt} \right) = 0 \quad (13)$$

olur.

Buradan birim kütle için açısal momentum;

$$\vec{h} \equiv \vec{r} \times \frac{d\vec{r}}{dt} \quad (14)$$

olarak ifade edilir. Burada h sabit bir vektör olduğu sonucu elde edilir ve \vec{r} ile $\frac{d\vec{r}}{dt}$ 'ye diktir. Hareket düzlemine dik olmalıdır. Ayrıca, \vec{h} sabit olduğuna göre bu düzlemede sabittir.

(11) denklemini h ile vektörel çarptığımızda;

$$\frac{d^2\vec{r}}{dt^2} \times \vec{h} = \mu \frac{d}{dt} \left(\frac{\vec{r}}{r} \right) \quad (15)$$

$$\frac{d^2\vec{r}}{dt^2} \times \vec{h} = -\mu \frac{\vec{r}}{r^3} \times \vec{h} \quad (16)$$

\vec{h} vektörü yerine konulduğunda;

$$\frac{d^2\vec{r}}{dt^2} \times \vec{h} = -\mu \frac{\vec{r}}{r^3} \times \left(\vec{r} \times \frac{d\vec{r}}{dt} \right) \quad (17)$$

$$\{\vec{A} \times (\vec{B} \times \vec{C}) = (\vec{A} \cdot \vec{C})\vec{B} - (\vec{A} \cdot \vec{B})\vec{C}\} \text{ ifadesi uygulandığında;} \quad (18)$$

$$\frac{d\vec{r}}{dt} \times \vec{h} = \frac{\mu}{r} (\vec{r} + r\vec{e}) \quad (19)$$

e entegralden gelen sabit, dışmerkezlilik vektörü olarak adlandırılır.

(20)' ifadesinin \vec{h} ile nokta çarpımı alındığında;

$$\left(\frac{d\vec{r}}{dt} \times \vec{h} \right) \cdot \vec{h} = \frac{\mu}{r} (\vec{r} + r\vec{e}) \cdot \vec{h} \quad (20)$$

$\frac{d\vec{r}}{dt} \times \vec{h}$ ifadesi \vec{h} vektörüne dik olduğundan ifadenin sol tarafı sıfır eşittir.

$$\vec{e} \cdot \vec{h} = 0 \quad \vec{e} \cdot \vec{h} = eh \cos 90^\circ \quad (21)$$

Bu da dışmerkezlilik vektör e' nin yörunge düzleminde olduğunu gösterir. Düzlem üzerindeki 'e' vektörünün yönü referans yön olarak alınır.

Kutupsal koordinatlarda;

$$\frac{d\vec{r}}{dt} = \frac{dr}{dt} \vec{e}_r + r \dot{\theta} \vec{e}_\theta \quad (22)$$

denklem (20) \vec{r} ile skaler çarpıldığında;

$$r^4 \dot{\theta}^2 = \mu r (1 + e \cos \theta) \quad (23)$$

elde edilir.

Diğer yandan;

$$|\vec{h}| = h = \left| \vec{r} \times \frac{d\vec{r}}{dt} \right| = \left| r \vec{e}_r \times \left(\frac{dr}{dt} \vec{e}_r + r \dot{\theta} \vec{e}_\theta \right) \right| = \left| r^2 \dot{\theta} \vec{e}_z \right| \quad (24)$$

buradan açısal momentumun genliği;

$$h = r^2 \dot{\theta} \quad (25)$$

denklem (24), $h^2 = \mu r(1 + e \cos \theta)$ olarak yazılabilir.

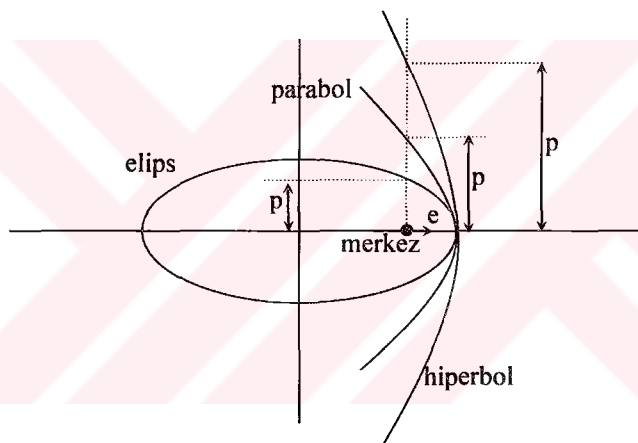
Buradan r hesaplandığında [17];

$$r = \frac{h^2 / \mu}{1 + \cos \theta} \quad (26)$$

Burada $p \equiv h^2 / \mu$ denildiğinde [5];

$$r = \frac{p}{1 + e \cos \theta} \quad (27)$$

buradan $\cos \theta = \frac{\vec{r} \cdot \vec{e}}{re}$ olur. (28)



Şekil 13. Konik kesit şekilleri

θ ; dışmerkezlilik vektörü ile konum vektörü arasındaki açıdır ve gerçek anomali olarak isimlendirilir (Şekil 15).

Denklem (28) den de görüldüğü gibi $\theta=0$ olduğunda r minimum olur ve dışmerkezlilik vektörü r' ye paralel olur. Ve θ , gerçek bozulması yörüngede üzerindeki pozisyonu gösterir.

Geometrik olarak, dışmerkezlilik 'e' yörüngenin şeklini tayin eder. Şekil 13'de temel yörüngeler konfigürasyonları gösterilmiştir. Eğer $0 < e < 1$ ise şekil elips, $e=0$ ise daire, $e=1$ ise parabol olur. Eğer $e > 1$ ise şekil hiperbol olur.

1.5.4. Uzaydaki Bir Yörüngenin Elemanları

“Yöringe elemanları” olarak adlandırılan beş bağımsız değişken ile bir yörüngenin boyutu, şekli, yönlendirilmesi tam olarak tanımlanabilir. Altıncı bir parametre ile uzay aracı yöringe üzerine belirli bir zaman için konumlandırılır [6].

Şekil 14 ve şekil 15’te bu bahsedilen yöringe elemanları açıklanmıştır.

Burada;

a, yarışsal eksen; yöringe boyutunu belirleyen sabit,

e, dışmerkezlilik; yöringe şeklini belirleyen sabit,

i, yöringe eğikliği; uzay aracının bulunduğu yöringe düzlemeyle ekvator düzlemini arasındaki açı,

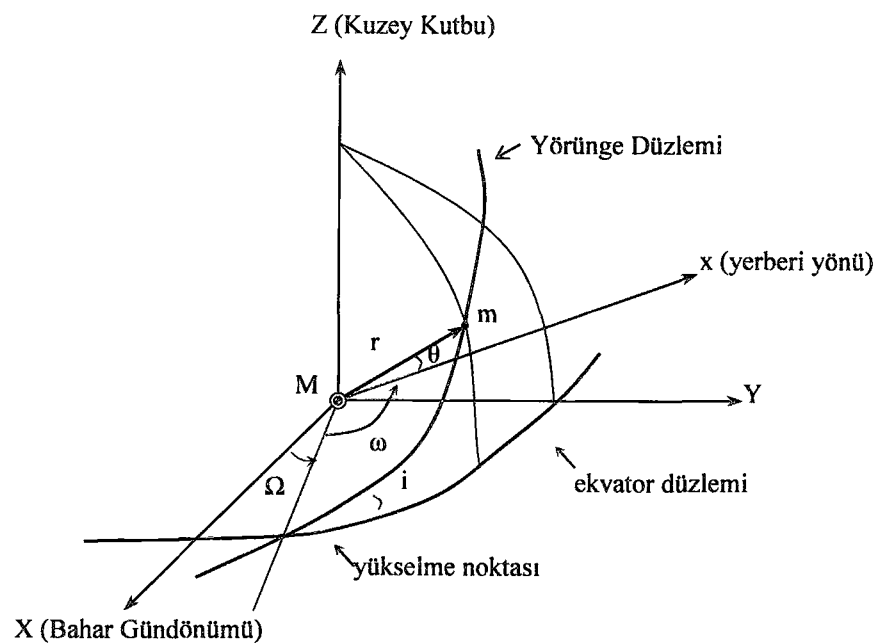
Ω , yükselme düşümü açısı; yöringe düzleminde, uzay aracının ekvator düzlemini güneyden kuzeye geçerken kestiği nokta ile bahar gündönümü referans doğrultusu arasındaki açı,

ω , yerberi argümanı; yükselme noktası ile yerberi noktası arasındaki açı.(çekim kuvveti merkezine (Dünyaya) en yakın nokta),

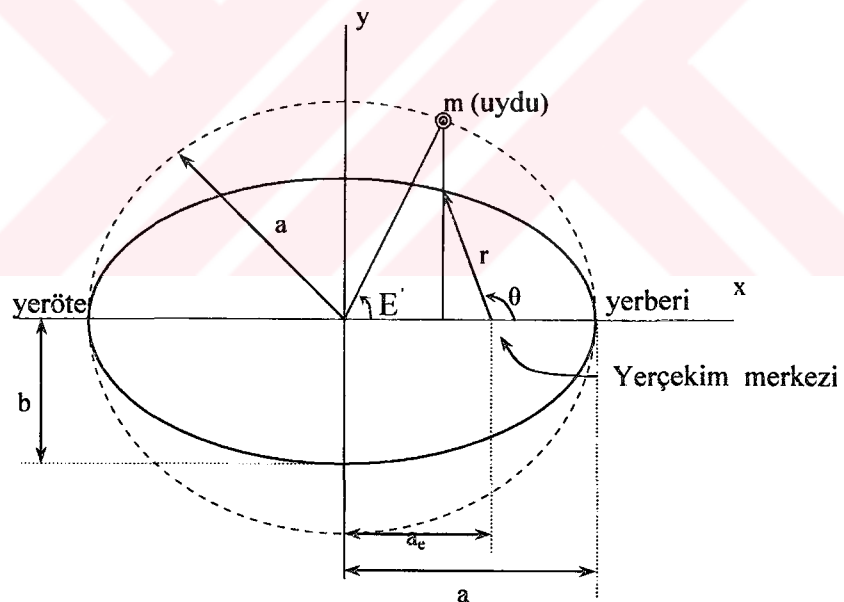
θ , gerçek anomali; uyduunun bulunduğu konum ile yerberi doğrultuları arasındaki açıdır. İki kütle problemi için, zamana bağlı tek değişkendir.

Şekil 15’ten dış merkezlilik anomali E' ile, gerçek anomali θ arasındaki aşağıdaki ifade çıkartılabilir.

$$\tan \frac{E'}{2} = \left(\frac{1-e}{1+e} \right)^{1/2} \tan \frac{\theta}{2} \quad (29)$$



Şekil 14. Uzayda yörünge elemanları [11]



Şekil 15. Yörünge düzlemindeki yörünge elemanları

1.6. Transfer Yörünge

1.6.1. Kurtulma Hızı

Yerçekiminden kurtulmak için uydunun yerleştirilme hızına kurtulma hızı denir. 'm' kütlesindeki bir uyduya uzayda 'r' uzaklığa yerleştirmek için 'g' yerçekimine karşı koymak gereklidir. Bunu sağlamak için taşıyıcı roketin itki motorları ' \vec{v}_o ' ile gösterilen bir kurtulma hızı sağlamalıdır.

Bu durumda yerçekimine karşı harcanan kinetik enerji $\frac{mv_o^2}{2}$ dir.

Dünya atmosferinin direnci yerçekimi yanında ihmal edilebilecek düzeydedir. Dolayısıyla \vec{v}_o hızı ' mg ' yerçekimi kuvvetine karşı harcanan kinetik enerji eşitliğinden çıkartılabilir.

'r' uzaklığı giderek arttığından yerçekimi ivmesi

$$g = g_o \left(\frac{r_o^2}{r^2} \right) \quad (30)$$

şeklinde uzaklıkla değişir.

r_o : Dünya yarıçapı = 6378,144 km

g_o : Dünya yüzeyinde (deniz seviyesinde) ki yerçekimi ivmesi = 9,8 m/s² dir.

Uyduya, dünyadan ayrılmış sırasında etkiyen yerçekimi uzaklıkla değişeceğinden, v_o hızını bulmak için aşağıdaki entegraller alındığında;

$$\frac{1}{2} mv_o^2 = \int_{r_0}^{\infty} \vec{f} \cdot d\vec{r} = \int_{r_0}^{\infty} mg \cdot dr = \int_{r_0}^{\infty} m \left(g_o \cdot \frac{r_o^2}{r^2} \right) dr = mg_o r_0 \quad (31)$$

bu eşitlikten v_o :

$$v_o = (2g_o r_o)^{1/2} = 11,2 \text{ km/s} \quad (32)$$

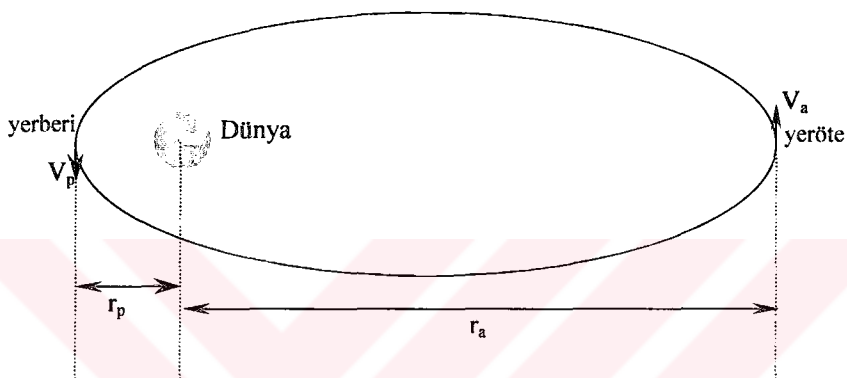
toplam hızı ile söz konusu roket yerden ayrılmalıdır.

Roket yerden ayrıldıktan sonra 200 km irtifada iken uyduya bırakır ve uydular, yerberi uzaklığı 200 km, yeröte uzaklığı 35786,5 km olan elipsoidal bir yörüngeye yerleşir (Şekil 16). Bundan sonraki evre ise uydunun üzerindeki yeröte itki motoru ile yerlesabit yörüngeye yerleşmektir (Şekil 17).

1.6.2. Hohmann Transferi

1.6.2.1. Transfer Yörüngesi

Uydunun işlevini sürdürdüreceği yörüngeye oturtulması evresinde kullandığı yörüngeyidir. Yere göre durağan yörüngeye uydunun yerleştirilmesinden önce en çok kullanılan ve Türksat uydularının yerleştirilmesinde de kullanılan transfer sistemi Hohmann Transfer Sistemiidir.



Şekil 16. Transfer yörüngeye yeröte ve yerberi

Yere göre durağan yörünge, ekvatorlardan yaklaşık 36000 km uzakta ve ekvator düzleminiyle 0° eğim açısındaki yörünge düzlemdir. Uydunun bu düzleme yerleştirilmesi için yüksekliğinin ve eğim açısının değiştirilmesi gereklidir.

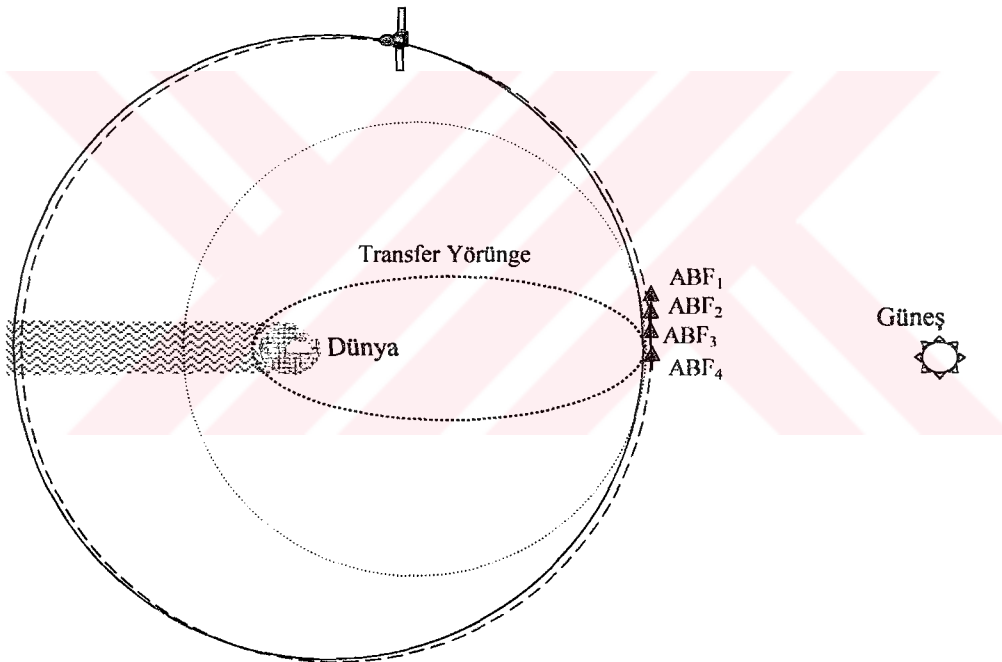
Uydunun yörünge şekli, boyutu ve ekvator düzleminiyle yaptığı açının değişimi Yeröte İtki Motorunun (ABM) uydusunun hız vektörünün yönü ve genliğinde yaptığı değişiklikle sağlanır (Şekil 17). Bu ateşlemeler, zamanında, doğru yönde ve istenilen miktarda itme yapacak şekilde hesaplanmalı ve yapılmalıdır. İşte uydunun bırakıldığı Alçak Yörünge (LEO) yere göre durağan yörüngeye transferi bu manevralar ile yapılır [20]. Uydunun en fazla yakıt sarfiyatının olduğu ateşlemeler bu safhada gerçekleşir. Yere göre durağan yörüngeye yerleştirildikten sonra Yeröte İtki Motoru yakıt tanklarından izole edilir.

1.6.2. Hohmann Transferinin Gerçekleştirilmesi

1.6.2.1. Yüksekliğin Değiştirilmesi

Hohmann transferi temelde, aynı düzlemden bulunan dairesel bir yörüngeden diğer bir dairesel yörüngeye geçiş için yakıtın en verimli kullanıldığı yörünge transfer şeklidir.

Yerleştirme roketi 200 km' ye ulaştığında uyduyu bırakır. Bu noktadaki hızı yaklaşık 10.2 km/s' dir. Bu ayrılış noktası yerberi noktası olarak adlandırılır ve uydu transfer yörüngeyi denilen eliptik bir yörünge ededir. Yeröte noktası ise yere göre durağan yörünge uzaklığı olan 35786 km dir. Transfer yörünge sırasında yeröte ve yerberi noktalarındaki hızlar birbirinden farklıdır (Şekil 16) [20].



Şekil 17. Transfer yörünge sistemi

1.6.3.2. Uydunun Yeröte ve Yerberi Noktalarındaki Hızları

Dünyanın yarıçapı ekvator üzerinde yaklaşık 6378,16 km alındığında Dünya merkezinden yeröte noktasının uzaklığı r_a ;

$$r_a = 35786 + 6378,16 = 42164,16 \text{ km} \quad (33)$$

yerberi noktası uzaklığı r_p ;

$$r_p = 200 + 6378,16 = 6578,16 \text{ km} \quad (34)$$

yarı asal eksen uzunluğu a ;

$$a = \frac{(r_a + r_p)}{2} = \frac{(42164,16 + 6578,16)}{2} = 24371,16 \text{ km} \quad (35)$$

keplerin harmonikler yasası uygulandığında;

$$P = 2\pi \sqrt{\frac{a^3}{\mu}} = 2\pi \sqrt{\frac{24371,16^3}{398601}} = 37863,87 \text{ s} = 10 \text{ saat } 31 \text{ dakika } 4 \text{ saniye} \quad (36)$$

Uydunun yeröte noktasındaki hızının büyüklüğü;

$$V_a = \sqrt{\frac{\mu}{a}} \sqrt{\frac{r_p}{r_a}} = \sqrt{\frac{398601}{24371,16}} \sqrt{\frac{6578,16}{42164,16}} = 1,159739 \text{ km/s} \quad (37)$$

Uydunun yerberi noktasındaki hızının büyüklüğü;

$$V_p = \sqrt{\frac{\mu}{a}} \sqrt{\frac{r_a}{r_p}} = \sqrt{\frac{398601}{24371,16}} \sqrt{\frac{42164,16}{6578,16}} = 10,23884 \text{ km/s} \quad (38)$$

Açısal momentumun korunumu kanunundan ;

$$V_a r_a = V_p r_p \quad (39)$$

yazılabilir.

Uydu transfer yörüngeden yere göre durağan yörüngeye yerleştiğinde sabit olan çizgisel hızı;

$$v = \frac{2\pi}{2\pi\sqrt{\frac{r}{\mu}}} = \sqrt{\frac{\mu}{r}} = \sqrt{\frac{398601}{42164,16}} = 3074,66 \text{ m/s} \quad (40)$$

olur.

Bu hızla operasyonel olarak işlevini sürdürür.

Tablo 1. Transfer yörünge değişkenleri [10]

Yörünge	Yeröte Uzaklığı [km]	Yerberi Uzaklığı [km]	Eğim Açısı [derece]	Periyodu [saat]
Ayrılışta	35786	200	7,00	10,52
1.ateşleme	35786	5636	3,78	12,33
2.ateşleme	35786	30277	0,28	21,63
3.ateşleme	35786	35478	0,01	23,80
4.ateşleme ve düzeltme	35786	35786	0,00	23,93

1.6.3.3. Düzlemin Değiştirilmesi

Uydunun uzaya bırakıldığı andaki yörüngeyi ekvator düzlemini üzerinde olmayabilir. Türksat uyduları için bu 7° dir. Bu durumda ekvator düzleminiyle ‘eğim açısı’ yapan bir yörüngeyi ekvator düzlemindeki bir yörüngeye ulaşması gereklidir. Bu geçiş sahnamak için eski yörünge ile yeni yörüngenin kesişim noktalarında ateşleme yapılarak yeni düzleme ekvator düzleminin çakışması sağlanır.

Geçiş yörüngeyi ile ekvator yörüngeinin çakıştığı noktalar ise yükseliş ve alçalış noktaları olarak adlandırılır. Uydunun kendi yörüngeyi üzerinde iken güneyden kuzeye geçtiği nokta ‘yükselebilir noktası’, kuzeyden güneye geçtiği nokta ise ‘alçalış noktası’dır.

1.7. Yere Göre Durağan Bir Uyduya Etkiyen Bozucu Kuvvetler

Newton'un evrensel çekim yasasına göre bir uydunun kendine has, sabit bir yörüngeyi vardır. Birçok problem, iki kütle problemi yaklaşımıyla çözülebilir. Fakat, bu merkez kuvvet çekiminden başka bozucu kuvvetlerin toplamsal etkisi ihmali edilemeyecek kadar fazladır. Uzun zaman aralığı için düşünüldüğünde kayda değer bozucu etkiler vardır. Basit bir Kepler yörüngeini şekillendiren başlıca bozucu kuvvetler şunlardır;

- yerçekiminden bağımsız kuvvetler
- üçüncü kütlenin çekim etkisi
- düzgün olmayan kütle dağılımı

Güneş, Ay ve Dünyadan kaynaklanan kütle çekim kuvvetleri uydunun ağırlığı ile orantılıdır. Uydunun şekli, boyutu ve diğer parametrelerinden bağımsızdır. Ancak Güneşten gelen ışınlardan kaynaklanan basınç etkisi uydunun ağırlığı ile ters orantılıdır [4].

1.7.1. Yerçekiminden Bağımsız Kuvvetler

Yakın yörunge uyduları için bu kuvvet atmosfer sürüklemesidir. Yere göre durağan uydular için ihmali edilemeyecek düzeyde azdır. Bu kuvvet transfer yörunge sırasında önem kazanır. Sürtünme kuvveti 500 km' nin altında hesaba katılabilirken yaklaşık 36000 km yüksekteki yerdurağan bir uyu için göz ardı edilebilir [6].

Ayrıca (1) Dünyanın magnetik alanından dolayı uyduda oluşan girdap akımları, (2) solar rüzgar ve mikrometeorlardan dolayı oluşan sürüklenme, (3) güneşten kaynaklanan ışma basıncı gibi kuvvetler uyduya etkir. Bunlardan ilk ikisi ihmali edilebilirken ışma basıncı çoğu uydular, özellikle geniş güneş panellerine sahip uydular için önem kazanır. Bu yüzden bu bozulma yere göre durağan uydular için hesaplara katılır. Uyu Dünyanın gölgesine girmediği dönemde boyunca ışma basıncı etkisini sürdürür. Dolayısıyla uydunun hayatının büyük bir kısmında bu bozucu kuvvet mevcuttur [6].

x - ekseni yönündeki ışma basıncının ivmesi aşağıdaki gibi hesaplanır [6].

$$\ddot{x}_{\text{srp}} = \frac{-K(x_s - x)}{\Delta_s^3} \quad (41)$$

K: uyduya bağlı bir sabit.

x_s : Güneşin Dünya merkezli sisteme göre x koordinatı

x : uydunun Dünya merkezli sisteme göre x koordinatı

Benzer ivmeler y ve z doğrultuları içinde yazılabilir.

Δ_s : uyu ile güneş arasındaki mesafedir.

$$\Delta_s = \sqrt{(x - x_s)^2 + (y - y_s)^2 + (z - z_s)^2} \quad (42)$$

$$K = S(1-f) \quad (43)$$

$$S = S_0 + S_1 \cos[2\pi(D - t_0)/T] \quad (44)$$

t_0 : 22 Aralık

D :hesaplamanın yapıldığı zamandır.

T=0,5 yıldır.

S_0 ve S_1 ise uydunun şekline, kütesine ve yüzey yansıtma özelliğine bağlıdır.

Bir diğer önemli konu ise ışıma basıncının uyduya ne zaman etkiyeceğidir. Bunun için;

$$\sin \delta = \frac{\left\{ x_s (\dot{y} \dot{z} - \dot{y} \dot{z}) + y_s (\dot{z} \dot{x} - \dot{z} \dot{x}) + z_s (\dot{x} \dot{y} - \dot{x} \dot{y}) \right\}}{r_s \left\{ (\dot{y} \dot{z} - \dot{y} \dot{z})^2 + (\dot{z} \dot{x} - \dot{z} \dot{x})^2 + (\dot{x} \dot{y} - \dot{x} \dot{y})^2 \right\}^{1/2}} \quad (45)$$

İşıma basıncının hesaba katılması için aşağıdaki eşitlik gözönüne alınmalıdır.

$$f = \begin{cases} 0 & |\sin \delta| \geq (Re/r) \\ \pi^{-1} A \tan \left\{ \frac{((Re/r)^2 - \sin^2 \delta)^{1/2}}{(1 - (Re/r)^2)^{1/2}} \right\} & |\sin \delta| < (Re/r) \end{cases} \quad (46)$$

burada Re, ekvator yarıçapıdır.

$$r = \sqrt{x^2 + y^2 + z^2} \quad (47)$$

uydunun yermerkezine olan uzaklığıdır.

$f=0$ olması, uydunun tam olarak güneşten kaynaklanan ışıma basıncı altında olması demektir.

1.7.2. Üçüncü Kütenin Çekim Etkisi

Üçüncü kütle çekimi Newton ikinci yasasından türetilen n-kütle eşitliğinden çıkartılabilir [6].

$$\frac{d^2 \vec{r}_{12}}{dr^2} = -k^2 (m_1 + m_2) \frac{\vec{r}_{12}}{r_{12}^3} + k^2 \sum_{j=3}^n m_j \left(\frac{\vec{r}_{j1}}{r_{j1}^3} - \frac{\vec{r}_{j2}}{r_{j2}^3} \right) \quad (48)$$

Burada 1 kütle çekim merkezini (yere göre durağan bir yörunge için Dünya), 2 uzay aracını, $j=3, n$ üçüncü küteleri ifade eder. $\vec{r}_{ij} = \vec{r}_j - \vec{r}_i$ ise i. kütlenin j. kütleye göre yerini belirtir. Bu çalışmada Ay ve Güneş hesaba katılmıştır.

Dolayısıyla Ay ve Güneşin neden olduğu bozulmanın ivmesi;

$$\ddot{\vec{r}}_{3-4} = k^2 m_3 \left(\frac{\vec{r}_{31}}{r_{31}^3} - \frac{\vec{r}_{32}}{r_{32}^3} \right) + k^2 m_4 \left(\frac{\vec{r}_{41}}{r_{41}^3} - \frac{\vec{r}_{42}}{r_{42}^3} \right) \quad (49)$$

Buna göre x doğrultusunda Ay ve Güneşin etkisinden kaynaklanan ivme;

$$\ddot{\vec{x}}_{s,m} = -\mu_s \left(\frac{\vec{x} - \vec{x}_s}{\Delta_s^3} + \frac{\vec{x}_s}{r_s} \right) - \mu_m \left(\frac{\vec{x} - \vec{x}_m}{\Delta_m^3} + \frac{\vec{x}_m}{r_m} \right) \quad (50)$$

Benzer eşitlikler y ve z doğrultularındaki ivmeler içinde yazılabilir.

Burada ;

$$\Delta_{s,m} = \sqrt{(x - x_{s,m})^2 + (y - y_{s,m})^2 + (z - z_{s,m})^2} \quad (51)$$

$$r_{s,m} = \sqrt{x_{s,m}^2 + y_{s,m}^2 + z_{s,m}^2} \quad (52)$$

(x_s, y_s, z_s) ve (x_m, y_m, z_m) sırasıyla yermerkezine göre Güneş ve Ayın koordinatlarıdır.
 μ_s ve μ_m Güneş ve Ayın kütle çekim sabitleridir.

Ay ve Güneş, uzak oluşlarından dolayı tam küre olmayışlarından kaynaklanan çekim kuvveti farklılıklarını göz ardı edilip, noktalı kütle olarak düşünülebilirler. Hesaplamalarda Güneş ve Ayın konumlarını koordinat sisteminde zamana bağlı olarak kullanmak gerekir [2].

Güneş ve Ayın yer çekim sabitleri μ_s ve μ_m , Dünyanın yer çekim sabiti μ denildiğinde

$$\mu_s = 1,3271244 \cdot 10^{20} \text{ m}^3/\text{s}^2$$

$$\mu_m = 4902,799 \cdot 10^9 \text{ m}^3/\text{s}^2$$

$$\mu = 398600,64415 \cdot 10^9 \text{ m}^3/\text{s}^2 \text{ dir.}$$

Güneş ve Ayın Dünyaye göre yer vektörleri \vec{r}_1 ve \vec{r}_2 ise, uyduya göre bu yer vektörleri $-\vec{r}$, $\vec{r}_1 - \vec{r}$, $\vec{r}_2 - \vec{r}$ olacaktır. Bu kütlelerin uyduya uyguladığı çekimin bileşeni;

$$-\frac{\mu}{r^3} \vec{r} + \sum_{k=1}^2 \frac{\mu_k}{|\vec{r}_k - \vec{r}|^3} (\vec{r}_k - \vec{r}) \quad (53)$$

olur.

Ne varki Dünya da Ay ve Güneşin çekim kuvveti altında hareket eder. Benzer şekilde Dünyaya uygulanan ivme;

$$\sum_{k=1}^2 \frac{\mu_k}{\vec{r}_k^3} \vec{r}_k \quad (54)$$

dir.

Sonuçta uydunun net hareketi;

$$\frac{d^2 \vec{r}}{dt^2} = -\frac{\mu}{r^3} \vec{r} + \sum_{k=1}^2 \mu_k \left[\frac{\vec{r}_k - \vec{r}}{|\vec{r}_k - \vec{r}|^3} - \frac{\vec{r}_k}{r_k^3} \right] \quad (55)$$

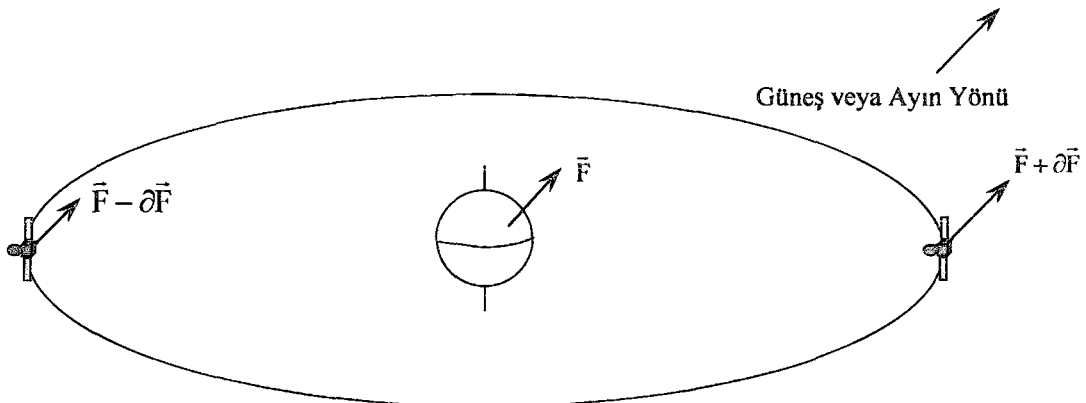
olur.

$r_k \gg r$ olduğundan parantez içi sadeleştir [4];

$$\frac{d^2 \vec{r}}{dt^2} \approx -\frac{\mu}{r^3} \vec{r} + \sum_{k=1}^2 \frac{\mu_k}{r_k^3} \left[\frac{3}{r_k^2} (\vec{r}_k \cdot \vec{r}) \vec{r}_k - \vec{r} \right] \quad (56)$$

ifadesi elde edilir.

Parantez içindeki son ifade negatiftir ve sabit sayılabilir. Önceki ifadeler ise Güneş ve Aydan kaynaklanan bozucu etkilerdir. Fakat günün bir yarısında uydu Ay'a Dünyadan daha yakındır ve daha kuvvetli çekime uğrar (Şekil 18), günün diğer yarısında bu durum tersine döner ve ifade negatif değer alır.



Şekil 18. Güneş ve Ayın kütle çekimi [2]

Güneşin Dünya merkezli sisteme göre koordinatları aşağıdaki şekilde bulunabilir [6].

- 1) Eqliptik düzleme göre boylamı(derece)

$$L_s = 180 + 99.68668 + 0.9856473JD + 1.91549 \sin M_s + 0.02009 \sin 2M_s$$

burada ; $M_s = 358.476 + 0.9856JD$ dir. JD 0,5 Ocak 1900'den sonraki Jülyen gün sayısıdır.

- 2) Ekvator düzlemine göre Güneşin boylamı (derece)

$$RA = A \tan(\tan L_s \cdot \cos \epsilon)$$

ϵ ; ekvator düzlemi ile eqliptik düzlem arasındaki $23,44^\circ$ lik açıdır.

- 3) Güneşin koordinatlarını ekvator düzlemine indirgenmesi

$$DECS = A \sin(\sin L_s \cdot \sin \epsilon)$$

Güneşin koordinatları;

$$x_s = r_s \cos(DECS) \cos(R.A.)$$

$$y_s = r_s \cos(DECS) \sin(R.A.)$$

$$z_s = r_s \sin(DECS)$$

(57)

Ayın koordinatları için;

- 1) Temel parametreler

$$\text{Güneşin ortalama bozulması: } \gamma = 358.48 + 0.9856JD$$

$$\text{Ayın ortalama bozulması: } \beta = 296.1 + 13.064992JD$$

$$\text{Ayın ortalama boylamı: } \lambda = 11.25 + 13.229350JD$$

$$\text{Ayın boylamı-Güneşin boylamı: } \delta = 350.74 + 12.190749JD$$

- 2) Eqliptik düzlemede Ayın boylamı;

$$\begin{aligned} LOM &= 270.434 + 13.176397JD + 6.289 \sin \beta - 1.274 \sin(\beta - 2\delta) \\ &\quad + 0.658 \sin(2\delta) + 0.214 \sin(2\beta) - 0.186 \sin \gamma \\ &\quad - 0.114 \sin(2\lambda) - 0.059 \sin(2\beta - 2\delta) - 0.057 \sin(\gamma + \beta - 2\delta) \\ &\quad + 0.053 \sin(\beta + 2\delta) - 0.046 \sin(\gamma - 2\delta) + 0.041 \sin(\beta - \gamma) \\ &\quad - 0.035 \sin \delta - 0.03 \sin(\beta + \gamma) \end{aligned}$$

- 3) Ayın ekliptik düzleminde enlemi;

$$\begin{aligned} \text{LAM} = & 5.128 \sin \lambda + 0.281 \sin(\beta + \lambda) + 0.278 \sin(\beta - \lambda) \\ & + 0.173 \sin(2\delta - \lambda) - 0.055 \sin(\beta - 2\delta - \lambda) \\ & - 0.046 \sin(\beta - 2\delta + \lambda) + 0.033 \sin(2\delta + \lambda) \end{aligned}$$

- 4) Ayın ekvator düzleminden yükseliş noktası;

$$\text{RASM} = A \tan(\tan(\text{LOM}) \cos \epsilon)$$

- 5) Ayın koordinatlarını ekvator düzlemine indirgenmesi

$$\text{DECM} = A \sin(\sin(\text{LOM}) \sin \epsilon)$$

Ayın koordinatları;

$$x_m = r_m \cos(\text{DECM}) \cos(\text{RASM})$$

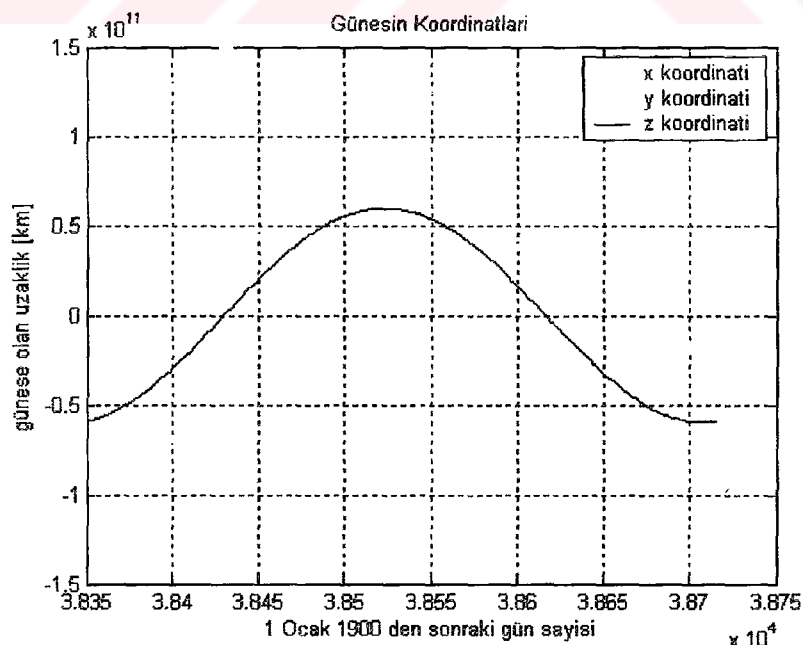
$$y_m = r_m \cos(\text{DECM}) \sin(\text{RASM})$$

$$z_m = r_m \sin(\text{DECM})$$

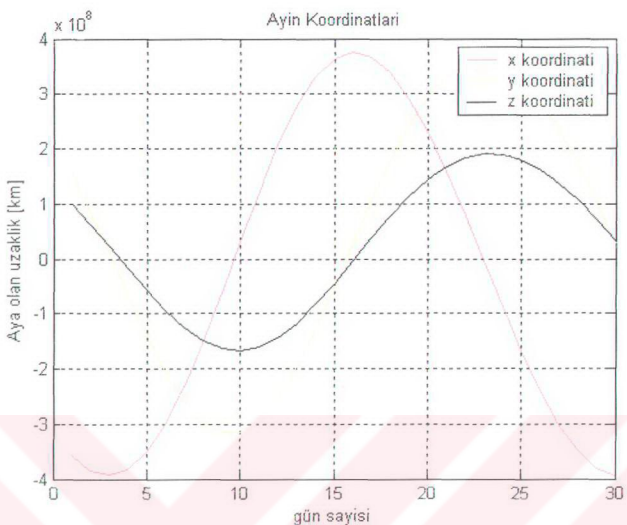
(58)

Bu çalışma için Güneş ve Ayın koordinatlarını hesaplayan bir program yazılmış (Ek-2, Ek-3) ve sonuçlar 2. nesil uyduımız Türksat 2A kontrol terminalindeki hesaplarla karşılaştırıldığında uyumlu olduğu görülmüştür.

2005 yılı Ocak ayından başlatılarak bir yıl için hesaplatılan Güneşin Dünya merkezine göre koordinatları (Şekil 19) ve 1-30 Ocak 2005 için Ayın Dünya merkezli koordinatları hesaplatılmıştır (Şekil 20).



Şekil 19. 1 Ocak 2005 ten sonraki bir yıllık Güneşin koordinatları



Şekil 20. 1 Ocak 2005 ten sonra 30 günlük Ayın koordinatları

Sonuçlar Türksat 2A uydu kontrol terminalindeki verilerle karşılaştırıldığında örtüşlüğü görülmüştür.

Üçüncü küt勒lerin uyduya uyguladığı bozucu ivmelerin hesabında Güneş ve Ayın koordinatları hesabı etkileyebilecek olan kütle çekim kuvvetinin hesabı için önemlidir.

1.7.3. Homojen Olmayan Kütle Dağılımından Kaynaklanan Bozulma

Dünyanın tam küre olmayacağından ve homojen bir dağılım sergilememesinden kaynaklanan bozulmalardır [8].

Dünya merkezine göre (x,y,z) koordinatlarındaki bir parçasının ivme bileşenleri;

$$\ddot{x} = \frac{\partial U}{\partial x}, \quad \ddot{y} = \frac{\partial U}{\partial y}, \quad \ddot{z} = \frac{\partial U}{\partial z} \quad (59)$$

ile verilir.

Burada U dünyanın potansiyelidir. $U=\mu_e/r$ olması durumu bozucu etkinin olmadığı durumdur [6].

$$\ddot{x} = -\mu_e x / r^3 \quad (60)$$

$$U = \frac{\mu_e}{r} \left[1 + \sum_{n=2}^{\infty} \left(\frac{a_e}{r} \right)^n \sum_{m=0}^n (C_{nm} \cos m\lambda + S_{nm} \sin m\lambda) P_{nm}(\sin \beta) \right] \quad (61)$$

U dünyanın potansiyelidir. r , β , λ sırasıyla, uydunun küresel koordinatlardaki uzaklığı, enlemi ve boylamıdır. $P_{nm}(\sin \beta)$ Legendre fonksiyonudur [8].

Kartezyen koordinatlar ile küresel koordinatlar arasındaki bağıntı;

$$r = \sqrt{x^2 + y^2 + z^2} \quad (62)$$

$$\beta = \arcsin \frac{z}{r} \quad (63)$$

$$\lambda = \arctan \frac{y}{x} \quad (64)$$

Legendre polinomu;

$$P_n(\sin \beta) = \frac{1}{2^n} \sum_{k=0}^n (-1)^k (2n-2k)! \sin^{n-2k} \beta / k! (n-k)! (n-2k)! \quad (65)$$

şeklindedir.

Bu ifade yardımıyla Legendre fonksiyonu;

$$P_{lm}(\sin \beta) = \cos^m \beta \frac{d^m P_l(\sin \beta)}{d(\sin \beta)^m} \quad (65)$$

Dünyanın potansiyelini tanımlayan ifadede geçen diğer C ve S sabitleri için değişik modeller oluşturulmuş ve tablolar halinde düzenlenmiştir.

Sonuçta uyduya Dünyadan kaynaklı etkiyen bozucu kuvvetin ivmesi için aşağıdaki diferansiyel denklemler çözülmelidir.

$$\ddot{x} = \frac{\partial U}{\partial x} = \frac{\partial U}{\partial r} \frac{\partial r}{\partial x} + \frac{\partial U}{\partial \beta} \frac{\partial \beta}{\partial x} + \frac{\partial U}{\partial \lambda} \frac{\partial \lambda}{\partial x} \quad (66)$$

$$\ddot{y} = \frac{\partial U}{\partial y} = \frac{\partial U}{\partial r} \frac{\partial r}{\partial y} + \frac{\partial U}{\partial \beta} \frac{\partial \beta}{\partial y} + \frac{\partial U}{\partial \lambda} \frac{\partial \lambda}{\partial y} \quad (67)$$

$$\ddot{z} = \frac{\partial U}{\partial z} = \frac{\partial U}{\partial r} \frac{\partial r}{\partial z} + \frac{\partial U}{\partial \beta} \frac{\partial \beta}{\partial z} + \frac{\partial U}{\partial \lambda} \frac{\partial \lambda}{\partial z} \quad (68)$$

burada;

$$\frac{\partial r}{\partial r_i} = \frac{r_i}{r} \quad (69)$$

$$\frac{\partial \lambda}{\partial r_i} = \frac{x}{y^2 + x^2} \left(\frac{\partial y}{\partial r_i} - \frac{y}{x} \frac{\partial x}{\partial r_i} \right) \quad (70)$$

$$\frac{\partial \beta}{\partial r_i} = \frac{1}{\sqrt{x^2 + y^2}} \left(-\frac{zr_i}{r^2} + \frac{\partial z}{\partial r_i} \right) \quad (71)$$

$$i = x, y, z$$

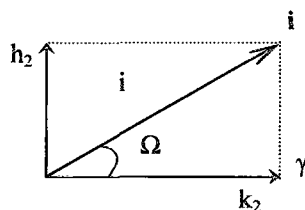
Yere göre durağan yörüngedeki bir uydı kendisine en yakın kararlı noktaya ulaşmak için ivme kazanır (Şekil 28). Eğer herhangi bir konum koruma manevrası yapılmazsa bu boylam üzerinde ileri-geri sarkaç hareketi yapar ve bu hareket iki yıldan fazla sürer [4].

1.8. Yörünge Eğiklik (Eğim) Vektörü

Yere göre durağan bir uydunun yörünge düzlemi her zaman ekvator düzlemi ile birebir çakışmaz. Bu iki düzlem arasındaki açıya yörünge eğiklik açısı denir ve tanımı bölüm 1.5.4'te yapılmıştır. Bu vektörü tanımlamak için h_2 ve k_2 olarak iki bileşen kullanılır [7].

$$k_2 = i \cos \Omega \quad (73)$$

$$h_2 = i \sin \Omega \quad (74)$$



Şekil 21. Eğim vektörü

Şekilden de görüldüğü gibi eğiklik vektörü yükseliş noktası yönündedir.

k_2, h_2 düzlemine eğiklik düzlemi denir.

(73) ve (74) ifadelerinin zamana göre türevleri alındığında;

$$\frac{dk_2}{dt} = -\sin i \cdot \sin \Omega \frac{d\Omega}{dt} + \cos i \cdot \cos \Omega \frac{di}{dt} \quad (75)$$

$$\frac{dh_2}{dt} = \sin i \cdot \cos \Omega \frac{d\Omega}{dt} + \cos i \cdot \sin \Omega \frac{di}{dt} \quad (76)$$

İfadeleri bu vektörlerin zamanla değişimini gösterir.

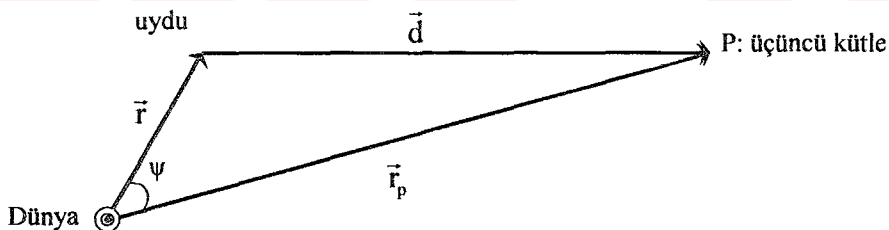
Eğiklik vektörü üzerindeki ana etki üçüncü kütlelerin çekiminden kaynaklanır. Yere göre durağan yörüngegedeki uydular için bu üçüncü çekim merkezleri Güneş ve Aydır. Diğer gezegenlerden en fazla etki, yakında olduğu zaman Venüs'ten kaynaklanır ancak bu çekim kuvvetleri ihmali edilemeyecek düzeydedir [4].

1.8.1. Güneşten Kaynaklanan Etki

Bozucu kütleden kaynaklanan ivmenin değişimi;

$$\vec{\Gamma}_p = \mu_p \left[\left(\frac{\vec{r}}{r^3} \right) - \left(\frac{\vec{r}_p}{r_p^3} \right) \right] \quad (77)$$

olmak üzere;



Şekil 22. Üçüncü kütlenin yer vektörü

\vec{k} :yörüngeye dik

\vec{p} :üçüncü kütleye doğru vektörler

Bozucu kuvvetlerin normal bileşeni aşağıdaki gibi verilir,

$$\Gamma_\phi = \vec{r}_p \vec{k} = \mu_p \left[\left(\frac{\vec{d} \cdot \vec{k}}{d^3} \right) - \left(\frac{\vec{r}_p \cdot \vec{k}}{r_p^3} \right) \right] \quad (78)$$

$$\Gamma_\phi = 3\mu_p \left(\frac{r}{r_p^3} \right) \vec{p} \cdot \vec{k} \cos \psi \quad (79)$$

$$\vec{p} \cdot \vec{k} = \sin \theta_p \sin i_p \quad (80)$$

bu durumda;

$$\Gamma_\phi = 3\mu_p \left(\frac{r}{r_p^3} \right) \sin \theta_p \sin i_p \cos \psi \quad (81)$$

ifadeler basitleştirildiğinde ve Güneşten kaynaklanan çekim kuvveti Γ_ϕ kullanıldığında

$$\frac{dk_2}{dt} = \left(\frac{3}{4} \right) \left(\frac{\mu_s}{nr_s^3} \right) \sin \varepsilon \sin 2l_s \quad (82)$$

$$\frac{dh_2}{dt} = \left(\frac{3}{4} \right) \left(\frac{\mu_s}{nr_s^3} \right) \sin \varepsilon (\sin l_s)^2 \quad (83)$$

entegralleri alındığında;

$$\int \sin 2l_s dt = -\frac{\cos 2l_s}{2\omega_s} \quad (84)$$

$$\int (1 - \cos 2l_s) dt = \Delta t - \left(\frac{1}{2\omega_s} \right) \sin 2l_s \quad (85)$$

l_s : Güneşin boylamı

sonuçta Güneşten kaynaklanan bozulmanın bileşenleri;

$$\Delta k_2 (\text{mderece}) = -23 \cos 2l_s \quad (86)$$

$$\Delta h_2 (\text{mderece}) = 0,74 \Delta t - 23 \cdot 0,92 \cdot \sin 2l_s \quad (87)$$

olur.

1.8.2. Aydan Kaynaklanan Etki

Benzer şekilde Ay'dan kaynaklanan çekim kuvvetinin bozma etkisi hesaplandığında [7];

$$\frac{dk_2}{dt} = \left(\frac{3}{4} \right) \left(\frac{\mu_M}{nr_M^3} \right) (-\sin \Omega_M \sin i_M \cos i_M) \quad (88)$$

$$\frac{dh_2}{dt} = \left(\frac{3}{4} \right) \left(\frac{\mu_M}{nr_M^3} \right) (\cos \Omega_M \sin i_M \cos i_M) \quad (89)$$

Ω_M ve i_M ayın ekvator, bahar gündönümü referans koordinatlarıdır.

İfadeler basitleştirildiğinde ve entegrali alındığında;

$$\frac{dk_2}{dt} = -0,36 \cdot 10^{-3} \sin \Omega_m + 7 \cdot 10^{-6} \sin 2\Omega_m \quad (90)$$

$$\frac{dh_2}{dt} = 1,58 \cdot 10^{-3} + 0,268 \cdot 10^{-3} \cos \Omega_m - 6,45 \cdot 10^{-6} \cos 2\Omega_m \quad (91)$$

$$\int \sin \Omega_m dt = -(1/\Omega_m') \cos \Omega_m \quad (92)$$

$$\int \cos \Omega_m dt = (1/\Omega_m') \sin \Omega_m \quad (93)$$

$$\Omega_m' = 0,0529 \text{ derece/gün}$$

Ω_m ve i_m ; ekliptik düzlemden Ay parametreleridir.

Sonuçta Aydan kaynaklanan h_2 , k_2 bileşenlerinin zamana göre değişimleri;

$$\Delta k_2(\text{mderece}) = 6,8 \cos \Omega_m \quad (94)$$

$$\Delta h_2(\text{mderece}) = 1,58 \Delta t + 5,07 \sin \Omega_m \quad (95)$$

olarak bulunur.

Ay ve Güneşin etkiler toplandığında net eğiklik açısı değişimi;

$$\Delta k_2(\text{mderece}) = -23 \cos 2l_s + 6,8 \cos \Omega_m + \Delta k_0 \quad (96)$$

$$\Delta h_2(\text{mderece}) = (1,58 + 0,74) \Delta t - 21,2 \sin 2l_s + 5,07 \sin \Omega_m + \Delta h_0 \quad (97)$$

burada Δk_0 ve Δh_0 başlangıç değerleridir [7].

T, 01/01/1994 saat 00:00 dan sonraki gün sayısı olmak üzere;

$$l_s(\text{derece}) = 280,408 + 0,9856473T \quad (98)$$

$$\Omega_m(\text{derece}) = 241,091 - 0,059539T [13] \quad (99)$$

olarak hesaplanır.

Yapılan çalışmada yukarıdaki bileşenlerin değişimlerine, Güneşten kaynaklanan 182 gün, 365 gün ve 122 günler değişimler, Aydan kaynaklanan 14 ve 28 günlük değişimler eklenmiş ve verilenden farklı bir Ay ve Güneş koordinat hesabı kullanılmıştır. Sonuçlar Türksat 1B ve Türksat 1C uydularımızın verileriyle karşılaştırılmıştır. Doğrulama katsayıları her bir grafik için hesaplanmış ve üzerlerine yazılmıştır.

1.9. Uydunun Yörüngede Tutulması

Haberleşme uyduları yerküreyle eş zamanlı dönmek zorundadırlar. Ancak bu sayede kullanıcılar küçük ve sabit antenlerle uydu hizmetlerinden faydalabilirler. Bunu sağlamak içinse uydu da Dünya gibi bir dönme periyodunu 24 saatte tamamlamak zorundadır.

Dünyanın uyguladığı çekim kuvveti: F,

Uydunun dönmesinden dolayı oluşan merkezkaç kuvveti F' ise;

$$F = G \frac{M \cdot m}{R^2} \quad (100)$$

$$F' = \frac{m \cdot V^2}{R} \quad (101)$$

M :Dünyanın kütlesi,

m :uydunun kütlesidir.

Uydunun durağan olması için $F=F'$ olmalıdır.

$$\mu = M \cdot G = 398601 \text{ km}^3/\text{s}^2$$

$$(M+m) \cdot T^2 = \frac{4\pi^2}{G} a^3 \text{ olmalıdır.} \quad (102)$$

a :yeresabit yörünge yarıçapı.

$$P = 2\pi \sqrt{\frac{a^3}{\mu}} \quad (103)$$

Dünya 360° yi $365,25$ günde alır.

$$360 / 365,25 = 0,9856^\circ / \text{gün}$$

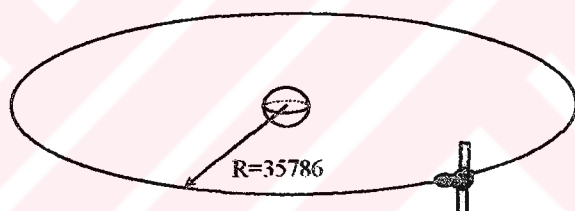
$360,9856^\circ$ yi 24 saatte döndüğüne göre 360° yi 23 saat 56 dakika 4,09 saniye = 86164,09 saniyede alır.

$$G \cdot \frac{M \cdot m}{R^2} = \frac{mV^2}{R} \quad (104)$$

$$V = \sqrt{\frac{\mu}{R}} = 3.07466 \text{ km/s} \quad (105)$$

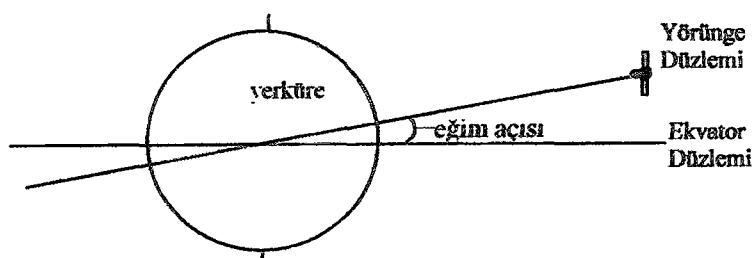
O halde uydunun yere göre durağan yörüngede dönmesi için saniyede yaklaşık 3 km yol olması gereklidir. Uydunun açısal hızı düşer, çizgisel hızı artar ve bir üst yörüngeye çıkar. Dünyaya yaklaşıkça açısal hızı artar.

Buna göre uydunun yerkürenin merkezinden uzaklığını yaklaşık 42164 km olduğu taktirde uydu Dünyaya göre sabit gözlemlenebilir. Dünya yarıçapı ortalama 6378 km olarak alındığında uydunun ekvator düzleminden Dünyaya olması gereken uzaklığını 35786 km olarak hesaplanır.

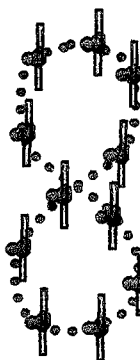


Şekil 23. Yere göre durağan haberleşme uydusunun dünyaya olan uzaklığı

Yere göre durağan haberleşme uyduları için bir diğer gereksinim ise yörünge düzlemini ile ekvator düzleminin çakışmasıdır. Aksi taktirde uydunun uzaydaki hareketi '8' veya '0' 'a benzerlik gösterir.(Şekil 25)

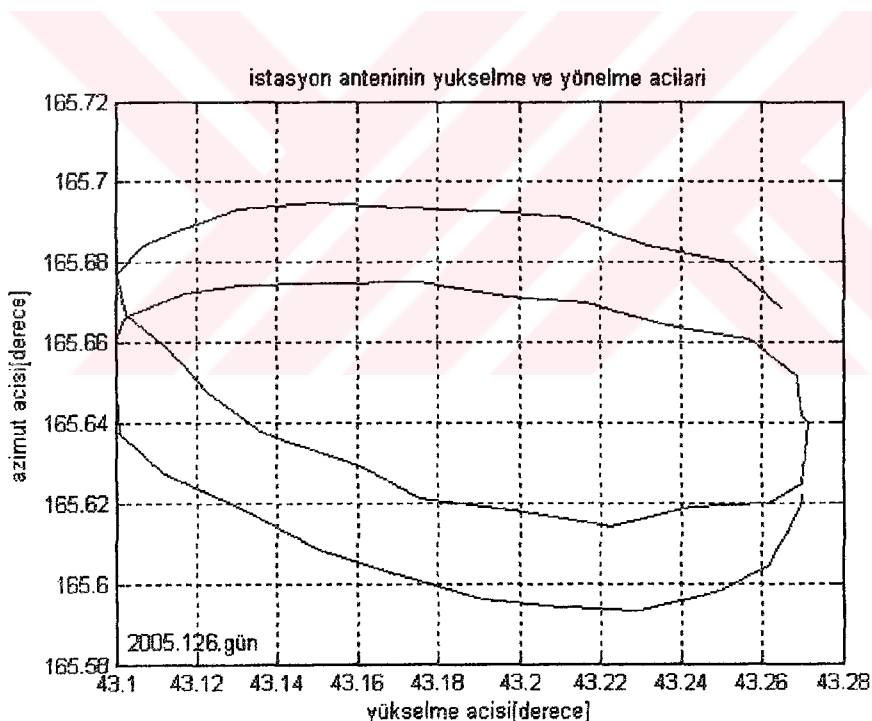


Şekil 24. Ekvator düzlemini ile çakışmayan yörünge düzlemini (eğimli yörünge)



Şekil 25. Dünyaya göre gözlemlenen izdüşümü

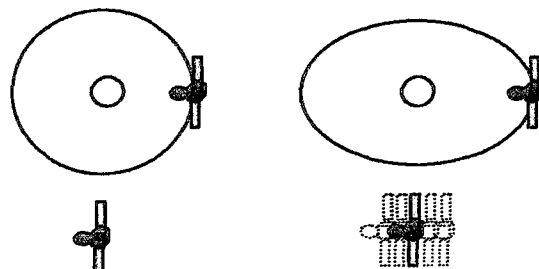
Yere göre durağan uydular kontrol merkezleri tarafından kesintisiz gözlenirler ve bulundukları konumu belirlemek için düzenli aralıklarla mesafe ölçüm işlemi yapılır. Manevraların planlanmasıında bu ölçüm sonuçları kullanılır. Şekil 26 Gölbaşı Türksat Uydu Kontrol Merkezinin istasyon anteninin azimut ve yönelme açılarını göstermektedir.



Şekil 26. İstasyon antenin 48 saatlik azimut ve yükselme açıları

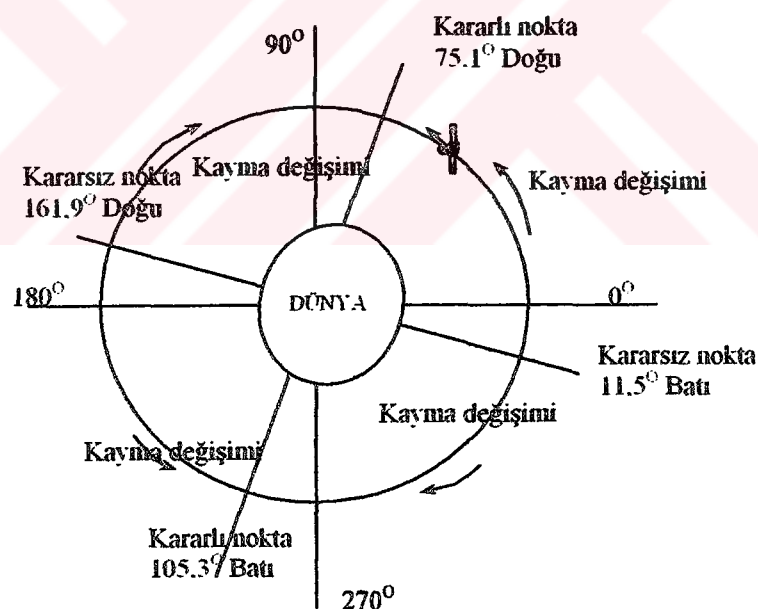
Şekilden de görüldüğü gibi uydu 48 saatlik hareketini aynı yörüngeye yapmaz. Etkisi altında bulunduğu bozucu kuvvetler nedeniyle hareketi değişir.

Uydunun yörüngesi, uydunun durağan davranışası için daire şeklinde olmalıdır. Eğer şekil daireden çok elipse benzerlik göstermeye başlıyorsa uydu doğu-batı doğrultusunda salınım yapmaya başlar (Şekil 27). Bu durumda kalmamak için doğu/batı manevrası yapılarak yörünge daireye benzetilmeye çalışılır.



Şekil 27. Dairesel ve eliptik yörünge üzerinde uydu davranışları

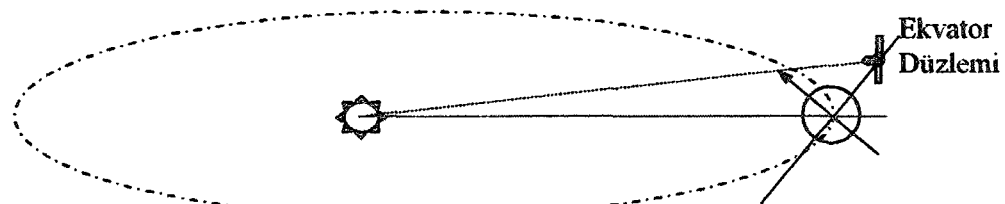
Dünyaya kutuplar yönünden bakıldığındá şekli, daireden çok yumurtayı andırır. Bu şekilde $75,1^{\circ}$ doğu ve $105,3^{\circ}$ batı boyamları (kararlı noktalar) Şekil 28 de görüldüğü gibi uçlara rastlar.



Şekil 28. Kararlı ve Kararsız boyamlar

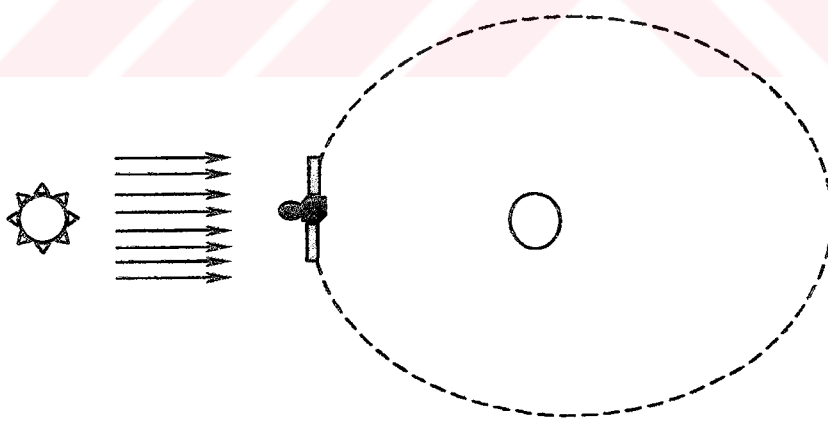
Türksat uyduları için düşünüldüğünde $31,3^{\circ}$ ve 42° doğu boyamları $75,1^{\circ}$ Doğu kararlı boylama daha yakındır. Dolayısıyla doğası gereği tüm uydular kendilerine en yakın kararlı noktaya gitme eğilimindedirler.

Bilindiği gibi, Dünyanın Güneş etrafındaki hareketi sırasında ekvator düzlemi ile yörünge düzlemi arasındaki açı yaklaşık olarak $23,44^\circ$ dir. Benzer şekilde Ayın yörungesi de ekvator düzlemi ile çakışmaz. Bu açılardan dolayı Güneş ve Ay çekim kuvvetleri uyduun konumunda bozulmalara ve '8' şecline neden olur (Şekil 25).



Şekil 29. Ay ve Güneş çekimi

10-11 m uzunluğunda ve 1-2 m genişliğindeki Güneş panelleri sayesinde, uydu, gereksinimi olan elektrik enerjisini üretir. Paneller maksimum enerji üretecek şekilde Güneşe doğru yönlendirilmiştir. Bu panellerin kapsadığı alana etkiyen Güneş ışınlarından dolayı bir basınç etkimesine maruz kalır ve bu yörüngenin daha eliptik olmasına neden olur.



Şekil 30. Güneş ışını basıncının uydu yörungesine etkisi

Buna benzer diğer etkilerden dolayı uydu yörungesi daireden uzaklaşır. Yörünge Kontrol Mühendisleri, yaklaşık 14 günlük manevra çevrimleriyle (şekil 32) uyduyu bulunduğu konumun $\pm 0.1^\circ$ lik etrafındaki bir pencerede tutmaya çalışırlar.

1.9.1. Yörüngenin Hesaplanması

Uydunun yörüngesine etkileyen tüm bozucu ivmeler toplanıp uygun bir sayısal entegrasyon kullanılarak uydunun yeni konumu ve yeni hızları bulunur. Entegrasyonu alınacak olan ifade [8];

$$\ddot{\vec{r}} = -\mu \frac{\ddot{\vec{r}}}{r^3} + \ddot{\vec{r}}_p \quad (106)$$

bu ifadede r_p , entegrasyonu alınacak zaman aralığında, uyduya etkiyen bozucu ivmelerin toplamıdır.

Entegrasyon sonunda x,y,z koordinatları için birer tane hız ve birer tane konum değeri bulunmuş olur. Ancak bulunan bu değerler kartezyen koordinatlardadır. Anlamlı olabilmesi için yörünge parametrelerine dönüştürülmesi gereklidir.

1.9.1.1. Yörünge Parametrelerinden Kartezyen Koordinatlara Dönüşüm

Bozucu ivmelerin hesabında kullanmak için yörünge parametrelerinden kartezyen koordinatlara geçmek gereklidir. Bu koordinatlar, Dünya merkezine göre uydunun hız ve konum bilgilerini gösterir [4].

$$r = \frac{a(1-e^2)}{(1+e\cos\theta)} \quad (107)$$

$$v = \frac{\sqrt{\mu}}{\sqrt{(a(1-e^2)}} \quad (108)$$

olmak üzere;

$$x = r[\cos(\theta + \omega)\cos\Omega - \cos i \sin((\theta + \omega)\sin\Omega)] \quad (109)$$

$$y = r[\cos(\theta + \omega)\sin\Omega + \cos i \sin((\theta + \omega)\cos\Omega)] \quad (110)$$

$$z = r \sin(\theta + \omega) \sin i \quad (111)$$

$$V_x = v[(e + \cos\theta)(-\sin\omega\cos\Omega - \cos i \sin\Omega \cos\omega) - \sin\theta(\cos\omega\cos\Omega - \cos i \sin\Omega \sin\omega)]$$

$$V_y = v[(e + \cos\theta)(-\sin\omega\sin\Omega + \cos i \cos\Omega \cos\omega) - \sin\theta(\cos\omega\sin\Omega - \cos i \cos\Omega \sin\omega)]$$

$$V_z = v[(e + \cos\theta)\sin i \cos\omega - \sin\theta \sin i \sin\omega)] \quad (114)$$

1.9.1.2. Kartezyen Koordinatlardan Yörünge Parametrelerine Dönüşüm

Yörüğenin şekli, boyutu, ekvator düzlemine göre konumu, uydunun bu yörünge üzerindeki yerini belirlemek için kartezyen koordinatlardan yörünge parametrelerine geçmek gerekir [7].

$$r = \sqrt{x^2 + y^2 + z^2} \quad (115)$$

$$v = \sqrt{V_x^2 + V_y^2 + V_z^2} \quad (116)$$

$$c = \sqrt{[(yV_z - zV_y)^2 + (zV_x - xV_z)^2 + (xV_y - yV_x)^2]} \quad (117)$$

$$\epsilon = \frac{r \cdot v^2}{\mu} - 1 \quad (118)$$

olmak üzere

$$a = \frac{r}{(1 - \epsilon)} \quad (119)$$

$$e = \sqrt{\epsilon^2 + (1 - \epsilon^2)(xV_x + yV_y + zV_z)^2 / r^2 / v^2} \quad (120)$$

$$i = a \cos[(xV_y - yV_x) / c] \quad (121)$$

$$\Omega = a \tan \left(\frac{zV_x - xV_z}{yV_z - zV_y} \right) + \frac{\pi}{2} \quad (122)$$

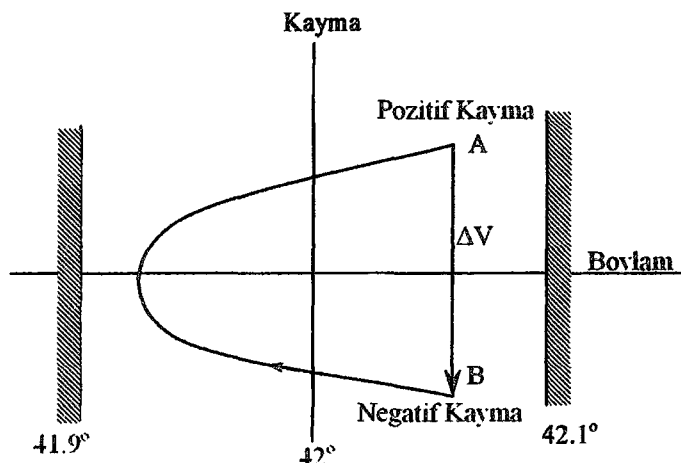
$$\omega = a \cos \left[\frac{(x \cos \Omega + y \sin \Omega)}{r} \right] \text{sign}[(y \cos \Omega - x \sin \Omega) \cos i] - \theta \quad (123)$$

dir.

1.9.2. Nominal Kontrol Çevrimi

Tavsiye edilen nominal konum-koruma çevrimi Doğu/Batı kontrolü ve Kuzey/Güney kontrolüne dayanır. Uydunun yörünge düzlemiyle yaptığı açının korunması için Kuzey/Güney manevrası, şekil 31 de gösterilen pencere dahilinde tutmak ise Doğu/Batı manevrası yapılır.

Şekil 31 de de gösterildiği gibi nominal bir kontrol çevrimi birbirini takip eden 14 günlük manevra planları vardır. Yörünge hesabı için 48 saatte varan ölçümler yapılır.



Şekil 31. Boylam penceresi

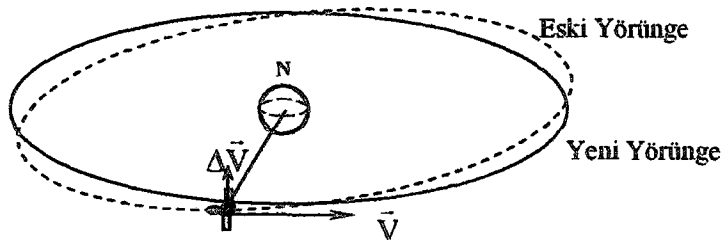


Şekil 32. Manevra çevrim planı

Kuzey/Güney manevrası, Doğu/Batı manevrasından 3-4 gün önce yapılır [10]. Böylece Kuzey/Güney manevrasından kaynaklanabilecek hataların katlanarak büyümeyesine engel olunur. Doğu/Batı manevrasında bu etkileri de içeren düzeltme manevrası yapılır.

1.9.2.1 Kuzey/Güney Manevrası

Uydunun yörünge düzleminin ekvator düzlemi ile yaptığı açının korunması amacıyla yükselme veya alçalma düşümlerinde yapılır. Uydular nominal olarak ekvator düzleminden $\pm 0,1$ derecelik bir pencerede bulunurlar.



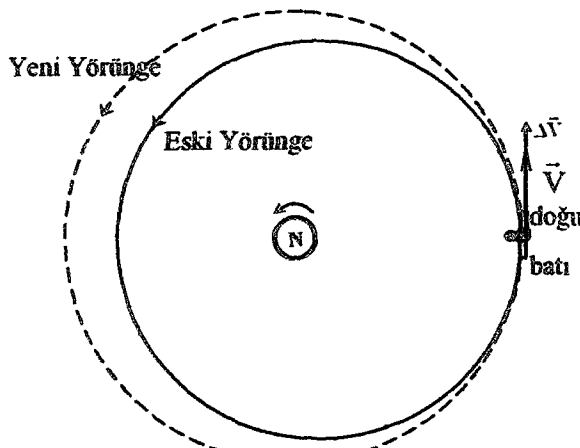
Şekil 33. Güney manevrası [11]

Şekil 33 ten de görüldüğü gibi güney manevrası yükseliş noktasına gelindiğinde, yörünge düzlemine dik bir $\Delta\vec{V}$ eklenerek yapılır. Bu durumda eski ve yeni yörüngeler şekil 33'te gösterilmiştir. Uydunun bir aylık yaptığı kuzey manevrasında harcadığı yakıt yaklaşık olarak bir yılda doğu manevrasında harcadığı yakıtta denktir (Tablo 2).

1.9.2.2. Doğu/Batı Manevrası

Doğu/Batı manevrasının asıl amacı uyduyu kaydedildiği boylamda tutmaktadır. Eşkonumlu çalışan Türksat 2A ve Türksat 1C uyduları için boylam penceresi şekil 31'da gösterilmiştir. Bu manevradan sonra uydunun yeni yörüngeyi şekil 34'teki gibi olur.

Doğu manevrasında \vec{V} çizgisel hızıyla gitmekte olan uyduya kayma yönünde $\Delta\vec{V}$ hızı eklenir. Bu durumda uydu hızlanır ve bir üst yörüngeye çıkar böylece Dünyaya göre batıda kalmış olur.



Şekil 34. Doğu manevrası

Kuzey manevrası yapmak için harcanan yakıt doğu manevrası yapmak için harcanan yakittan oldukça fazladır. Tablo 2 de bir uydu için planlanan yakıt sarfiyatı görülmektedir. Tablodan da görüldüğü gibi söz konusu uydu için planlanan kuzey manevrası yakıtı, doğu manevrası yakıtının yaklaşık 23 katıdır. Ve tüm yakıtın yaklaşık %95 ine denk gelmektedir [10].

Tablo 2. Bir uydunun manevra planı

Manevra	ΔV [m/s]	Manevra süresi Isp [s]	Verimliliği [%]	Kütledeki değişim [kg]	Son kütle [kg]
Yerleşim kütlesi					3852,4
Ayrılma kütlesi				45	3807,4
Transfer yörünge kütlesi				8,0	3799,4
AMF₁ (4.yeröte geçişinde)	532,8	317	99.4	601,74	3197,7
AMF₂ (6. yeröte geçişinde)	832	317	99.1	756,79	2440,9
AMF₃ (8.yeröte geçişinde)	129,7	317	99.8	99,94	2340,9
AMF₄ (12.yeröte geçişinde)	7,5	289,5	92.0	6,71	2334,2
Ömür başlangıç kütlesi				9,0	2326,0
Kuzey/Güney konum koruma	837,21	283,5	93.6	639,59	1686,4
Doğu/Batı konum koruma	36,50	283,5	88.0	24,97	1661,4
Tekrar konumlandırma	6	280,5	88.0	4,09	1649,1
Yörüncheden çıkartılma	6	280,5	87.0	4,13	1645,0
Son kuru kütle					1601,4

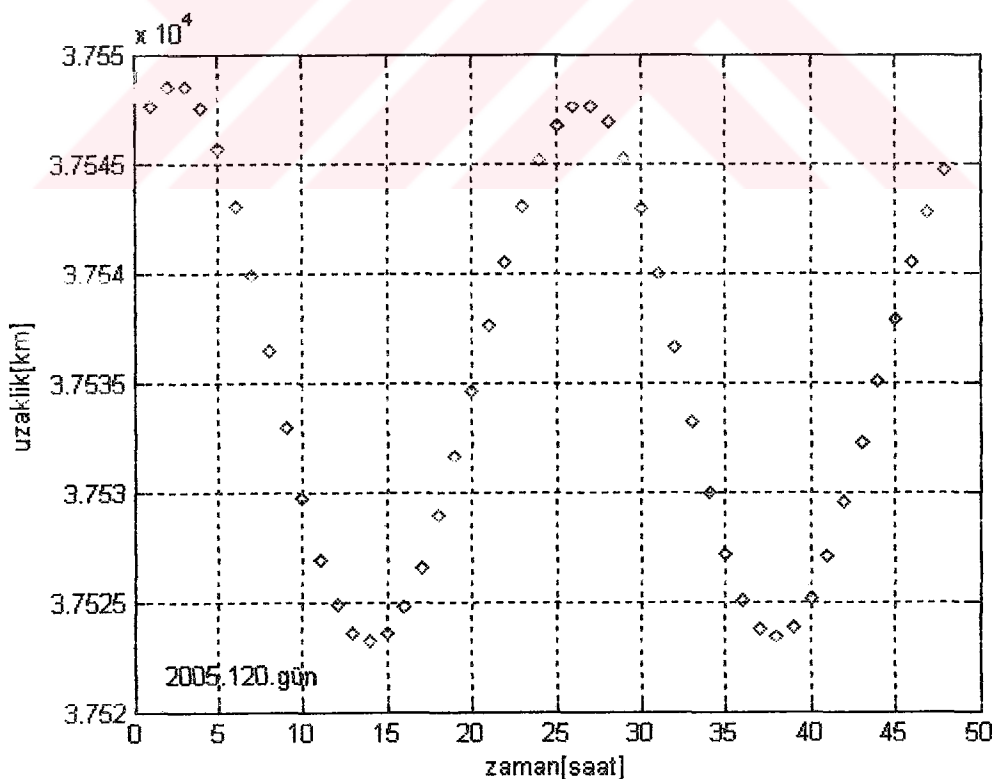
Tablo 2'deki AMF değerleri transfer yörünge sırasında yapılan yeröte itki motor ateşlemelerini göstermektedir (Şekil 17)

1.9.3. Yörüngeyi Belirleme

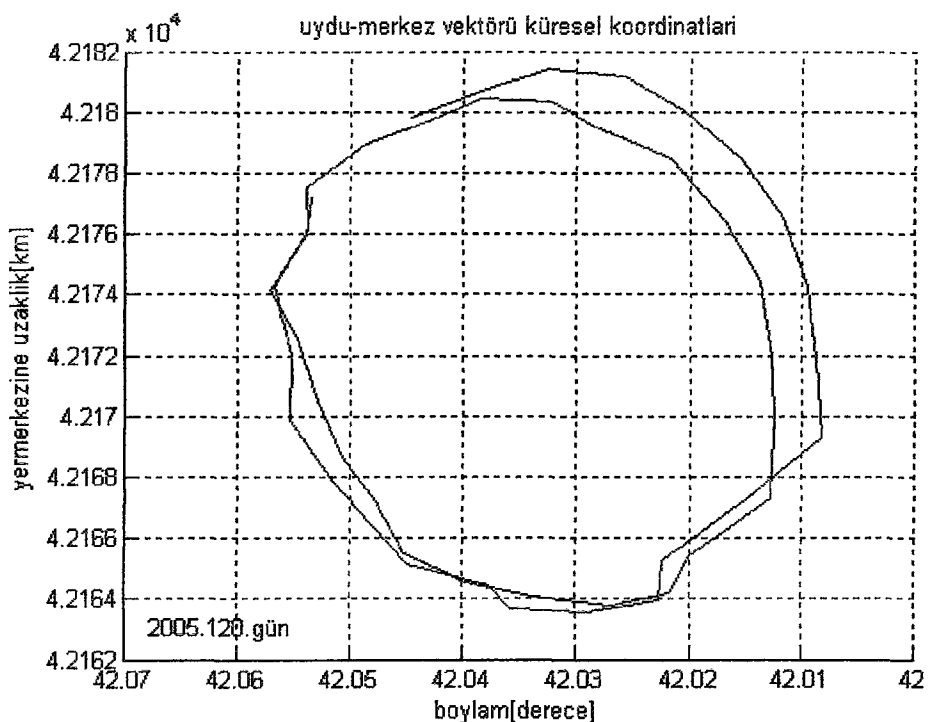
Yörüngeyi belirlemek için yapılan işlem, mesafe ölçüm işlemidir. Bunun için 48 saat boyunca belirli aralıklarla uyduyunun mesafesi ve kullanılan antenin azimut, yükselme açıları kullanılarak uyduyunun yeri saptanır. Bu tez için 2005 yılının 120. 123. ve 126. günlerinden başlayan 48 saatlik bu ölçüm değerleri kullanılarak Türksat 2A uydusunun konumunu belirlemek amacıyla bir program yazılmıştır.(Ek-1)

Bunun için ilk önce istasyonun konumu Explorist 100 GPS cihazı ile ölçülmüştür. Gölbaşı Uydu Yer istasyonunun koordinatları $39^{\circ}38,473\text{N}$ ve $32^{\circ}48,457\text{E}$, rakımı, $1054 \pm 9\text{m}$ olarak ölçülmüştür.

Uydunun konumu Dünya merkezine göre hesaplanmıştır. Bunun önce istasyonun koordinatları ve rakımını kullanarak Dünya merkezinden yer istasyonuna olan vektör hesaplanmıştır. Mesafe ölçüm ve anten açıları kullanılarak yer istasyonunda uyduya olan vektör tanımlanmıştır. Son aşamada bu iki vektörün toplamı ile Dünya merkezinden uyduya olan vektör bulunmuştur. 48 saatlik sonuçlar grafiksel olarak çizdirildiğinde aşağıdaki şekiller elde edildi.

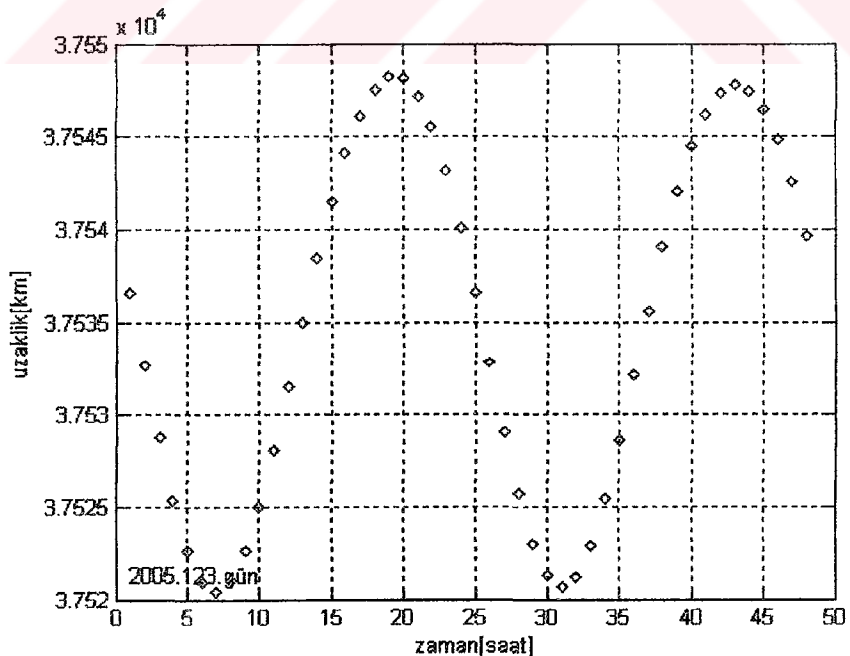


Şekil 35. 2005 yılı 120. gün mesafe ölçüm sonuçları

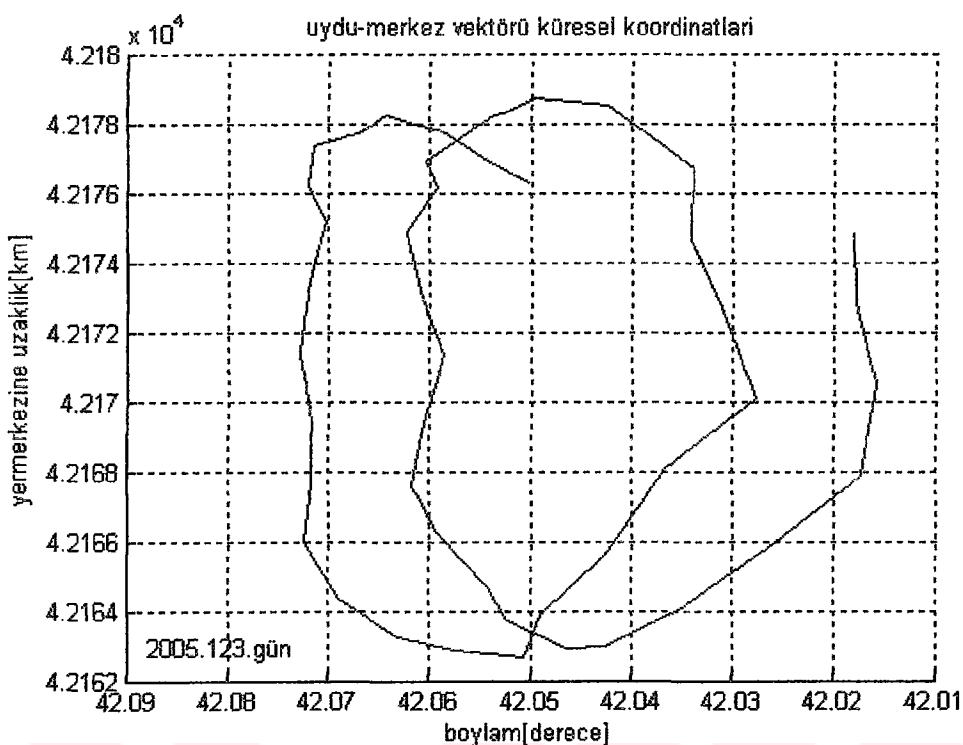


Şekil 36. 2005 yılı 120. gün uydu-merkez vektörü

Yukarıdaki şekiller kuzey manevrası yapmadan önceki sonuçlardır. Kuzey manevrası yapıldıktan sonra alınan veriler kullanılarak oluşan program çıktısı aşağıdaki gibi olur.

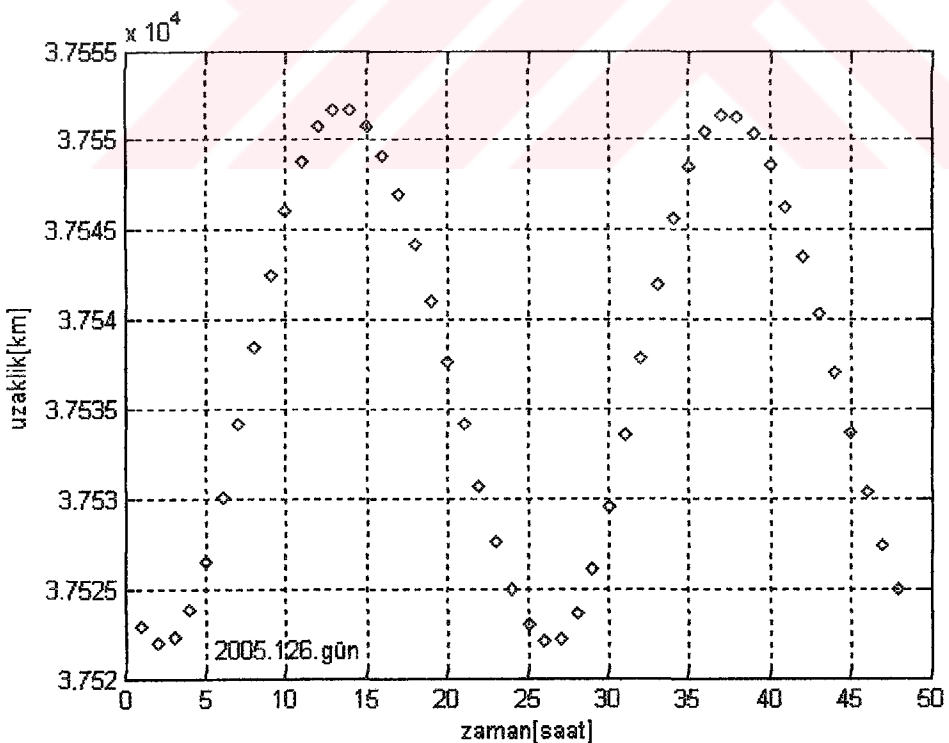


Şekil 37. 2005 yılı 123. gün yer istasyonu-uydu mesafesi

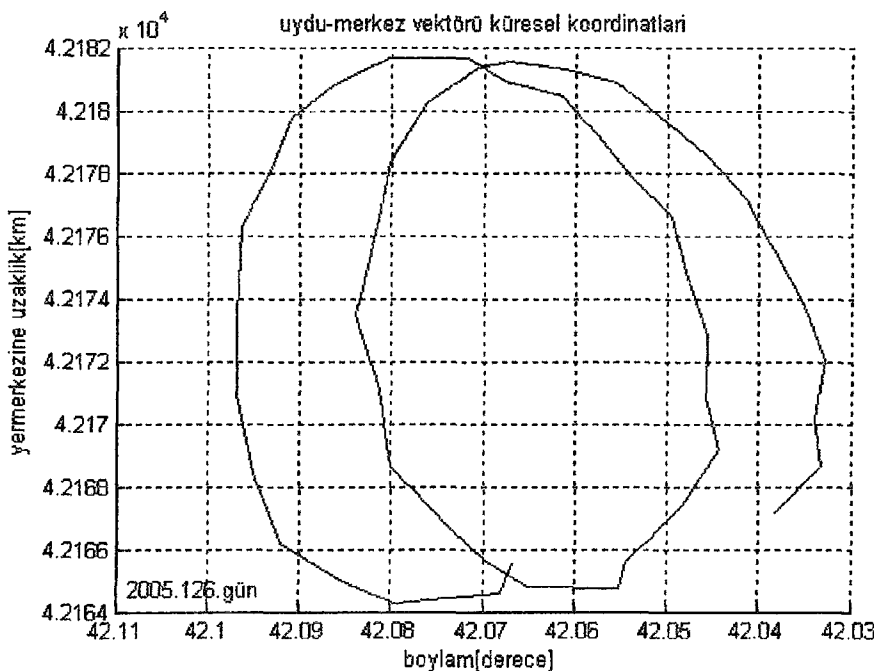


Şekil 38. 2005 yılı 123. gün dünya merkezi uzaklılığı-boyamı

125. gün sonunda doğu manevrası yapıldığında aşağıdaki sonuçlara ulaşılmıştır.



Şekil 39. 2005 yılı 126. gün yerstasyonu-uydu mesafesi



Şekil 40. 2005 yılı 126. gün dünya merkezi uzaklı - boyamı

1.10 Uydu İletişim Analizi

1.10.1. Anten parametreleri

Uydu sisteminde kullanılan parabolik yansıtıcılı antenlerin başlıca parametreleri, kazanç, hüzme genişliği ve yanband güçleridir.

1.10.1.1. Anten Kazancı

Bir anten, üzerine gelen radyo dalgasının gücünü etkin yüzeyi ile toplar. Anten kusursuz ise etkin açılık yüzeyi, fiziksel yüzeyine eşittir.

Dairesel bir açılık için;

$$A = \frac{\pi d^2}{4} \quad (124)$$

dir.

d: anten çapı [m]

Pratikte ise kayıplar ve yüzeyin düzgün aydınlatılamamasından kaynaklanan etkiler eklendiğinde, etkin alan A_e ;

$$A_e = \eta \{A\} \quad (125)$$

$$= \eta \pi \left(\frac{d}{2} \right)^2 \quad (126)$$

dir.

η : anten verimliliğidir ve 1'den küçüktür.

Anten verimliliği, antenin tasarımlı sırasında göze alınan önemli faktörlerdendir.

Tipik olarak %55 ile %75 arasında değişir [1].

Buna göre yönsemesiz bir antene göre kazanç;

$$G = \frac{4\pi A_e}{\lambda^2} \quad (127)$$

λ :serbest uzaydaki dalga boyu

A_e :açıklık antenin etkin yüzeyidir.

A_e yerine konulduğunda;

$$G = \eta \left(\frac{\pi d}{\lambda} \right)^2 \quad (128)$$

(128) desibel olarak ifade edildiğinde;

$$G_{\text{dB}} = 10 \log \eta + 20 \log \pi + 20 \log d - 20 \log \lambda \quad (129)$$

sabitlerin değerleri hesaplanıp yerine konulduğunda aynı ifade;

$$G_{\text{dB}} = 10 \log \eta + 20 \log f + 20 \log d + 20,4 \quad (130)$$

η :anten verimliliği

f :kullanılan frekans [GHz]

d :anten çapı [m]

20,4 : $10 \log(1.10^9 \pi/c)$ den gelen sabit.

1.10.1.2. Anten Hüzme Açıklığı

Hüzme açılığı antenin gücünün en fazla toplandığı açıdır. Maksimum ışırma gücünün yarıya, diğer ifade ile 3dB düşüğü noktalar arasındaki açıdır.

Pratik bir hesapla;

$$\text{HPBW} = \frac{\lambda}{d\sqrt{\eta}} \cdot 57,29 \quad [\text{derece}] \quad (131)$$

olarak ifade edilebilir.

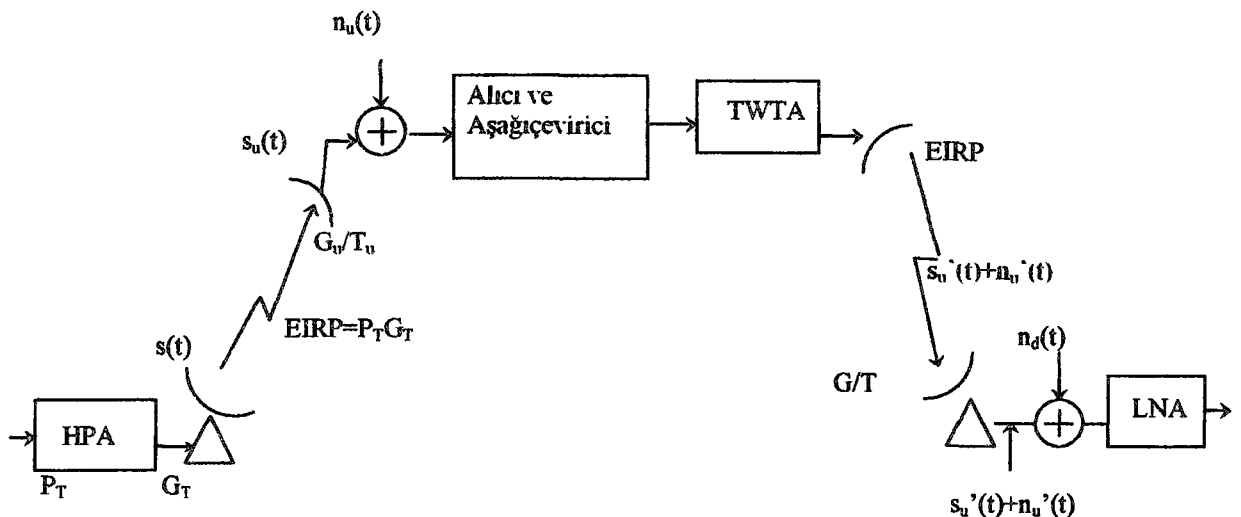
$$\lambda=c/f \text{ [m]} \quad (132)$$

1.10.1.3. Anten Yan Kulakçılar

En fazla gücün işına yaptığı hüzmeye ana kulak denir. Fakat bu doğrultunun dışında da güç işına yapılır (veya alınır). Bu yan kulakçılar tamamen bastırılamayan bir işimaya sahip olabilir. Bu çalışmada uydu takip sisteme ait antenler kullanıldığından sadece ana kulak düşünülmüştür.

1.10.2. Uydu-Yer Ve Yer-Uydu Bağı Temel Bileşenleri

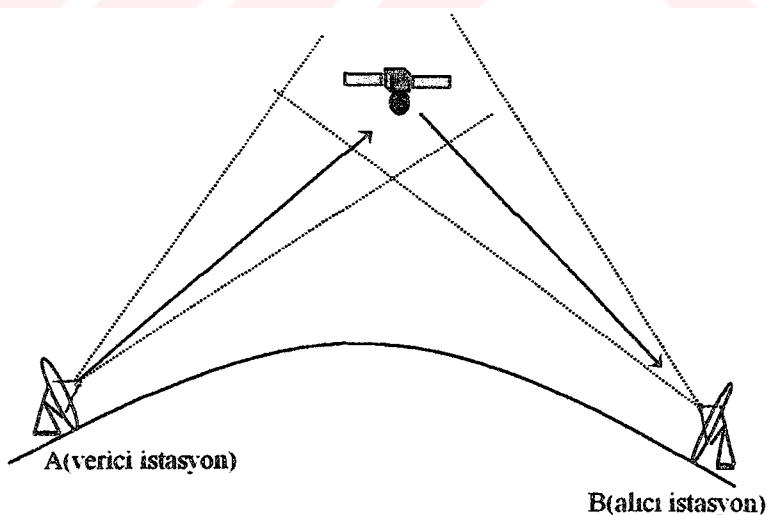
Uydu haberleşme sistemlerinde temelde yapılan işlem, verici istasyondan gönderilen işaretin uydu kapsama alanı içindeki kullanıcı veya kullanıcılarla ulaşmasıdır. Verici istasyon, göndermek istediği işareti önce modüle eder ve bir band geçiren süzgeçten geçirir. Sonra bir karıştırıcıdan geçirerek uyduda kendisine ayrılan frekansa yükseltir, kuvvetlendirerek uyduya gönderir. Uydu, önce aldığı ve çeşitli sebeplerden zayıflamış olan işaretin düşük gürültülü bir yükselteç ile kuvvetlendirir ve yerel osilatörü ile frekansını değiştirir. Kapsama alanındaki kullanıcılar göndermeden önce band geçiren süzgeçten geçirir. Alıcıda yapılan işlem vericidenin tersi şekilde işler. Uydudan gelen işaret kendisine girişim yapan işaretlerden ayıklanması için bir band geçiren süzgeçten geçirilir. Devamında düşük gürültülü bir yükselteçle kuvvetlendirilir. Verici istasyonun yerel osilatörüyle aynı frekanslı bir osilatör ile karıştırılır ve çıkışındaki istenilen işaret demodüle edilerek vericiden gönderilen işaretle ulaşılmış olunur [19].



Şekil 41. Yer-Uydu ve Uydu-Yer bağı

1.10.3. Yer-Uydu ve Uydu-Yer Bağı Analizi

Bir haberleşme sisteminin analizi yapıılırken temel performans ölçütü; bir noktadan gönderilen işaretin başka bir noktadaki alıcı tarafından alınabilmesidir. Uydu haberleşmesinde bu performans kriterlerini birçok bileşen oluşturur. Başlıcaları; uyduyun veri güçü, atmosferik dağılma etkileri, uydu ve yer istasyonlarındaki gürültülerdir. Coğu durumda uydu verici gücü en önemli parametredir.



Şekil 42. Uydu Haberleşme bağı

Şekil 42'de temel bileşenleriyle bir uydurma haberleşme sistemi gösterilmiştir. A istasyonu verici istasyon, B istasyonu alıcı istasyondur. A'dan uyduya gönderilen işaret, uydu tarafından güçlendirilerek, kapsama alanı içindeki B istasyonuna gönderilir.

1.10.3.1. Verici İstasyon ve Uyduya İşaret Gönderilmesi

Verici anten, verici gücünden alıcıda maksimum güç oluşturacak şekilde alıcıya odaklıdır. Eğer bu güç odaklanmamış olursa, her yönde eşit işıma yapar. Buna da yönsemesiz işıma denir [1].

Verici antenin yönsemesiz işıma yapan bir antene göre kazancı [1];

$$G_{\text{dBi}} = 10 \log \eta + 20 \log f + 20 \log d + 20,4_{\text{dB}}$$

η : anten verimliliği

d :anten çapı [m]

f :çalışma frekansı [GHz]]

$$20,4_{\text{dB}} = 10 \log \frac{1.10^9 \cdot \pi}{c} \quad (133)$$

c :ışık hızı 3.10^8 m/s

Yukarıdaki eşitliklerde görüldüğü gibi büyük antenler büyük kazanç oluştururlar. Çalışma frekansı değiştiğinde kazanç da değişir. Alıcı ve verici olarak aynı anten kullanıldığında Ku-band ve C-band içinde farklı kazanç gösterir.

1.10.3.2. Etkin Yönsemesiz Yayılan Güç (EIRP)

EIRP, verici anten kazancı ile verici gücünün fonksiyonu olarak ifade edilir.

$$EIRP_{\text{dBW}} = 10 \log P_T + G_{\text{dBi}} \quad (134)$$

P_T :verici anten giriş gücü [W]

G_{dBi} :verici anten kazancı [dBi]

Bir uydunun EIRP seviyesinin kontrol edilmesi son derece önemlidir. Çünkü, yüksek EIRP seviyesi işaretler arasında girişime yol açarken, düşük EIRP seviyesi sağlanması beklenen haberleşme servisindeki performansı düşürür.

1.10.4. Uydu İletişiminde İletim Kayipları

1.10.4.1. Serbest Uzay Kaybı

P_T gücü yayan yönsemesiz bir anten tüm yönlere eşit ışuma yapar ve anten hüzmesi küre şeklinde dir. D uzaklığındaki birim alandaki güç;

$$W = \frac{P_T}{4\pi D^2} \text{ W/m}^2 \quad (135)$$

olarak ifade edilir.

Verici anten enerjiyi odakladığından (135) ifadesi ;

$$W = \frac{G_T P_T}{4\pi D^2} \text{ W/m}^2 \quad (136)$$

veya

$$W_{dBW/m^2} = EIRP_{dBW} - 20 \log D - 71_{dB} \quad (137)$$

olarak yazılabilir.

$$G_T P_T = EIRP$$

W :aydınlatma seviyesi

D :mesafe [km]

$$71_{dB} = 10 \log 4\pi \cdot 10^6$$

Bu durumda, alıcı antende oluşan güç yoğunluğu ile alıcı antenin etkin yüzey alanı çarpımı alıcısındaki gücü verir [9].

Alicı antenin etkin yüzey alanı A_e ise;

$$A_e = \frac{\lambda^2}{4\pi} \cdot G_R \quad (138)$$

alıcısındaki güç;

$$P_R = W \cdot A_e \quad (139)$$

$$P_R = \left(\frac{\lambda}{4\pi D} \right)^2 \cdot P_T \cdot G_T \cdot G_R \quad (140)$$

olarak bulunur.

$\left(\frac{4\pi D}{\lambda}\right)^2$ ifadesi serbest uzay kaybı L_{FS} olarak ifade edilir.

$$L_{FS} = 20 \log D + 20 \log f + 92,44_{dB} \quad (141)$$

D : alıcı ile verici arasındaki uzaklık [km]

f : kullanılan frekans [GHz]

$92.44_{dB} = 20 \log(4\pi 10^{12}/c)$ ifadesinden gelen sabit..

c : ışık hızı

(140) ifadesi desibel olarak ifade edildiğinde;

$$P_{RdBW} = EIRP - L_{FS} + G_R \quad (142)$$

olarak alıcındaki işaret seviyesi gösterilebilir.

1.10.4.2. Uydu İstasyon Uzaklılığı (D)

Yeredurağan yörüngegedeki bir uydudan, Dünyadaki bir yer istasyonunda olan uzaklık D, şu şekilde ifade edilebilir [1].

$$D = \sqrt{r^2 + S^2 - 2rS(\cos C)} \quad (143)$$

r : ekvator yarıçapı 6378,14 km

S : Yer merkezinden uyduya olan uzaklık 42165,57 km

$$C = \cos^{-1}\{\cos\theta_1 \cdot \cos(\theta_s - \theta_e)\} \quad (144)$$

θ_1 : yer istasyonunun bulunduğu enlem

θ_s : uydunun bulunduğu boylamı

θ_e : yer istasyonun bulunduğu boylam

1.10.4.3. Atmosferik Kayıplar

Atmosferde, pencere adı verilen, radyo dalgalarında düşük zayıflama oluşturan bandlar bulunmaktadır. Radyo dalgalarının zayıflamalarında atmosferdeki oksijen ve su buharı ana etkendirler. Bu özellik, kullanılan işaretin frekansına, yükselme açısına, deniz seviyesinden yüksekliğe ve mutlak neme bağlı olarak değişir. 10 GHz altındaki frekanslarda genelde ihmali edilebilir. Ancak 10 GHz üzerinde ve özellikle düşük yükselme

açısı kullanılan durumlarda önem kazanır. Tablo 3'te 10° yükselme açısı için atmosferik kayıplar örneklenmiştir [1].

Tablo 3. Atmosferik zayıflama örnekleri

Atmosferik Kayıp [dB]	Kullanılan Frekans [GHz]
0,25	$2 < f < 5$
0,33	$5 < f < 10$
0,53	$10 < f < 13$
0,73	$13 < f$

1.10.4.4. Yağmurun Etkisi

Uydu haberleşmesini etkileyen en önemli etkilerden biri yağmurdur. Yağmur radyo dalgasında saçılma ve emilme şeklinde zayıflamaya yol açar. Yağmur zayıflaması frekansla doğru orantılıdır. Dolayısıyla Ku-bandda C-banda göre daha fazla zayıflama vardır. Tatmin edici bağlantı kalitesini sağlamak için de verici gücünde maksimum yağmur zayıflatmasını kapsayacak bileşenin eklenmesi istatistiksel sonuçların işlenmesiyle yapılmaktadır. Bu konuda, kullanılan frekans ve bulunulan coğrafi bölgelere göre oluşturulan modellere başvurmak faydalı olacaktır.

1.10.4.5. Anten Odaklı Kayıp

Uydu ile haberleşme sırasında, yerdeki anten uydudan maksimum güç alabilecek şekilde yerleştirilir. Fakat uygulamada, kazancın düşmesine neden olabilecek odaklı hatası bulunmaktadır. Kazançtaki bu kayıp anten boyutu, kullanılan takip sistemi ile ilişkilidir. Tablo 4'te %70 anten verimliliğine sahip C-bandındaki bir haberleşme sistemi için, Tablo 5'te %60 anten verimliliğine sahip Ku-bandındaki bir haberleşme sistemi için verilmiştir.

Tablo 4. Yer istasyonu performans karakteristikleri (C-band, anten verimliliği %70) [1]

Anten Çapı [m]	G/T [dB/K]	Verici Kazancı 6GHz [dBi]	Alici Kazancı 4GHz [dBi]	Uyduya çıkışındaki kayıp[dB]	Uydudan imişteki kayıp[dB]	Takip Sistemi
1,2	11,6	35,6	32,1	0	0	Sabit
1,8	15,1	39,2	35,6	0	0	Sabit
2,4	17,6	41,7	38,1	0,4	0,2	Sabit
3,6	21,6	45,6	42,1	0,7	0,4	Sabit
7	27	51	47,4	0,9	0,9	manuel
11	31,7	54,9	51,4	0,5	0,5	Adım takip

Tablo 5. Yer istasyonu performans karakteristikleri (Ku-band, anten verimliliği %60) [1]

Anten Çapı [m]	G/T [dB/K]	Verici Kazancı 14GHz[dBi]	Alici Kazancı 11GHz [dBi]	Uyduya çıkışındaki kayıp[dB]	Uydudan imişteki kayıp[dB]	Takip Sistemi
1,2	17,5	42,6	40,5	0,4	0,2	Sabit
1,8	21,1	46,1	44	0,7	0,5	Sabit
2,4	23,6	48,7	46,6	1,1	0,8	Sabit
3,7	27,3	52,5	50,3	1,2	0,9	manuel
5,6	30,9	56,1	53,9	0,8	0,7	manuel
7	32,9	58	55,8	0,5	0,5	Adım takip
8	34	59,2	57	0,5	0,5	Adım takip

1.10.4.6. Coğrafi Konumdan Kaynaklana Düzeltme Faktörü

Uydu anteninin kendine özgü bir anten hizmesi vardır. Uydunun kapsama alanında bulunan yer istasyonlarının konumlarına göre bir düzeltme faktörü hesaba katılır. Buna beta-faktörü (β) denir.

Beta-faktörü, uydunun kapsama alanı sınırlındaki kazancının, yer istasyonu doğrultusundaki kazancına oranıdır. Her yer istasyonu yer uyuğu için beta-faktör(β_u) ve uyuğu yer bağı için (β_d)'yi göz önüne almalıdır. Çünkü aynı istasyon için yer uyuğu bağı ve uyuğu yer bağı kapsaması her zaman için aynı değildir [1].

1.10.5. Uyuğu-Yer Bağı ve Alıcı İstasyonu

1.10.5.1. Kazanç Gürültü Sıcaklığı Oranı (G/T)

Bütün haberleşme sistemlerinde, gürültü sistemin tümünü etkileyen en önemli faktördür. G/T_{dBK} alıcı sisteme ölçülen "iyilik" faktörü olarak bilinir. G; sistemin net kazancı, T; sistemin gürültü sıcaklığıdır. G/T'nin büyük olması sistemin daha iyi olduğunu gösterir.

1.10.5.2. Isıl Gürültü

Isıl gürültü, yükteki elektronların rasgele hareketinden kaynaklanan gerilim gürültüsüdür. Uygun şekilde sonlandırılmış bir sisteme toplam gürültü gücü;

$$P_r = kTB \quad [W] \quad (145)$$

k :Boltzman sabiti $1,374 \cdot 10^{-23}$ Joule/Kelvin

T :Eşdeğer gürültü sıcaklığı [K]

B :Gürültü band genişliği [Hz]

Göründüğü gibi, yük, uygun alıcıya maksimum gürültü gücünü gönderir, gürültü gücü, gürültü kaynağının sıcaklığıyla doğru orantılıdır. Buna göre Z_a karakteristik empedansa sahip bir anten alıcıya kTB (watt) kadar gürültü gücünü gönderir. Alıcının kendi gürültüsü de eklendiğinde, alıcı çıkışındaki toplam gürültü;

$$N_T = (kTB)G + \Delta N \quad (146)$$

$(kTB)G$:Alıcı girişindeki güç alıcı kazancı ile çarpıldığında çıkıştaki gürültü gücü

ΔN :Alıcı tarafından sisteme eklenen gürültü gücü

$$\Delta N = kT_e B$$

T_e :Alıcı eşdeğer gürültü sıcaklığı [K]

1.10.5.3. Sistem Sıcaklığı

Yer istasyonunun gürültü sıcaklığı; alıcı gürültü sıcaklığı ve antenin gürültü sıcaklığından oluşur. Burada antenin gürültü sıcaklığına besleyici ve dalga kılavuzlarından ve antende toplanan uzay gürültüleri de dahildir [19].

$$T_{\text{sistem}} = \frac{T_{\text{anten}}}{L} + \left(1 - \frac{1}{L}\right) T_e + T_o \quad (147)$$

L : Besleyici kazancı sayısal değeri

T_e : Alıcı eşdeğer gürültü sıcaklığı

T_o : Ortam sıcaklığı [K]

T_{anten} : Anten eşdeğer gürültü sıcaklığı, üretici firma tarafından verilir.

(147) eşitliğinden de görüldüğü gibi dalga kılavuzu kayıpları sistem gürültü sıcaklığı üzerinde kayda değer etki gösterir. Örneğin anten ile alıcı arasındaki 0,3 dB'lik bir kayıp, sistem gürültü sıcaklığında yaklaşık 19K'e karşılık gelir. Bu yüzden besleyici kaybı mümkün olduğunda küçük tutulmalıdır. Aksi takdirde, düşük gürültülü anten ve LNA kullanmanın avantajları ortadan kalkmış olur. Bu yüzden LNA lar, anten besleme ünitelerine mümkün olduğunca yakın yapılırlar.

1.10.5.4. G/T Hesaplaması

G/T, anten kazancının, antendeki toplam sistem sıcaklığına oranı olarak tanımlanır.

$$G/T_{\text{dB/K}} = \text{Gain}_{\text{dB}} - 10 \log T_{\text{sistem}} \quad (148)$$

1.10.5.5. İşaret Gürültü Gücü Oranı

Bir iletişim bağıının performansını tanımlayan önemli parametrelerden biri de C/N'dır. C/N alıcındaki taşıyıcı gücün, alıcı sistemdeki toplam gürültü gücüğe oranıdır.

$$C/N = \frac{P_R}{P_n} \quad (149)$$

$$P_R = G_T P_T G_R \left(\frac{\lambda}{4\pi D} \right)^2 \quad (150)$$

$$P_n = kTB \quad (151)$$

buradan da görüldüğü gibi link parametreleri ve alıcının karakteristikleri alıcıdağı C/N'yi etkiler. Buna göre;

$$C/N_{dB} = EIRP_{dB} - L_{FS_{dB}} + G/T_{dB/K} - 10\log k - 10\log B \quad (152)$$

L_{FS} :serbest uzay kaybı

G/T :Alıcının değer faktörü

k :Boltzman sabiti,dB olarak -228,6 dBW/K

B :Taşıyıcının kapladığı band genişliği (sayısal haberleşme için $B=0,6$.İletim hızı)

Alıcının band genişliği modülasyona bağlı olduğundan, bu parametre kullanılmadan normalize edilmiş C/N_o değeri hesaplanır [18].

$$C/N_o = EIRP_{dB} - L_{FS_{dB}} + G/T_{dB/K} - 10\log k \quad (153)$$

veya benzer şekilde taşıyıcı gücünün sistem gürültü gücüne oranı;

$$C/T_{dB/K} = EIRP_{dB} - L_{FS_{dB}} + G/T_{dB/K} \quad (154)$$

aydınlatma seviyesi kullanılarak;

$$C/N_{dBK} = W_{dBW/m^2} + G/T_{dB/K} - G1_{m^2 dBm^2} \quad (155)$$

burada $G1$ %100 verimle çalışan $1m^2$ yüzey alanlı antenin kazancıdır.

$$G1_{m^2 dBm^2} = 20\log f + 21,4_{dB} \quad (156)$$

f :kullanılan frekans

C/N_o değeri bit başına düşen enerjinin de hesaplanması olanak sağlar.

$$E_b/N_o = C/N_{o_{dBHz}} - 10\log(\text{bit hızı}) \quad (157)$$

1.10.5.6. Aktarıcının Çalışma Noktası

Aktarıcının çıkış güç yükselteci doğrusal olmadığı için doyum noktasının altındaki doğrusal bölgede çalıştırılması gereklidir.

Söz konusu bu çalışma noktasını sağlamak için giriş ve çıkış güçlerinde geri çekme gereklidir. Aksi halde güç kaybı söz konusudur.

Giriş geri çekme (IBO) doyumdaki akı yoğunluğunun, çalışma noktasındaki akı yoğunluğuna oranıdır. Çıkıştaki geri çekme(OBO), doyumdaki EIRP nin çalışma noktasındaki EIRP' ye oranıdır [1].

Çıkış geri - çekme aynı zamanda

$$\text{OBO} = \text{IBO} - X$$

olarak tanımlanır.

Buradaki X; Giriş ve çıkış arasındaki güç sıkıştırma katsayısı olup çoklu taşıyıcılı durumlarda değişir[1].

Örnek değerler olarak INTELSAT VI deki TWTA için 5,5 dB, INTELSAT VII-A Ku ayak izindeki LTWTA için $X=1,7$ dB dir.

2. YAPILAN ÇALIŞMALAR VE BULGULAR

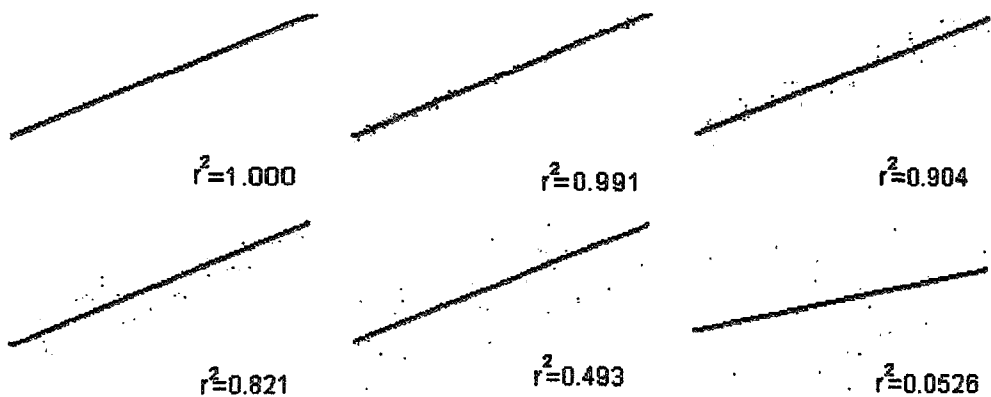
Yapılan çalışmada öncelikle birinci bölümde anlatılan hesaplamlar ile eğimli yörüngeye bırakılan bir uydunun yörünge eğiklik açısının ne olacağı hesaplanmıştır. Çalışmanın ikinci aşamasında eğimli yörüngedeki bir uydunun kapsama alanının gün içinde nasıl değişeceği hesaplanmıştır. Türkiye odaklı bir kapsama alanı alınarak Matlab'da yazılan program görselleştirilmiştir.

Eğimli yörüngedeki bir uydunun konumu gün içinde, yörünge eğiklik açısına bağlı olarak değişme gösterir. Bu değişim eğiklik açısı arttıkça artar. Uydunun bu hareketini takip etmek için ise uyduyu takip etme yeteneğine sahip antenler kullanmak gereklidir. Bu anten sistemleri nisbeten pahalı olduğundan bu tür uydular daha çok bankalar, sigorta ve seyahat şirketleri, internet servis sağlayıcıları gibi sayısal haberleşme yapan kullanıcılar tarafından tercih edilir. Çalışmanın son kısmında sayısal haberleşme yapan kullanıcılar için iletişim kalitesinin ileriye dönük olarak nasıl değişeceğini üzerinde durulmuştur. İletişim sisteme etkisini incelemek için Türksat 1B uydusunun Türkiye merkezli kapsama alanına benzer bir kapsama alanı modellenmiş ve QPSK modulasyonu kullanan bir haberleşme sistemi örneği için alicidaki bit başına işaret gücünün gürültü gücüğe oranı değişimi hesaplanmıştır. Önceki bölümde olduğu gibi Matlab'da yazılan program görselleştirilerek grafikler halinde eklenmiştir.

Yapılan bu çalışmanın ilk kısmında hesaplatılan yörünge eğiklik açısı değerlerinin doğruluğunu kıyaslamak için Türksat Uydu Kontrol Merkezinden alınan, Türksat 1B ve Türksat 1C uydularımıza ait yörünge eğiklik açısı değerleri kullanılmıştır. Yapılan karşılaştırmada, bu çalışmadaki değerlerle Türksat 1B ve Türksat 1C verileri ortalama olarak %99 doğrulukta çakışmıştır.

2.1. Doğrulama Katsayısı

Doğrulama katsayısı, orijinal veriye olan yaklaşımın kalitesini belirten bir katsayıdır. Yapılan çalışmada bu hesaplama ile sonuçlar karşılaştırılmıştır. $0 \leq r \leq 1$ arasında bir değere sahiptir. 1'e yakın olması sonuçların daha doğru olduğu sonucunu doğurur [12].



Şekil 43. Doğrulama katsayısı

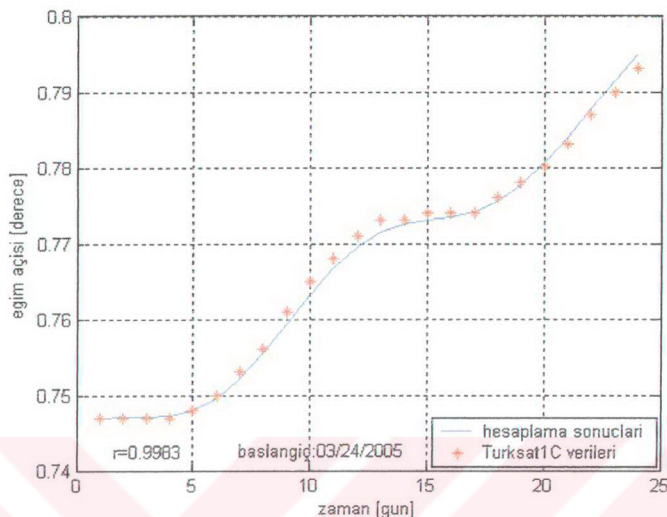
R veya r olarak gösterilen bu birimsiz katsayının bulunmasında ;'in' hesaplama sonuçları, 'sorbeti' Türksat verileri, 'N' veri sayısı olmak üzere aşağıdaki formül kullanılmıştır [16].

$$r = \frac{\sum (in \cdot sorbeti) - \frac{(\sum in)(\sum sorbeti)}{N}}{\sqrt{\left(\sum in^2 - \frac{\sum in^2}{N} \right) \left(\sum sorbeti^2 - \frac{\sum sorbeti^2}{N} \right)}} \quad (158)$$

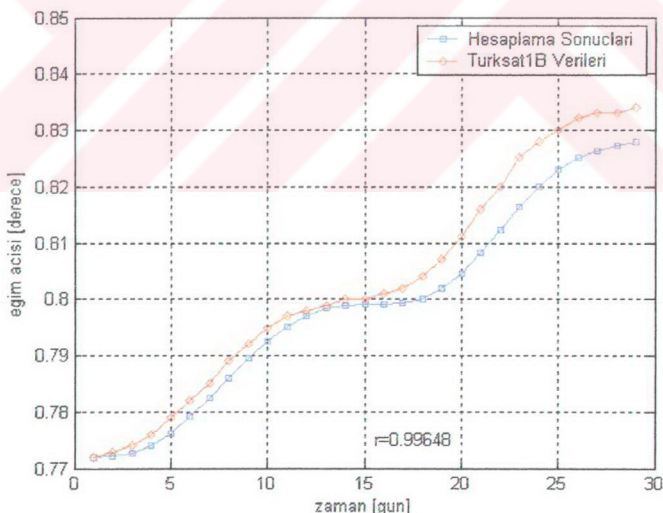
2.2. Yörünge Eğiklik Açısı Değişimi

Yapılan çalışmalar öncelikle yörünge eğiklik açısının hesabı üzerindedir. Yazılan programın sonuçları ile Türksat Uydu Merkezinden alınan Türksat 1C ve Türksat 1B uydularına ait eğim açısı bilgileri ve ileriye dönük hesaplamaları karşılaştırılmıştır. Her bir grafikte alınan ve hesaplatılan değerlerin başlangıç tarihleri ve ikisi arasındaki doğrulama katsayısının değeri yazdırılmıştır.

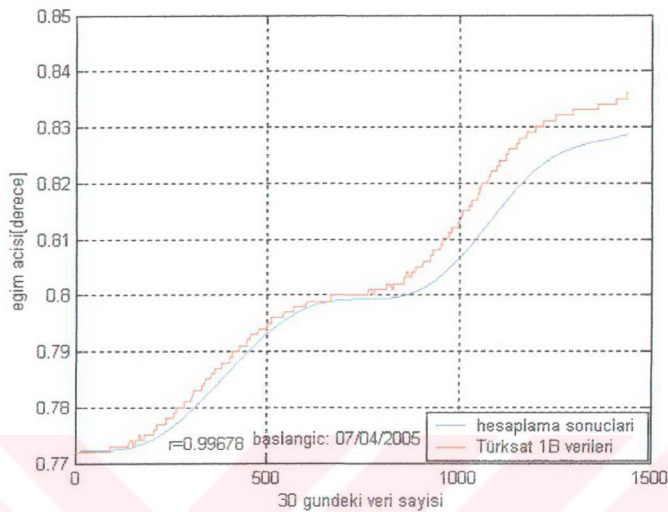
Grafiklerdeki farklılıklar, hesaplamalarda kullanılan Güneş ve Ay'ın koordinat hesaplarından kaynaklandığı düşünülmüştür.



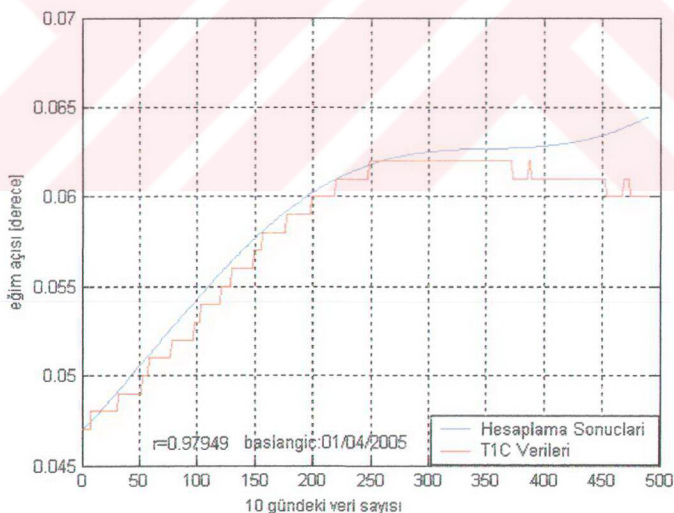
Şekil 44. Türksat 1B 24 günlük eğim açısı



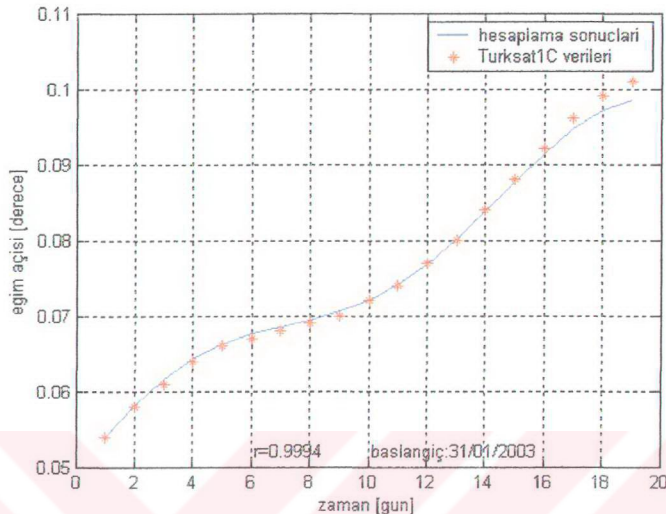
Şekil 45. Türksat 1B 29 günlük eğim açısı



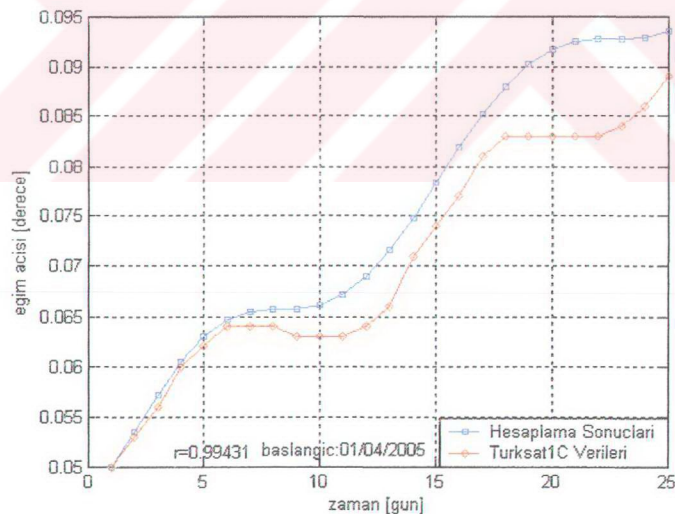
Şekil 46. Türksat 1B 29 günlük eğim açısı



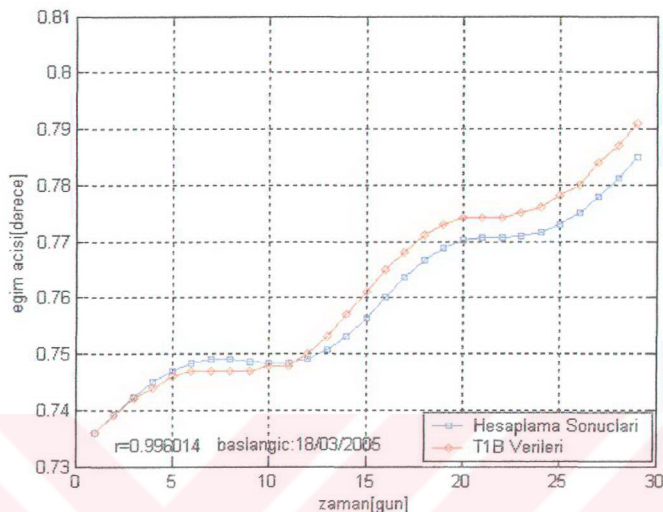
Şekil 47. Türksat 1C 10 günlük eğim açısı



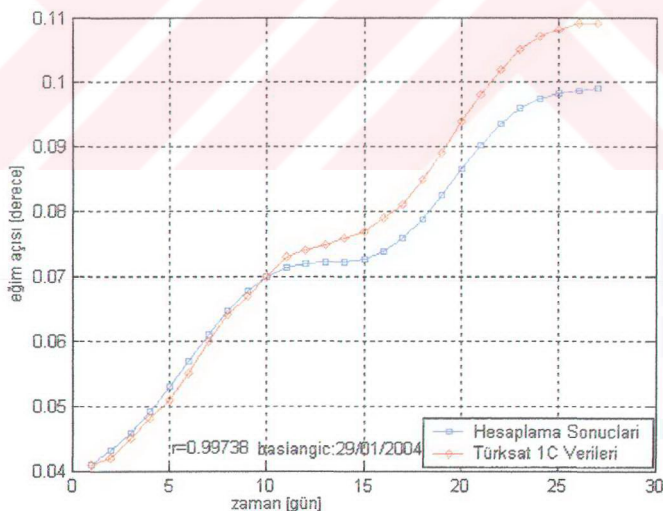
Şekil 48. Türksat 1C 19 günlük eğim açısı



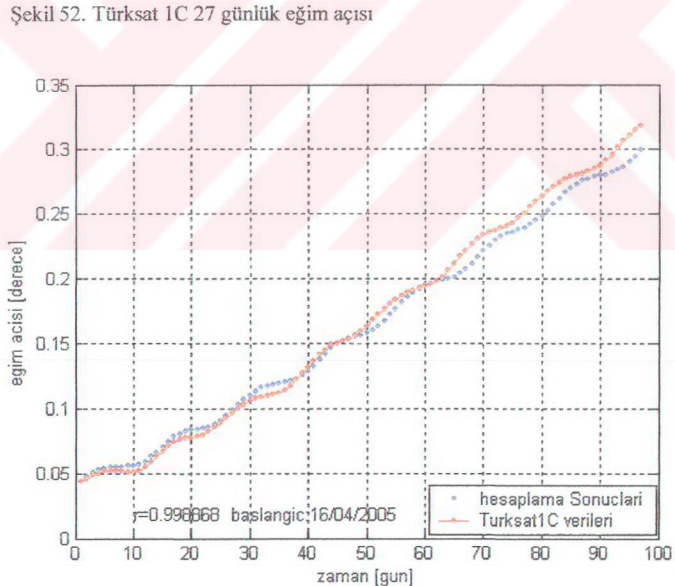
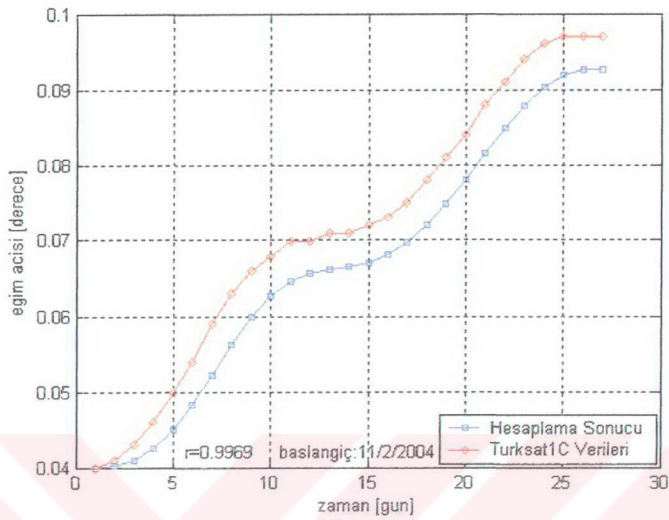
Şekil 49. Türksat 1C 25 günlük eğim açısı



Şekil 50. Türksat 1B 29 günlük eğim açısı

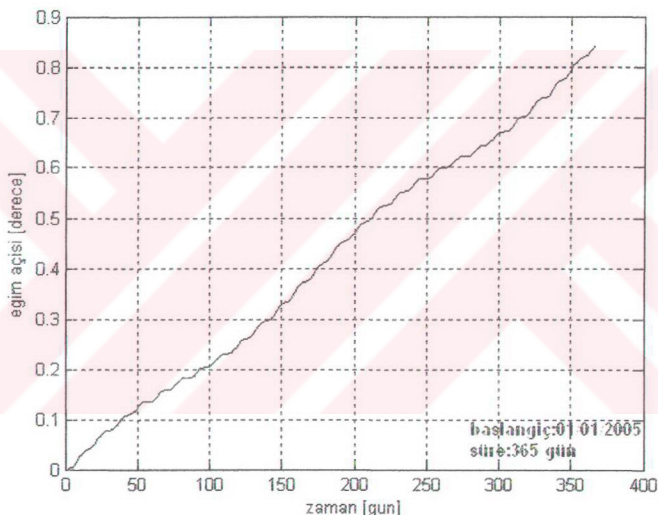


Şekil 51. Türksat 1C 27 günlük eğim açısı



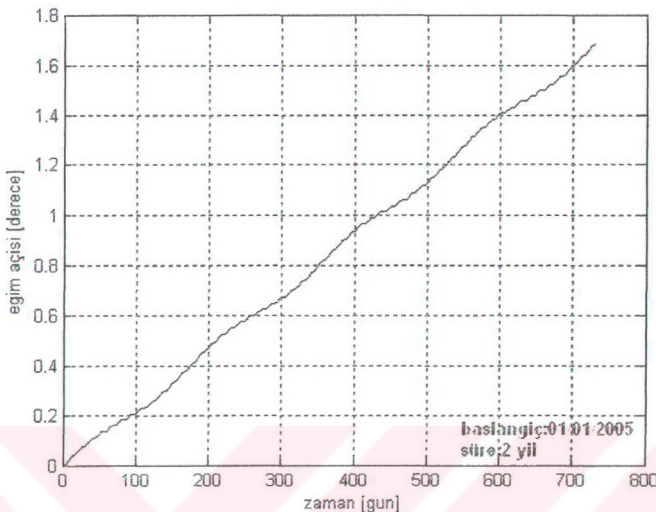
Seçilen koordinat eksenleri, kullanılan Güneş ve Ayın koordinat formülleri başarılı olmuş ve doğruluk katsayısı tatmin edici düzeyde olmuştur. Bölüm 1.9.2.1 de anlatıldığı gibi kuzey manevrası yapılmayan bir uydunun yakıt tasarrufu önemli boyutlardadır (Tablo 2). Ancak bu durumda yörünğenin eğiklik açısının hesaplanması son derece önemlidir. Ve uydunun, uydu çöplüğüne gönderilmeden önce kalan ömrünün ne olacağı, eğiklik açısı kaç derece iken kapsama alanının değişimi, dolayısıyla iletişime etkisinin ne olacağı soruları cevaplanmalıdır.

Bunun için aynı formülasyon kullanılarak uydunun hangi tarihte kaç derece eğiklik açısından yörüngeye bulunacağı hesaplanmıştır.



Şekil 54. Bir yıllık eğim açısı değişimi

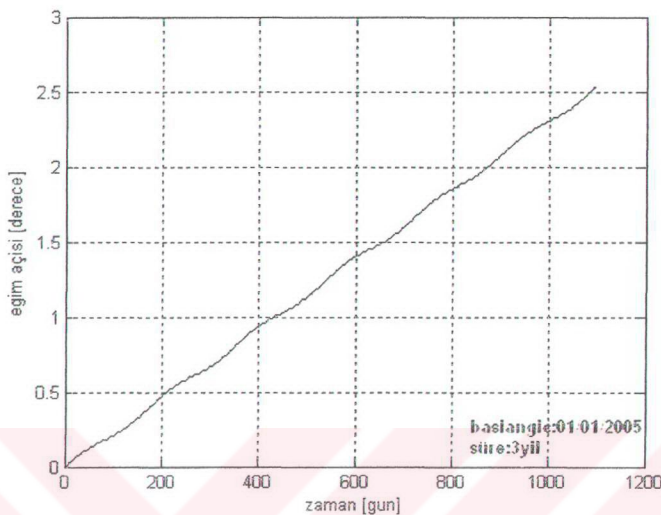
Eğiklik açısının ileriye dönük hesabında örnek olarak 1 Ocak 2005'te, eğimli yörüngeye 0° 'den bırakılan bir uydu için hesaplamalar yapıldığında, bir yılın sonunda şekil 54'te görüldüğü gibi eğim yaklaşık $0,853$ dereceye ulaşmaktadır. 18 Mayıs 2004' te eğimli yörüngeye bırakılan Türksat 1B uydusunu 18 Mayıs 2005 teki eğim açısı $0,867$ derece olmuştur.



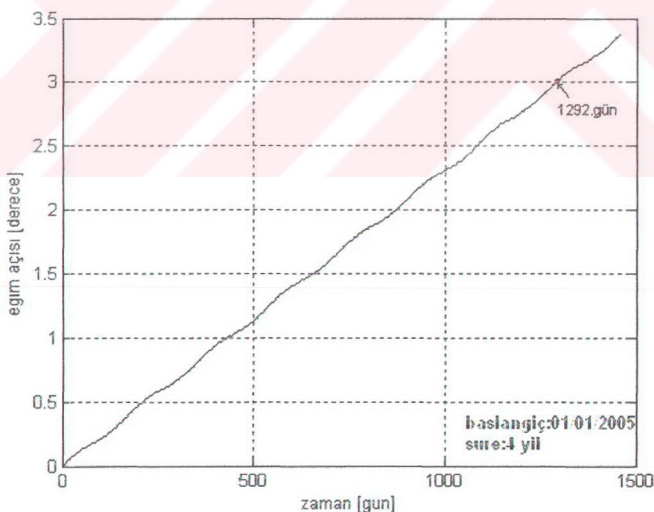
Şekil 55. Eğim açısının iki yıllık değişimi

Şekil 55'ten de görüldüğü gibi iki yılın sonunda eğim açısı yaklaşık olarak 1,7 derece civarındadır. Bu durumda kapsama alanındaki günlük sapma miktarı ± 180 km'den fazladır.

Şekil 56 ve şekil 57'de eğim açısının 3 ve 4 yıllık değişimleri hesaplanıp çizilmiştir.



Şekil 56. Üç yıllık eğim açısı değişimi



Şekil 57. Eğim açısını dört yıllık değişimi

Yere göre durağan uydular için genelde kullanılan limit, ve Türksat 1B içinde düşünülen 3 derecelik eğim açısıdır. 2005 yılı başında eğimli bir yörüngeye bırakılan bir uydunun 3 derecelik eğim açısına ulaşması yaklaşık olarak 1292 gün süregi hesaplanmıştır. Böyle bir düşüncenin bir diğer avantajlı tarafı ise, ITU (International Telecommunication Union) tarafından ülkemize kaydedilen yörünge konumunun kullanım süresini uzatmak ve yerine gelebilecek olası uydunun planı için zaman kazanmaktadır. Çünkü uluslararası anlaşmalara göre yörüngedeki konum iki yıldan fazla boş bırakıldığı takdirde anlaşmalarla kazanılan hak kaybedilmiş olunur.

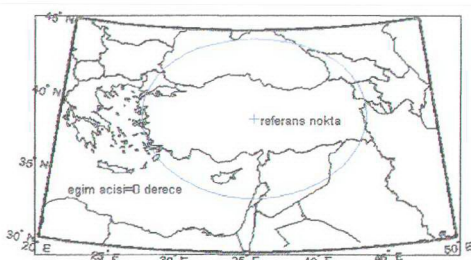
2.3. Yörünge Eğiklik Açısı Değişiminin Etkileri

2.3.1. Kapsama Alanına Etkisi

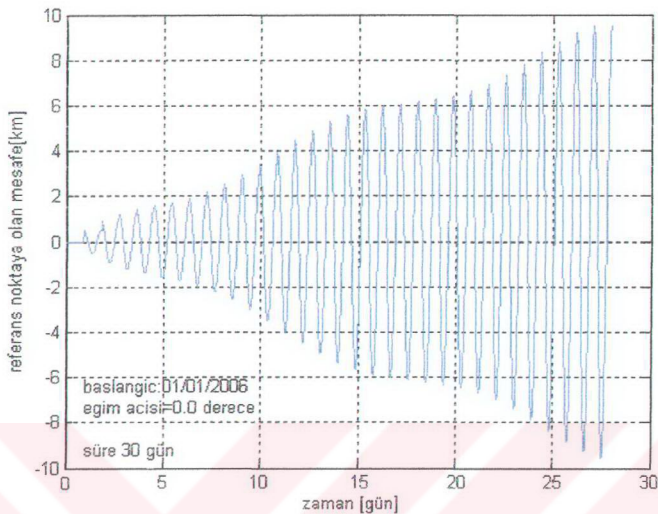
2.3.1.1. Sapma Mesafesindeki Değişim

Bahsedildiği gibi eğimli yörüngeye bırakılan bir uydunun kapsama alanı gün içinde özellikle kuzey-güney doğrultusunda artarak bir sapma gösterir. Bu artma miktarı ömrü sonuna geldikçe artar. Şekil 59, 1 Ocak 2006'da eğimli yörüngeye bırakılan bir uydunun kapsama alanındaki sapma miktarı km olarak ilk 30 gün için hesaplanmıştır (Ek-4).

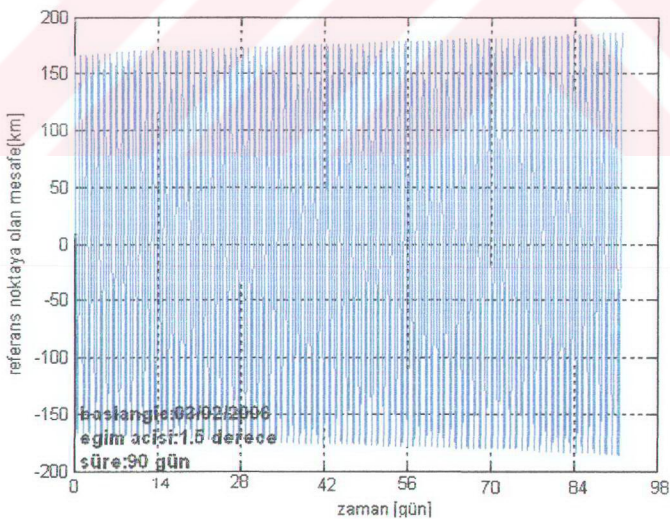
Hesaplamlarda alınan bir referans noktanın gün içindeki hareketini kuzey-güney doğrultusundaki değişim dikkate alınmıştır (Şekil 58). Bu referans nokta uydunun kapsama alanındaki herhangi bir nokta olabilir. Takip eden grafikler ve şekiller bu referans noktanın yeryüzündeki izdüşümünü ifade etmektedir.



Şekil 58. Kullanılan referans kapsama alanı ve referans nokta



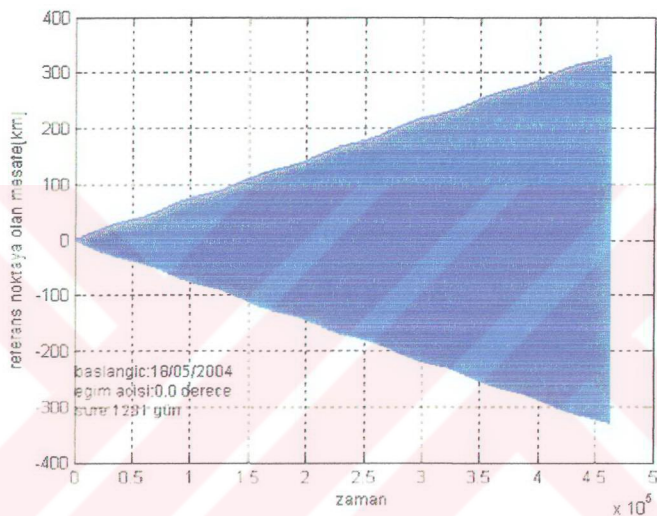
Şekil 59. Kapsama alanındaki sapmanın ilk 30 günü



Şekil 60. 1,5 derece eğim açısından iken 90 günlük kapsama alanının sapması

Şekil 59'da 2006 yılı başında eğimli yörüngeye bırakılan yere göre durağan bir uydudan kapsama alanının sapma mesafesi ilk 30 gün için çizdirilmiştir.

03/02/2006 tarihinde eğim açısı 1,5 derece olduğunda referans bir noktanın Dünya üzerindeki değişimi 90 gün boyunca şekil 60 da gösterildiği gibi olacaktır. Şekil 60'ta görüldüğü gibi 2 Şubat 2006 da gün içinde yaklaşık 170 km saparken 90 gün sonunda bu sapma miktarı 190 km ye ulaşmaktadır.



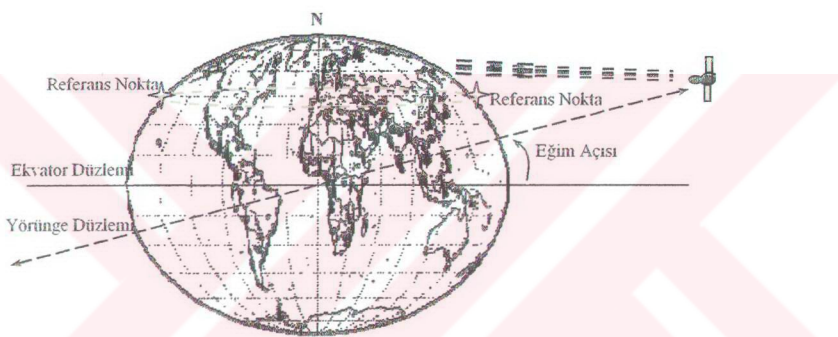
Şekil 61. Eğim açısı 3 dereceye ulaşana kadar kapsama alanının sapması

Yukarıdaki şekil 18 Mayıs 2004 te eğimli bir yörüngeye bırakılan Türksat 1B uydusunun eğim açısı 3 dereceye ulaşana kadar kapsama alanının sapmasını göstermektedir. Sınıf işaretleriyle dolu, genliği giderek artan eğriler bütünüdür.

Sonuçta görülmektedir ki, eğimli yörüngeye bırakılan bir uydunun merkezindeki kullanıcılar gün içinde işaret gücünün fazla değişmeden ancak farklı açılardan almaktadır. Ancak ayak izinin kenarına yakın kullanıcılar için işarette gün içinde azalma hatta eğim açısı arttıkça işaret kayba bile uğrayabilmektedir. Yapılan bu çalışmanın birinci kısmında işaretteki bu değişimin ve bunun iletişime etkisi incelenmiştir.

2.3.2. Kapsama Alanının Değişimi

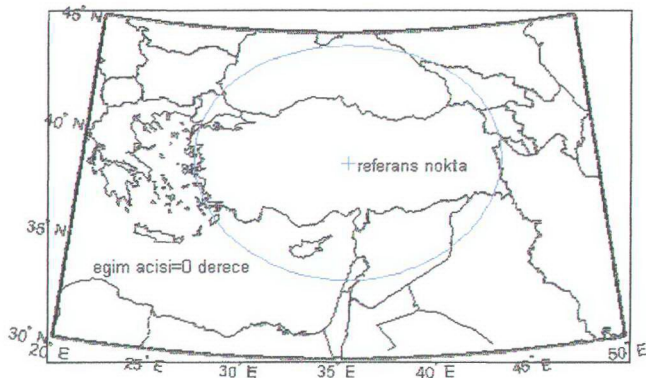
Aşağıdaki şekilden de görüldüğü gibi yörüngein eğim açısı arttıkça uyduunun Dünya üzerindeki kapsama alanı da gün içinde değişim gösterir. Uyduunun üzerinde bulunan ve bolometre adı verilen dört adet kızılötesi Dünya sensörleri sayesinde uydu sürekli olarak Dünyanın merkezine bakar. Bu durumda uyduun bir günlük hareketi boyunca eğim açısının o anki değerine bağlı olarak kapsama alanı gün içinde yukarı aşağı hareket eder. Yörünge düzleminin ekvator düzlemi ile kesiştiği yükseliş ve alçalış düşümlerinde, asıl sahip olduğu kapsama alanını gösterir.



Şekil 62. Uzaydan eğimli yörünge

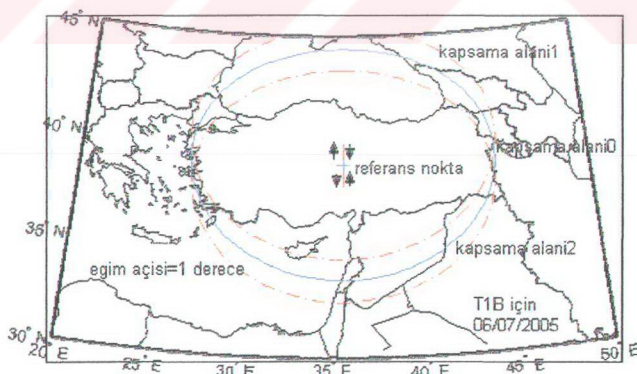
Yapılan çalışmada yörünge açısının değişimi gün içinde ve işlevini sürdürdüğü zaman boyunca - 3 dereceye ulaşıcaya kadar - hesaplanmıştır. Bu değişimin kapsama alanına etkisi hesaplanmış ve Türkiye odaklı bir kapsama alanı olması durumunda değişimin ne kadar olacağı grafiklerle gösterilmiştir (Ek-4).

Şekil 63 de hesaplamalar için kullanılan kapsama alanı değeri, eğim açısı sıfır derece – ideal durum – için verilmiştir. Yörünge eğiklik açısı zaman içinde artacak ve bu kapsama alanı kuzey-güney yönünde giderek artan salınmaya uğrayacaktır. Yörüngein dışmerkezliliği değerinden dolayı kapsama alanı gün içinde doğu-batı yönünde de değişim gösterecektir. Ancak bu durumda uyduarda birinci bölümde anlatılan 14 günlük manevra çevrimi doğu manevrası için devam ettiğinden bu değişim uyduunun ömrü boyunca kontrol altında bulunacaktır.



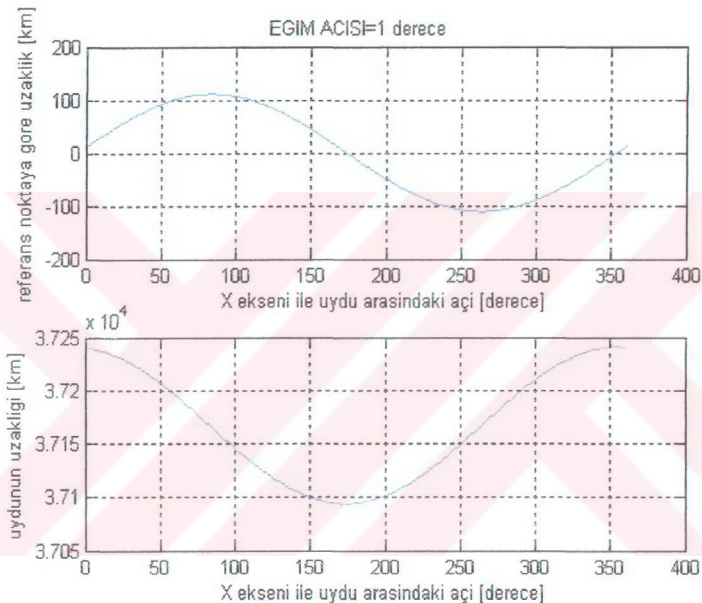
Şekil 63. Alınan referans kapsama alanı

Şekil 64 eğimli yörüngedeki bir uydu için eğim açısı 1° olduğunda Türkiye odaklı bir kapsama alanının gün içindeki değişimini göstermektedir. Şekillerde mavi çizgi ile gösterilen gerçek kapsama alanı iken, kırmızı renkle gösterilen kapsama alanları, gün içinde ulaşılan maksimum ve minimum kapsama alanlarıdır. Referans nokta olarak belirtilen ve oklarla hareketi gösterilen nokta ise kapsama alanının herhangi bir yerinde olabilecek sabit bir noktadır.



Şekil 64. Kapsama alanın eğim açısı 1 derece iken kuzey/güney hareketi

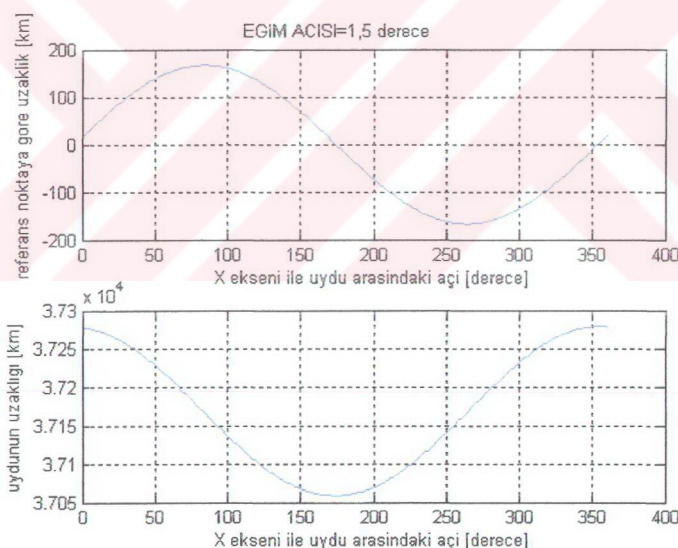
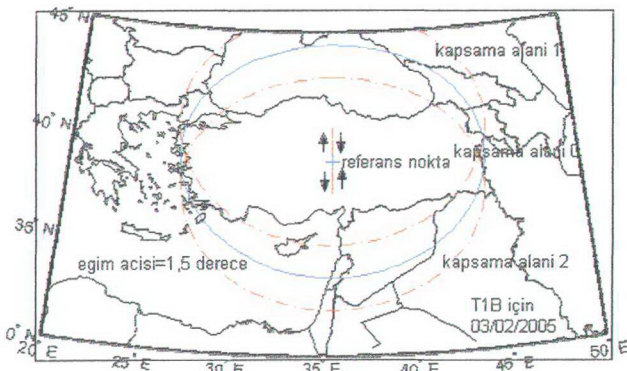
Şekil 64 de referans kapsama alanı içinde alınan herhangi bir referans nokta gün içinde yukarı aşağı hareket edecektir. Uydu bu hareketi sırasında Dünyaya yaklaşır ve uzaklaşır. Şekil 65 yazılan programın çıktıları gösterilmiştir. Uydu alçalış ve yükseliş düşümden geçerken sapma sıfır olacaktır. Uydunun bu noktalardan referans nokta karşısında geçtiği varsayılmıştır. Aksi takdirde çizdiği sinüs eğrisinin fazı değişecektir.



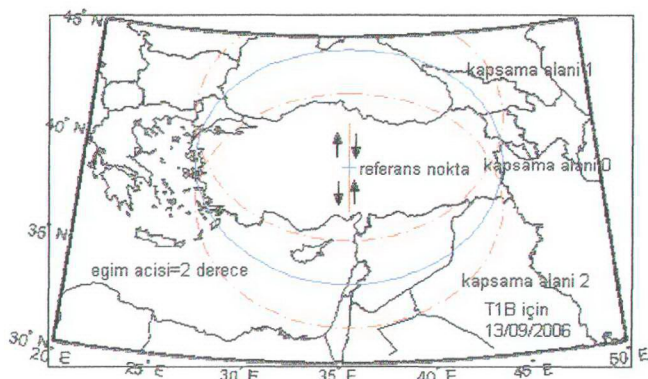
Şekil 65 Eğim açısı 1 derece iken uydunun ve referans noktanın uzaklığı

Şekil 65'ten de görüldüğü gibi eğim açısı 1° ulaşlığında kapsama alanındaki değişim yukarı ve aşağı yönde yaklaşık 100 km civarındadır. Uydu bu durumda merkez ayak izine gün içinde yaklaşıp uzaklaşır. Bu sinüs dalgasının nereden başlayacağı -yani fazı- yükseliş düşümü ile Türkiye arasındaki açıya bağlıdır. Hesaplamalar bu yükseliş düşümü Türkiye karşısında olduğu varsayılarak yapılmıştır. Yatay eksendeki 360° bir günlük harekettir. Uydunun Dünyaya olan uzaklığı da gün içinde değişim gösterir.

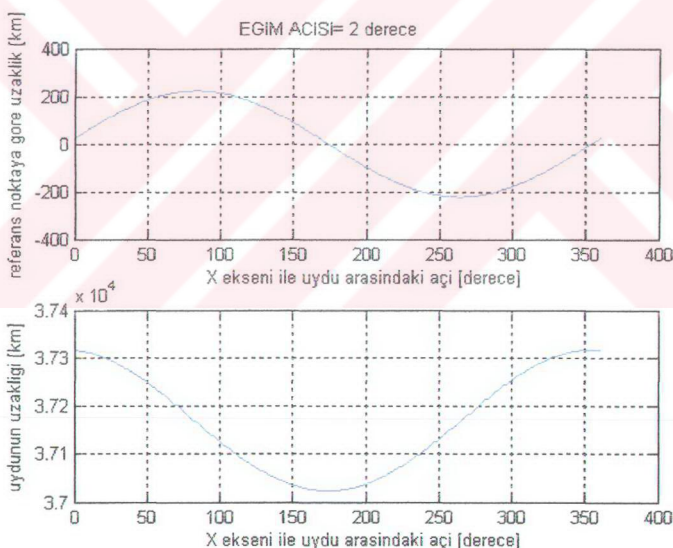
Aşağıdaki şekillerde, eğim açısının $1,5^\circ$, 2° , $2,5^\circ$ ve 3° değerleri için kapsama alanı değişimi ve uydunun referans noktaya olan uzaklıklar gösterilmiştir.



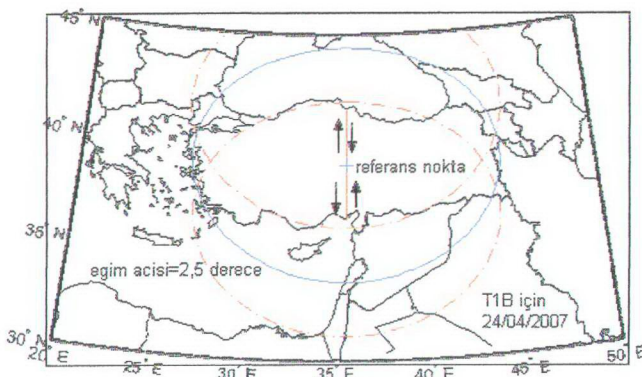
Şekil 67. Eğim açısı 1,5 derece iken uydunun ve referans noktanın uzaklıği



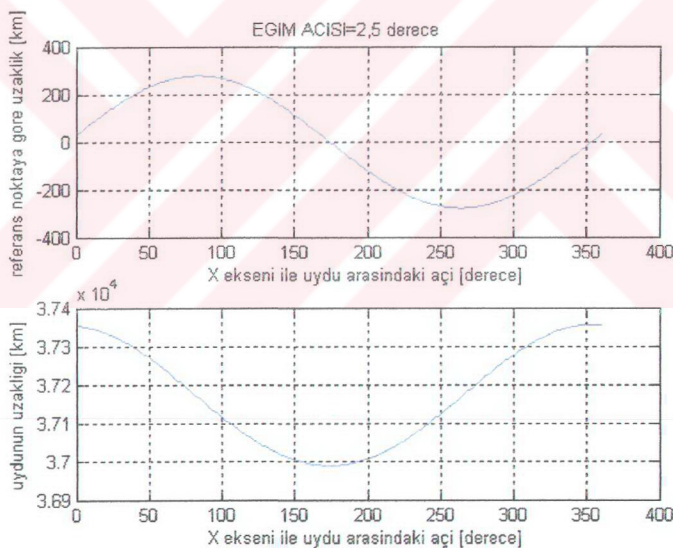
Şekil 68. Kapsama alanın eğim açısı 2 derece iken kuzey/güney hareketi



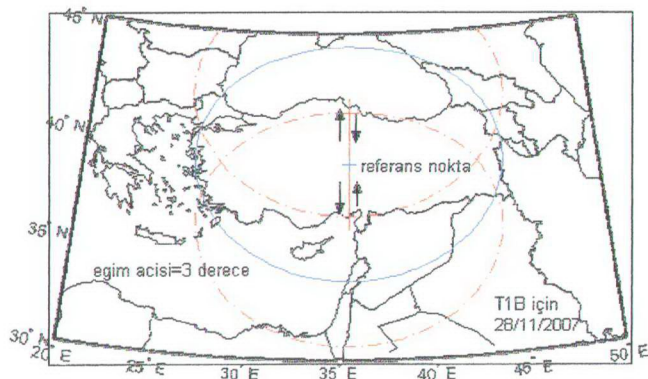
Şekil 69. Eğim açısı 2 derece iken uydunun ve referans noktanın uzaklığı



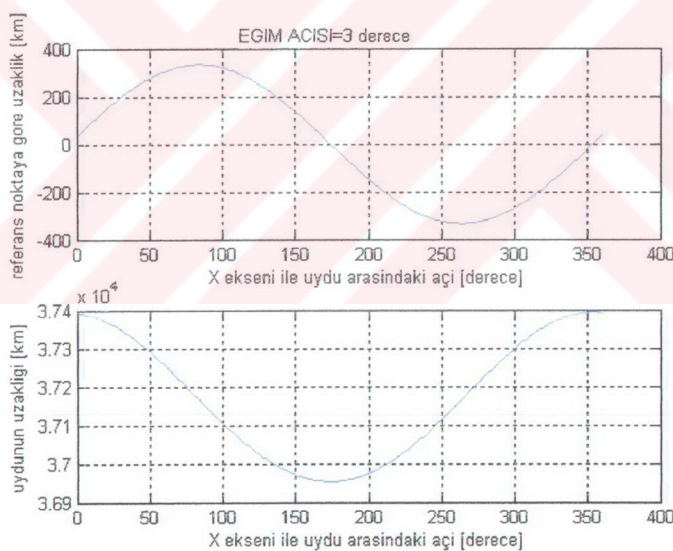
Şekil 70. Kapsama alanın eğim açısı 2,5 derece iken kuzye/güney hareketi



Şekil 71. Eğim açısı 2,5 derece iken uydunun ve referans noktanın uzaklığı



Şekil 72. Kapsama alanın eğim açısı 3 derece iken kuzey/güney hareketi



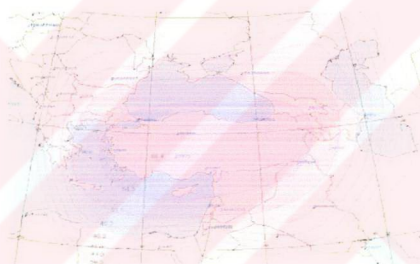
Şekil 73. Eğim açısı 3 derece iken uyduyun ve referans noktanın uzaklığı

2.4. İletişime Etkisi

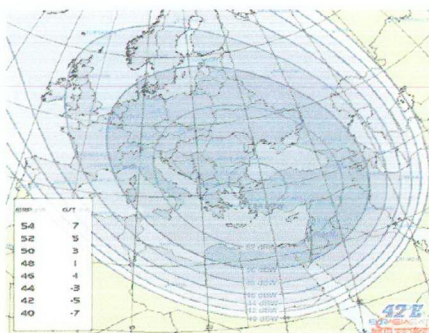
2.4.1. Kapsama Alanındaki Değişimin Haberleşmeye Etkisi

Eğimli yörüngegedeki bir uydunun iletişimini irdelemek için öncelikle sahip olduğu kapsama alanındaki işaret seviyeleri ve uyu alıcı anteninin G/T değerleri bilinmelidir. Bu çalışmada şekil 74 ve şekil 75'te gösterilen Türksat 1B uydusunu Türkiye kapsama alanı ve Türksat 2A uydusunu hareketli S1 antenine benzer bir kapsama alanı oluşturulmuş ve hesaplamalar bu alana göre yapılmıştır.

Kapsama alanındaki değişim gün geçtikçe artmaktadır. 18 Mayıs 2004 tarihinde eğimli yörüngeye bırakılan Türksat 1B uydusu için böyle bir kapsama alanı değişimine ulaşımı hesaplanmış ve her şeklin altında gösterilmiştir.

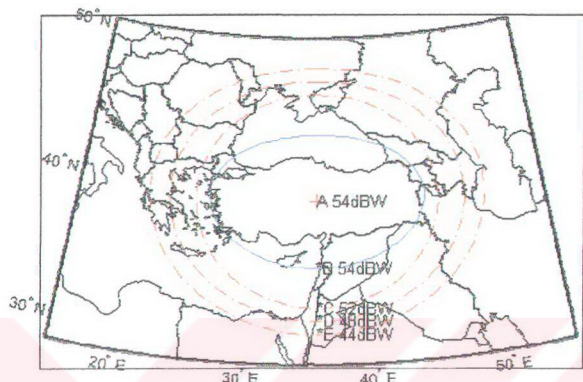


Şekil 74. Türksat 1B Türkiye kapsama alanı



Şekil 75. Türksat 2A hareketli S1 anteni kapsama alanı

Bu çalışmada kullanılmak için oluşturulan Türkiye odaklı kapsama alanı şekil 76'da gösterilmiştir (Ek-5).



Şekil 76. Çalışma için tanımlanan kapsama alanı

Yukarıdaki kapsama alanı için işaret değerleri ve uydu anteninin G/T bilgileri tablo 6'daki gibi alınmıştır.

Tablo 6. Tanımlanan kapsama alanı değerleri

	EIRP [dBW]	G/T [dB/K]
A	54	7
B	54	7
C	52	5
D	48	1
E	44	-3

Oluşturulan elips şeklindeki kapsama alanlarının sınırlarına örnek noktalar yerleştirilmiştir. Bu elips şekillerinin yarı asal eksen uzunlukları ve yarı minor eksen uzunlukları tablo 7'de verilmiştir.

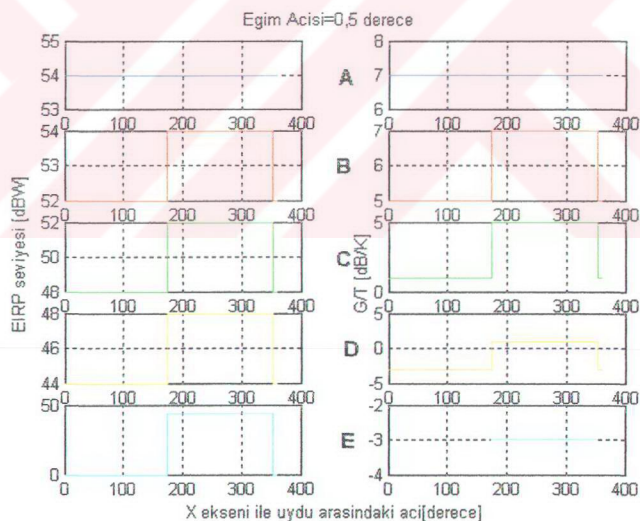
A noktası 39° Kuzey, $35,5^{\circ}$ Doğu koordinatlarının yerleştirilmiştir.

Tablo 7. Tanımlanan kapsama alanı şekillерinin uzaklıkları

	EIRP [dBW]	Yarı-Asal Eksen [km]	Yarı-Minor Eksen [km]
B	54	800	500
C	52	900	800
D	48	1100	900
E	44	1250	1000

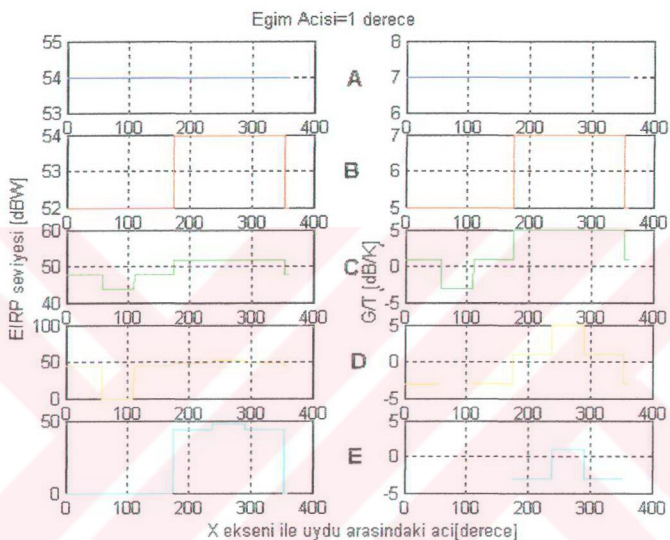
B,C,D,E noktalarının koordinatları bulundukları kapsama alanı sınırlarında $35,5^{\circ}$ Doğu boylamındadır.

(2.3.) bölümünden de bahsedildiği gibi böyle bir kapsama alanındaki noktaların içinde aldığı işarette değişim olacaktır. Yazılan program ile önce örnek, olarak alınan kapsama alanındaki işaret seviyeleri ve uydu antenin bu durumlardaki G/T değerleri hesaplanmıştır (Ek-4).



Şekil 77. Kapsama alanında tanımlanan noktaların 0,5 derece eğimdeki işaret seviyeleri

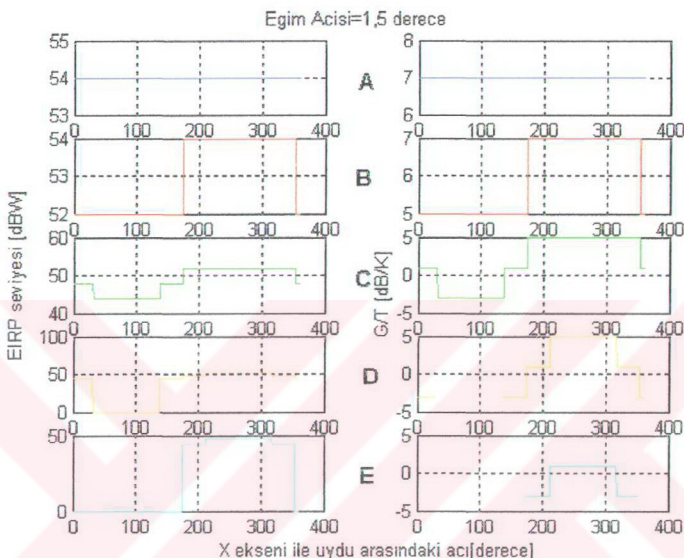
Şekilden de görüldüğü gibi eğim açısı $0,5^\circ$ ye ulaştığında merkezdeki A noktası için alınan işaret ve G/T de değişme olmazken, sınır noktalardaki işaret değerleri günün yarısında diğer kapsama alanına geçmektedirler. E noktası bu durumda günün yarısında işaretten yoksun kalmaktadır.



Şekil 78. Kapsama alanında tanımlanan noktaların 1 derece eğimdeki işaret seviyeleri

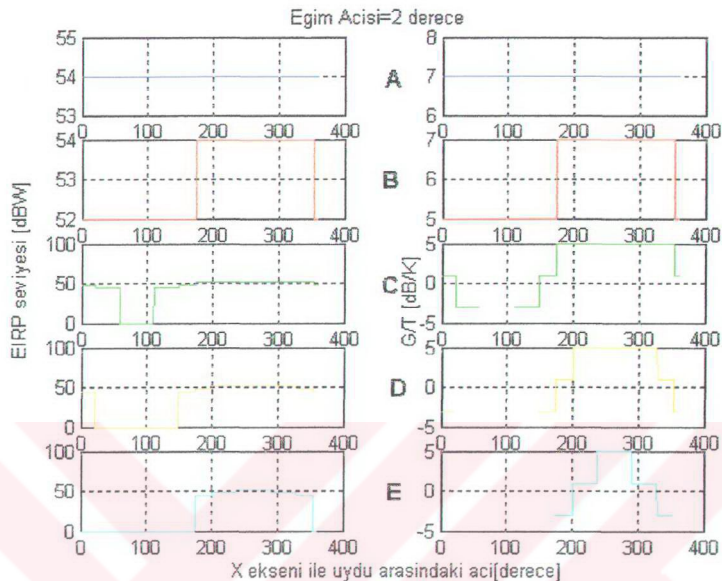
Eğim açısı 1° ye ulaştığında -ki Türksat 1B için 06/07/2005 tarihi hesaplanmıştır- alınan noktalardaki işaret kaybı şekil 78'deki gibidir. Bu durumda A noktasındaki EIRP değeri değişmezken, B noktası günün bir yarısında komşu kontura girmiştir. C noktası ise günün bir kısmında kapsama alanının kenarı yaklaşmış diğer yarısında merkeze yaklaşmış, EIRP seviyesi artmıştır. D noktası günün bir kısmında kapsama alanından çıkarken, günün diğer zamanlarında zamanla değişen oranda işaret almıştır. E noktası, kapsama alanın dışına en yakın noktadır ve bu yüzden günün yarısında hiç işaret alamazken günün diğer yarısında şekilde gösterildiği gibi artan şekilde işaret alır ve G/T değişir. Şunu da belirtmek gerekirdi ki hayatı bu seviyeler grafiklerde gösterildiği gibi doğrusal değildir. Ancak

kullanılacak sistem tasarılanırken minimum koşullar göz önünde bulundurulacağından kullanışlıdır.



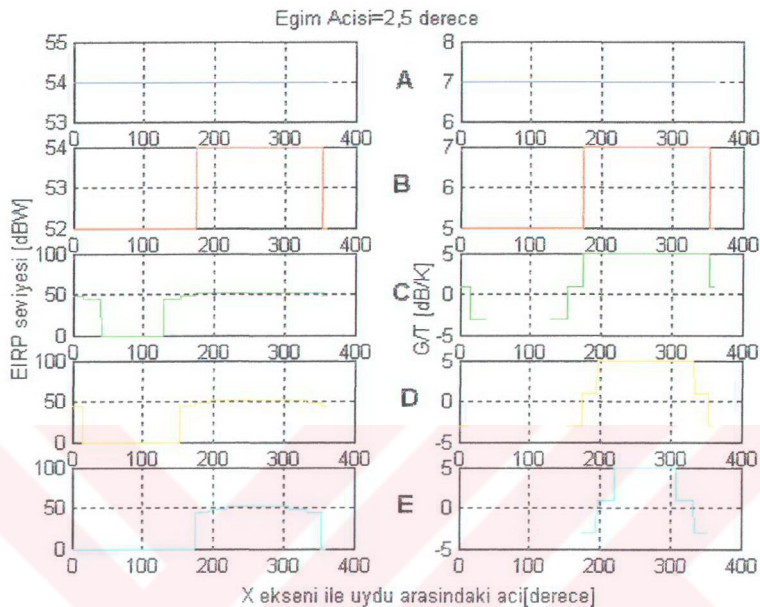
Şekil 79. Kapsama alanında tanımlanan noktaların 1,5 derece eğimdeki işaret seviyeleri

Şekil 79'dan da görüldüğü gibi D ve E noktaları günün bir kısmında kapsama alanı dışında kalırken diğer kısımlarda artan bir şekilde işaret almaktadırlar. C noktası ise günün bir yarısında en dış kontur kapsamasında kalmıştır.



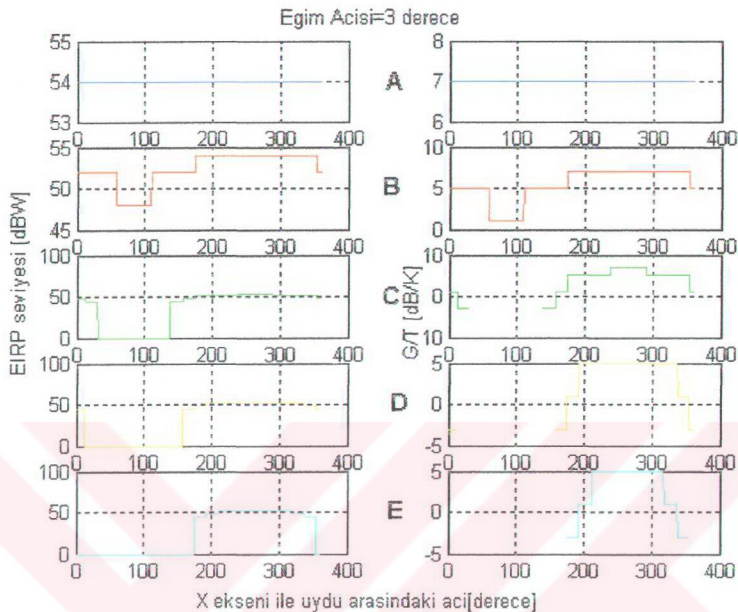
Şekil 80. Kapsama alanında tanımlanan noktaların 2 derece eğimdeki işaret seviyeleri

Eğim açısı 2 dereceye ulaştığında artık C noktası da günün bir kısmında kapsama alanı dışında kalmaktadır. Tüm grafiklerden görüldüğü gibi kapsama alanının merkezindeki A noktasındaki işaret seviyesinde değişme olmamaktadır.



Şekil 81. Kapsama alanında tanımlanan noktaların 2,5 derece eğimdeki işaret seviyeleri

Yukarıdaki şeviden C noktasını kapsama alanı dışında kalma süresinin arttığı gözlenebilmektedir.



Şekil 82. Kapsama alanında tanımlanan noktaların 3 derece eğimdeki işaret seviyeleri

Kapsama alanı 3° limit değerine geldiğinde artık B noktasında diğer konturün kapsamasına girmekte ve aldığı işaretin gücünde azalma olmaktadır.

Yukarıda hesaplanan ve çizdirilen grafikler, söz konusu uydu üzerindeki kanal kiralamak isteyen kullanıcılar için de önemlidir. Kullanıcının bulunduğu coğrafi konuma göre eğim açısının hangi değerinde kapsama alanı dışında kalacağı, diğer bir ifade ile ne zaman iletişimde kesintiler olacağı hesaplanmalıdır. Kapsama alanı dışında kalmasalar dahi yer sistemlerinde kullanıcık cihazların kurulumunda minimum karşılaşılabilirlik işaret seviyelerine göre güç yükselteçleri kullanılmalıdır.

2.5. İletişim Kalitesine Etkisi

Sayısal Uydu sistemlerinde sistemin performansı alıcıda oluşan bit hata olasığı ile verilir. Alıcının BER(Bit Error Rate) taşıyıcı- gürültü gücü oranına (C/N), bilgi biti süresine T_b ve gürültünün band genişliğine bağlıdır.

Bilindiği gibi temelde uydu sistemi, yer-uydu bağı ve uydu-yer bağıdır. Yer-uydularındaki işaret kalitesi Dünyadaki vericiden gönderilen işaretin uydudan ne kadar güçte alındığını bağlıdır. Uydu-yerbaughında ise, sistemin kalitesi, işaretin uydunun ne kadar güçte tekrar gönderdiğine ve alıcının ne kadar güçte alındığını bağlıdır. Uzaklığın nisbeten fazla olmasından dolayı söz konusu işaretler çok zayıflatılmaya uğrar ve beyaz Gauss gürültüsü ile kolayca etkileşebilecek duruma gelir. Ayrıca 10 GHz'in üzerindeki sistemlerde yağmur zayıflatması görülür [19].

Eğimli yörüngeye bırakılan bir uydunun eğim açısı değişimi ve kapsama alanındaki sapmalar hesaplanmıştır. Bu kısımda da ilteşimin nasıl olacağı üzerinde durulacak. Bahsedildiği gibi bu uydular daha çok veri haberleşmesi sağlayan kullanıcılar tarafından kullanılmaktadır. IBS>IDR gibi sayısal haberleşme, bunların başında gelmektedir. $\frac{3}{4}$ FEC kullanan ve QPSK modülasyonu yapan bir kullanıcı örneği alınarak uydu yer bağı performansı değerlendirilmiştir.

Göz önüne alınan kriterler;

- uydunun Dünyaya olan uzaklığını değiştirmek,
- uydunun uzaklığinden dolayı değişen yol kaybı,
- uydudaki aktarıcının band genişliği (36 MHz),
- uydudaki aktarıcının OBO değeri(3 dB),
- yağmur, dönüştürücü, iletişim kayipları ve marginleri (5 dB),
- alıcı antenin G/T değeri(22 dB),
- kullanıcı band genişliği(25 MHz ,)
- kullanıcının veri hızı(45 Mbit/s).

Böyle bir kullanıcı örneği alınarak alıcı antende olası E_b/N_0 değerleri hesaplanmıştır.

Yukarıda alınan değerler, Türksat 2A teknik özelliklik dokümanlarından, Intelsat standartlarından ve söz konusu haberleşmeyi sağlayan özel şirketlerle yapılan görüşmeler ve ölçümler sonucunda alınmıştır. Kullanılan eşitlikler bölüm 1.10.3.1 ve 1.10.5.5 te ayrıntılı biçimde verilmiştir.

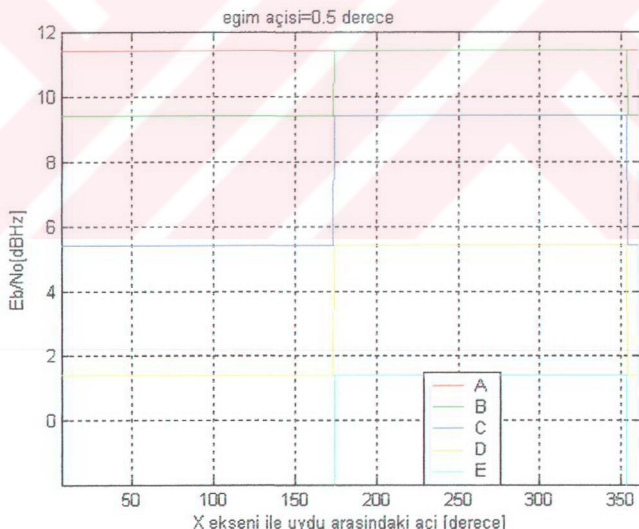
QPSK ve BPSK modülasyonu kullanan sistemler için bit hata olasılığı aşağıdaki şekilde verilir.

$$P_e = \frac{1}{2} \operatorname{erfc} \sqrt{\frac{E_b}{N_0}} \quad (159)$$

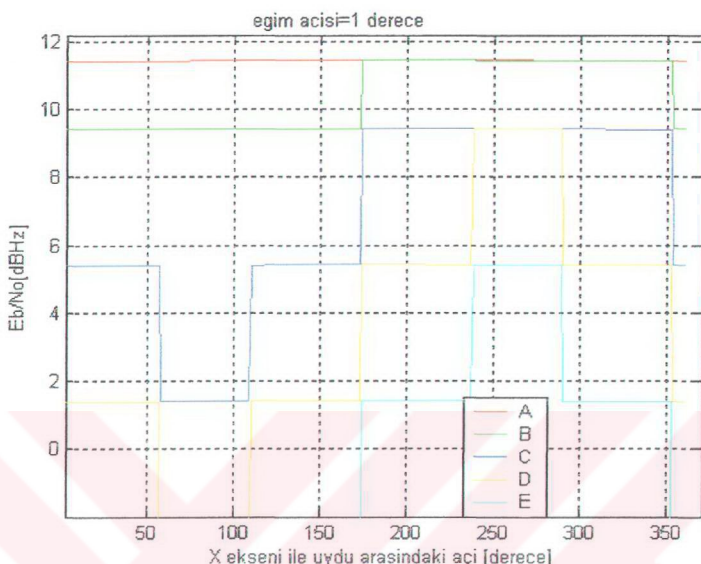
Buna göre alıcı sistemindeki E_b/N_0 değerinin BER e etkisi, dolayısıyla iletişim kalitesine etkisi gösterilebilir [9].

Çalışmada önceki bölümde örnek olarak alınan sistem ve oluşturulan kapsama alanının değişimine göre alıcıdaki E_b/N_0 değişimi hesaplanmış ve grafikler eğim açısının farklı değerleri için çizdirilmiştir (Ek-5).

Şekillerdeki x ekseni, yükseliş düğümü doğrultusunda alınmıştır. Yatay eksen Dünya etrafında 360 dereceye karşılık gelmektedir. Anlaşırlılığı kolaylaştırmak açısından yükseliş noktası tasarılanan kapsama alanının karşısına geldiği varsayılmıştır.

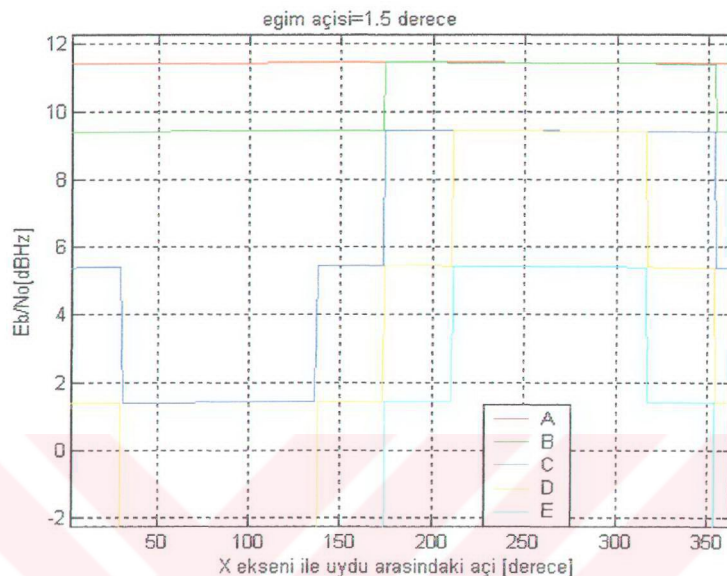


Şekil 83. Alıcıdaki E_b/N_0 seviyesinin 0,5 derece eğiklik açısı için değeri



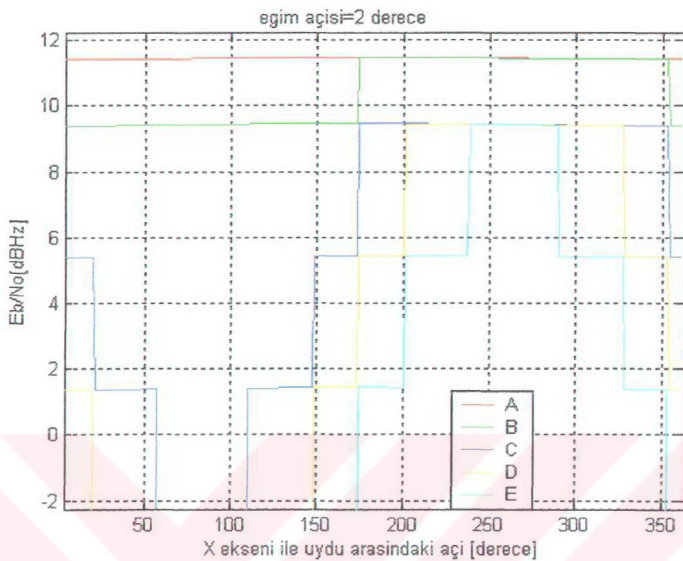
Şekil 84. Alıcıdaki E_b/N_0 seviyesinin 1 derece eğiklik açısı için değeri

Şekil 84'ten de görüldüğü gibi, A noktasında tanımlanan bir alıcıda gözlecek E_b/N_0 değeri 12 dB/Hz civarında küçük değişimler göstermektedir. Bu da bit başına hata olasılığını 10^{-8} civarında olması demektir. Denklem (159) kullanılarak diğer tanımlanan noktalar için alıcıda oluşacak bit hata olasılığı değerleri hesaplanabilir.



Şekil 85. Alıcıdaki E_b/N_0 seviyesinin 1,5 derece eğiklik açısı için değeri

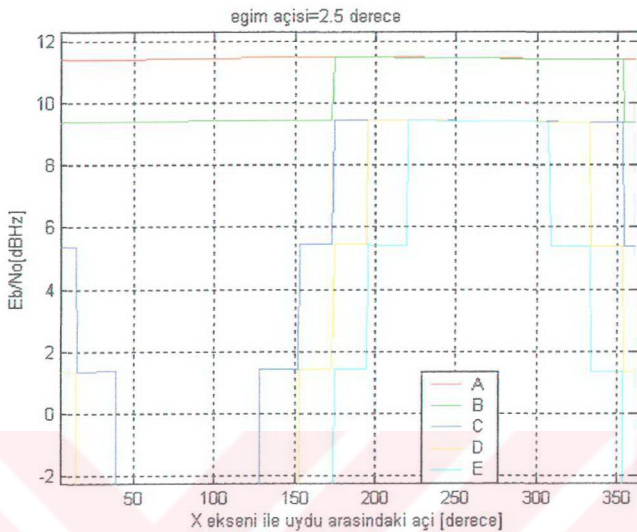
Yukarıdaki şekildeki gibi C noktasındaki E_b/N_0 değeri günün bir kısmında oldukça azalmaktadır. Günün ilerleyen zamanlarında, kapsama alanı merkez konturuna yaraşlığından işaret seviyesinde, dolayısıyla E_b/N_0 değerinde artış olmuştur. Sonucunda aldığı verideki BER azalmış ve daha kaliteli haberleşmeye kısa sürelide olsa ulaşmıştır. D ve E noktaları günün bir kısmında haberleşmeden yoksun kaldıklarından bu zaman aralıklarında hesaplatılan E_b/N_0 değerleri sıfırın altında çıkar.



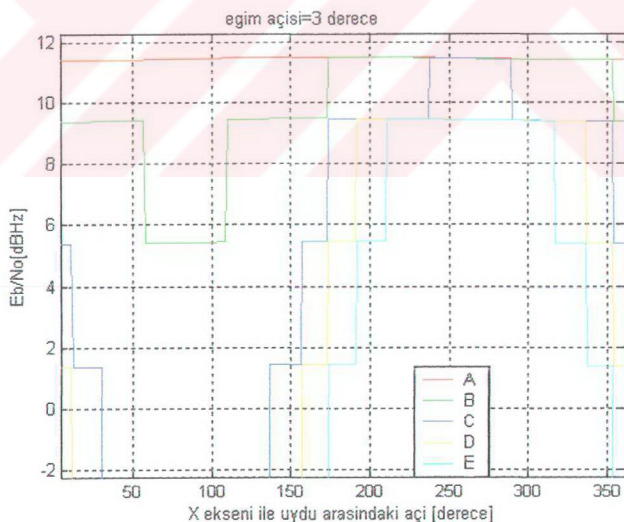
Şekil 86. Alıcıdaki E_b/N_0 seviyesinin 2 derece eğiklik açısı için değeri

Yörunge eğiklik açısı 2° ulaştığında, kapsama alanının gün içindeki salınımı C noktasını alan dışında bırakacak kadar artmıştır. Şekil 86'da da gösterildiği gibi bu durumda A ve B noktalarındaki işarette – dolayısıyla iletişim kalitesinde – fazla bir değişiklik olmamaktadır.

Eğim açısının $2,5^\circ$ ve 3° değerleri için alıcıdaki E_b/N_0 değerleri şekil 87 ve şekil 88 de gösterilmiştir.



Şekil 87. Alıcıdaki E_b/N_0 seviyesinin 2,5 derece eğiklik açısı için değeri



Şekil 88. Alıcıdaki E_b/N_0 seviyesinin 3 derece eğiklik açısı için değeri

3. SONUÇLAR

Bu çalışmada, eğimli bir yörüngeye bırakılan yere göre durağan bir uydu ele alınmıştır. Kuzey manevrası yapılmayan bir uyduun zaman içinde artan kuzey/güney salınması incelenmiştir. Yazılan programlarla ilk önce ekvator düzlemi ile eğimli yörünge düzlemi arasındaki açının değişimi hesaplanmıştır. Sonraki aşamalarda yazılan programlar ile böyle bir uyduun kapsama alanının değişimi incelenmiştir. Kullanıcılara sağlanacak hizmetin kalitesinin ne olacağı ve ne kadar süre ile bu kalitenin sağlanabileceği bilinmelidir. Bu yüzden eğimli yörungedeki bir uydu hizmetinden faydalananmak isteyen kullanıcıların bulunduğu coğrafi konumun önemli olduğu görülmüştür. Buna göre eğimli yörüngeye bırakılan bir uydu için;

- a. yörünge eğiklik açısı 2005, 2006 yılı için yaklaşık olarak 0,87 derece/yıl artmaktadır,
- b. eğiklik açısı değişimi doğrusal bir değişim göstermemektedir,
- c. yörünge eğiklik açısı arttıkça uydu ekvator düzleminden uzaklaşmaktadır. Gün içinde ekvator düzlemi ile yörünge düzlemi iki kez kesişir. Günün diğer zamanlarında kapsama alanı değişir,
- d. kapsama alanındaki değişim yörünge dışmerkezliliğinden kaynaklanan doğubatı yönündeki salınma hareketine göre nispeten fazladır ve kuzey-güney doğrultusundadır. Uydu ekvator düzleminden geçerken asıl sahip olduğu kapsama alanına işaret gönderir. Kuzey yarı küreye geçince kapsama kuzey kayarken, güney yarı küreye geçtiğinde kapsama alanı asıl olması gereken alanın güneyinde bulunur,
- e. yörünge eğikliği üç dereceye ulaştığı durum maksimum durum olarak düşünüldüğünde, kapsama alanın bu zamanda kuzey-güney doğrultusunda gün içinde maksimum yaklaşık 334 km kaydığını sonucu elde edilmiştir.

Kapsama alanının değişmesi, kuzey – güney doğrultusunda gün içinde hareket etmesi, doğal olarak Dünya üzerindeki sabit kullanıcıların aldığı işaret seviyelerinde değişimeye yol açacaktır. Kuzey yarı küre için düşünüldüğünde, eğimli yörungedeki uydu, ekvatordan kuzeye geçtiği zaman ; kapsama alanının merkezinden güneyde bulunan kullanıcıların aldıkları işaret azalacak, uydu ekvatordan güneye geçtiği zaman ise merkezin güneyinde

bulunan kullanıcıların alındıkları işaret artarken kuzeydeki kullanıcıların alındıkları işaret gücünden azalacaktır.

İşaret gücündeki azalma ve artış iletişim kalitesini etkileyecektir. Eğimli yörüngeerdeki uydular gün içinde değişen miktarda hareket ettiklerinden dolayı anten takip sistemi olan kullanıcılar faydalana bilir. Böyle sistemlerin pahalı olmasından dolayı bu uydular, özel amaçlı sayısal haberleşmede rağbet görürler. Sayısal haberleşmede bit başına düşen enerji gücünün gürültüye oranı, alıcıda bit hata olasılığını etkiler. Bit başına düşen enerjinin artması alıcıda daha az hatalı bitin demodüle edilmesiyle sonuçlanır. Dolayısıyla alıcının işaretin alıp almaması kadar hangi enerji seviyesinde aldığı da önemlidir. Çalışmada görülmüştür ki, eğimli yörünge merkezindeki kullanıcılar kapsama alanından eğim açısı 3° olana kadar mahrum kalmamakta hatta işaret seviyelerinde değişiklik olmamaktadır. Eğim açısının 3° ulaşması ise yaklaşık olarak 1292 gün olarak hesaplanmıştır. Kapsama alanı dışına yaklaşırken ve konturun sınır değerlerinde bu olay değişmektedir. Gün içinde alınan işaret azalıp artmakta, eğim açısı arttığında haberleşmeden geçici olarak yoksun kalınmaktadır. Sonuçta böyle bir uydudan hizmet almak isteyen bir kullanıcı bulunduğu coğrafi konuma göre ileriye dönük olarak haberleşmesinin süreklilik yüzdesi ve kalitesi konusunda bilgi edinmiş olur. İleriye dönük plan ve yatırım yapılırken gözden kaçırılmaması gereken bir kriter olduğu düşünülmektedir.

4.ÖNERİLER

Yapılan çalışmada, etkileri incelemek ve göstermek için 36 MHz lik bir aktarıcının 25 MHz ini kullanan sayısal bir taşıyıcı kullanılmıştır. Sayısal haberleşmenin diğer birçok parametresi sabit kabul edilmiştir. Değişik anten değerleri ve oluşturulan değişik kapsama alanları için örnekler çoğaltılabılır.

Birçok uygulamada kapsama alanları elips şeklinde değildir. Uydu anteninin yüzey şeklindeki küçük değişikliklerle kapsama alanları değiştirilir. Etkilerin incelenmesinde kapsama alanının şekli çok önemlidir. Dolayısıyla gerçeğe yakın modellenmiş kapsama alanları ile uygulamaya daha yönelik çalışmalar yapılabilir.

Uydunun gün içinde tam olarak nerede bulunacağı üzerinde çalışılabilir. Böylece kapsama alanının günün hangi saatinde nerede olduğu tam olarak hesaplanabilir. Bunun için yükseliş düğümü Ω , yerberi argümanı ω ve gerçek anomli θ 'nın değerleri hesaba katılmalıdır.

Uydunun gün içindeki hareketinden dolayı Dünyaya yaklaşip uzaklaşmasından oluşan Doppler etkisi incelenebilir. Bu etki yaklaşık olarak 1 -10 Hz arasında değişir.

Bunların ötesinde, gün içinde uydu kendi eksenleri etrafında hareket ettirilerek kapsama alanı sabit tutulmaya çalışılabilir.

5. KAYNAKLAR

- 1 Intelsat, Earth Station Technology, Rev 4, 1995.
- 2 Soop, E.M., Handbook Of Geostationry Orbits, Kluwer Academic Publishers, Netherlands, 1994.
- 3 Seger, P., Spacecarft And Operations Engineers Trannig Support Course Or Orbital Dynamic Book 1, Mureawe, 1985.
- 4 Erdal, T., Investigation Of Minumum Fuel Maneuvers Of Turksat 1B Satellite With Possible Use Of Its Simulator, Yüksek Lisans Tezi, Uzay Ve Havacılık Müh. ODTÜ, Ankara, 1998.
- 5 A.E.Roy, Orbital Motion, Institute Of Physic Publishing, Bristol And Philadephia, 1994.
- 6 Şakacı, C., Two Simulation Models: Low Altitude Flows And The Turksat Satellite Orbit, Yüksek Lisans Tezi, Uzay Ve Havacılık Müh, ODTU, Ankara, 1996.
- 7 Aerospatiale Espace & Defense, Turksat Engineering Tranning Documents, 1993.
- 8 Santos, M. C., On Real-Time Orbit Improvement For GPS Satellites, The University Of New Brunswick, 1995.
- 9 Roddy D., Satellites Communications, McGrow-Hill, 2001.
- 10 Alcatel Space, Eurasiasat Engineering Tranning Doc Vol: 3, 2001.
- 11 Uslu, H. Ö., Orbit Dynamics, Attitude Dynamics And Control Investigation Into Possible Applications To Türksat, Yüksek Lisans Tezi, Uzay Ve Havacılık Müh, ODTU, Ankara, 1997.
- 12 Edwards A.L. , The Correlation Coefficient Ch.4 In An Introduction To Linear Regression And Correlation, San Francisco, CA, W.H.Freeman, 1976.
- 13 Slavinsks, D.D. G.K.Johnson , W.J.Benden, Efficient Inclination Control For Geostationary Satellites, Journal Of Guidance, Control And Dynamic, Vol:11, 1988.
- 14 Collins, George W. The Foundations Of Celestial Mechanics, Case Western Reserve Uni., 2004.
- 15 Soop E.Mattias, Introduction to Geostationary Orbits, European Space Operations Centre, Almanya, 1983.

- 16 Steve C. Chapra & Raymond P. Canale, Mühendisler İçin Sayısal Yöntemler, Literatür Yayımları: 82, 2002.
- 17 King-Hele, D., Theory Of Satellite Orbits In An Atmosphere, Royal Aircraft Establihment, Fransborough, London, 1964.
- 18 Chetty, P.R.K., Satellite Technology And Its Applications, Fairchild Space Company Tab Books Inc, 1988.
- 19 Tri T. Ha, Digital Satellite Communications, McGrow-Hill, 1990.
- 20 http://liftoff.msfc.nasa.gov/academy/rocket_sci/satellites/hohmann.html, 20 Nisan 2005.

6. EKLER

Ek-1. Matlabda yazılan mesafe.m programı

```
%function mesafe=SC2
%%%%%
%golbaşı yer istasyonu->uydu vektoru ile dunya merkezi->golbaşı
%vektorlerinin toplamının hesaplar.. ranging sonuçları 'c:/ranging.txt' ve
%açı sonuçları 'c:/acilar.txt' dosyalarından okur
%
%golbaşı uydu yer kontrol istasyonu için sabit olan parametreler;
%Explorist 100 GPS cihazı ile olculen golbaşı uydu kontol istasyonu koordinatları ve
%rakımı
%39 der 38,473 N
%32 der 48,457 E
%rakım:1054+-9 m
%
%UMIT CEZMI YILMAZ 2005 TURKSAT AŞ.
%rakım:1054 +/- 9m
%enlemi:32 derece 48 dakika doğu
%boylami: 39 derece 48 dakika kuzey
%
%yerin yarıçapı
%Re=6378.144 km
%oblateness: f=1/298.257
rad=pi/180;
h=1.054;
f=1/298.257;
l=32.8076*rad;
phi=39.6412*rad;
Re=6378.137;
F=2*f-f^2;
S=(sin(phi))^2;
P=1-S*F;
H=Re/P;
rsx=(H+h)*cos(phi)*cos(l);
rsy=(H+h)*cos(phi)*sin(l);
rsz=((1+f)^2*H+h)*sin(phi);
rs=[rsx rsy rsz]';
L=[-sin(l) cos(l) 0; -cos(l)*sin(phi) -sin(l)*sin(phi) cos(phi); cos(l)*cos(phi) cos(phi)*sin(l)
sin(phi)];
cof=inv(L);
[anten yil doy hour min s ss rang]=textread('c:/rang/ranging126.txt','%s %u %u %u %u
%u %u %f');
for i=1:48
    R(i)=mean(rang(i*100-99:i*100));
end
```

Ek-1 devamı

```

figure;plot(R,'kd','MarkerSize',5);grid on;xlabel('zaman[saat]');ylabel('uzaklik[km]');

[anten yil doy hr mn sec az elv]=textread('c:/rang/acil26.txt','%s %u %u %u %u %u %f
%f');
for i=1:48
    A(i)=mean(az(i*19-18:i*19));
    E(i)=mean(elv(i*19-18:i*19));
end;
%
for i=1:48
    Dx(i)=R(i)*cos(E(i)*rad)*sin(A(i)*rad);
    Dy(i)=R(i)*cos(E(i)*rad)*cos(A(i)*rad);
    Dz(i)=R(i)*sin(E(i)*rad);
end;
D=[Dx;Dy;Dz];
for k=1:48
r(:,k)=cof*D(:,k)+rs;
end;
for i=1:48
    mesafe(i)=sqrt(r(1,i)^2+r(2,i)^2+r(3,i)^2);
    [TH(i),PHI(i),R(i)] = CART2SPH(r(1,i),r(2,i),r(3,i));
end;
EEE=((mesafe(16)-mesafe(5))/(mesafe(16)+mesafe(5)));
figure;
plot(R,'ks','MarkerSize',4);title('uydunun ölçüm sonucunda hesaplatılan
uzaklığı');xlabel('zaman[saat]');ylabel('uzaklık[km]');
grid on;
figure
plot(E,A);title('istasyon anteninin yükselme ve yönelme açıları');xlabel('yükseleme
acısı[derece]');ylabel('azimut acısı[derece]');
grid on;
figure
plot3(PHI/rad,TH/rad,R);title('uydu-merkez vektörü küresel koordinatlari');
xlabel('enlem[derece]');ylabel('boylam[derece]');zlabel('yermerkezine uzaklık[km]');
grid on

```

Ek-2. Güneşin koordinatlarını hesaplayan matlap programı (suncoor4.m)

```
%function suncoor4(jd,gun,alp)
%function [xs,ys,zs]=suncoor4(jd)
jd=2453371:2453736;
gun=365;
alp=0.001;
%EARTH SUN DISTANCE==149597870 Km
%Earth S/C distance==42165.8 Km
%e=5.42246.*exp(-92.483)
%i=0.0578exp(-74.764)
%a=42165.4386
%CpS=0.0471
%güneşin koordinatlarını hesaplamak içindir.cıkı xs,ys ve zs dir.
%UMIT CEZMI YILMAZ 2005 TURKSAT AŞ.
%&&&&&&&&&&&&&&&&&&&&&&&&&&&&&&&&&&&&&&&&&&&&&&&&&&&
%0.yıl julian day 1721058 dir.
%julian day/1900
%global xs ys zs;
jdm=jd-datenum(1900,1,1,0,0,0)-1721058;%O103D
rad=pi/180;
%mean sun anomaly
Ms=mod((358.47583+0.98560026.*jdm),360).*rad;%O104D
%longitude of sun in ecliptic plane(rad)
gama=(180+99.69267+(0.9856473.*jdm)+1.919793.*sin(Ms)+0.019893.*sin(2.*Ms)+0.0
04.*sin(17.*Ms-(117.46.*rad))));%O107D
gama=mod(gama,360);
gamag=gama.*rad;
%longitude of sun in the equator plane(rad)...Equinox precession
PR=(0.35059e-4.*(jdm-18262.5)).*rad; %O108D
%sun rigth asc in G50
%cos(23.43850062.*rad)=0.91748755;
ASCDV=atan(tan(gamag).*cos(23.43850062.*rad))-PR;%O110D
GG=cos(gamag);
t=max(size(GG));
for u=1:t
if GG(u)<0
    ASCDV(u)=ASCDV(u)+pi;
end
end
% S_E=1;
%dunya gunes uzaklığı(merkezden merkeze)[m]
S_E=149597860e3;
%declination
om=0.*rad; %OMEGA
%om=omega;
%Sun elevation in eq
PHIV=asin(sin(gamag).*sin(23.43850062.*rad)); %O109D
xs=S_E.*cos(ASCDV-om).*cos(PHIV); %O160D
```

Ek-2 devamı

```
ys=S_E.*sin(ASCDV-om).*cos(PHIV); %O161D
zs=S_E.*sin(PHIV); %O162D
rs=sqrt(xs.^2+ys.^2+zs.^2);
figure
plot(jdm, xs, 'm')
grid on;
hold on;
plot(jdm, ys, 'y')
plot(jdm, zs, 'k')
legend('x koordinati', 'y koordinati', 'z koordinati')
 xlabel('1 Ocak 1900 den sonraki gün sayisi');
 ylabel('günese olan uzaklik [km]');
 title('Günesin Koordinatlari');
```

Ek-3. Ayın koordinatlarını hesaplayan matlab programı(mooncoor.m)

```
% function [xm,ym,zm]=mooncoor2(jd)
jd=2453500:2453550;
%number of julian centuries from J2000:
T=(jd-2451545)./36525;
%mean anomaly of the sun
gama=(358.48+0.9856.*jd)*pi/180;
%mean anomaly of the moon
beta=(296.1+13.064992.*jd)*pi/180;
%mean longitude of the moon
landa=(11.25+13.22935.*jd)*pi/180;
%mean longitude-sun longitude
delta=(350.74+12.190749.*jd)*pi/180;
%moon longitude in ecliptic plane
LOM=270.434+(13.176397.*jd)+6.289.*sin(beta)-1.274.*sin(beta-
2.*delta)+0.658.*sin(2.*delta)+...
0.214.*sin(2.*beta)-0.186.*sin(gama)-0.114.*sin(2.*landa)-0.059.*sin(2.*beta-
2.*delta)...
-0.057.*sin(gama+beta-2.*delta)+0.053.*sin(beta+2.*delta)-0.046.*sin(gama-
2.*delta)+...
0.041.*sin(beta-gama)-0.035.*sin(delta)-0.03.*sin(beta+gama);
LOM=LOM*pi/180;
%moon latitude in ecliptic plane
LAM=5.128.*sin(landa)+0.281.*sin(beta+landa)+0.278.*sin(beta-
landa)+0.173.*sin(2.*delta-landa)....
0.055.*sin(beta-2.*delta-landa)-0.046.*sin(beta-
2.*delta+landa)+0.033.*sin(2.*delta+landa);
LAM=LAM*pi/180;
%earth moon distance;
EM=385000-20905.*cos(beta)-3699.*cos(2.*delta-beta)-2956.*cos(2.*delta)-
570.*cos(2.*beta)+246.*cos(2.*beta-2.*delta)....
205.*cos(gama-2.*delta)-171.*cos(beta-2.*delta)-152.*cos(gama+beta-2.*delta);
%moon right ascension in equatorial plane
RASM=atan(tan(LOM).*cos(23.44*pi/180));
%DECM=asin(sin(LOM).*sin(23.44*pi/180));
%Re=6378140;
%rectangular coordinates of the moon
xm=EM.*cos(LAM).*cos(RASM);
ym=EM.*cos(LAM).*sin(RASM);
zm=EM.*sin(LAM);
figure
% subplot(2,1,1);
plot(jd,xm,'b');
grid on;
hold on;
% subplot(2,1,1);
plot(jd,ym,'g');
```

Ek-3 devamı

```
grid on;
% subplot(2,1,1);
plot(jd,zm,'y');
grid on;
% rm=sqrt(xm.^2+ym.^2+zm.^2);
legend('x ccor','y coor','z coor');
% subplot(2,1,2);
% legend('distance');
% plot(jd,rm,'k');
% grid on;
```

Ek-4. Eğim açısına göre kapsama alanı değişimi ve sapması (harita.m)

```

clear all;
rad=pi/180;
mue=3.986e5;
Re=6378.137;%km
omega=7.292115855e-5;
% apogee=35786;
% perigee=35784;
% e=abs(apogee-perigee)/(apogee+perigee+2*Re);
% a=(apogee+perigee)/2+Re;
inclination=0.01;
e=40e-5;
a=42165.8;
totarea=pi*a*sqrt(a^2*(1-e^2));
period=2*pi*sqrt(a^3/mue);
rotation=[cos(inclination*rad) 0 -sin(inclination*rad)
           0 1 0
           sin(inclination*rad) 0 cos(inclination*rad)];
tetha=(-90:270)*rad;
tottime=0;
deltime=period/50;
delarea=deltime*totarea/period;
radius=a*(1-e^2)./(1+e*cos(tetha));
tottime=tottime+deltime;
delta=2.*delarea./radius.^2;
tetha=tetha+delta;

radius=a*(1-e^2)./(1+e*cos(tetha));

oldcoord=[radius.*cos(tetha);radius.*sin(tetha);zeros(size(tetha))];
newcoord=(rotation*oldcoord)/Re;

long=atan2(newcoord(2,:),newcoord(1,:));
long=(long+omega*tottime);
long=atan2(sin(long),cos(long))/rad;
long2=long+35.5-long;

lat=atan(newcoord(3,:)./sqrt(newcoord(1,:).^2+newcoord(2,:).^2));
lat=lat/rad;
lat2=lat+39;

sapma=deg2km(lat);
%39 ,35.5 derecey referans nokta yerleştirilmiştir.
figure;

% worldmap('lo','turkeyonly','patch')
worldmap('asia');

```

Ek-4 devamı

```
% displaym(worldlo('POline'));
[latc1 lonc1]=scircle1(39,35.5,5.4);
[latc2 lonc2]=scircle1(39,35.5,7);
latmax=max(lat2);
latmin=min(lat2);

[latminc1 lonminc1]=scircle1(latmin,35.5,5.4);
[latminc2 lonminc2]=scircle1(latmin,35.5,7);

[latmaxc1 lonmaxc1]=scircle1(latmax,35.5,5.4);
[latmaxc2 lonmaxc2]=scircle1(latmax,35.5,7);
plotm(latmaxc1,lonmaxc2,'r-','MarkerSize',10);
hold on;
plotm(latminc1,lonminc2,'r-');

plotm(latc1,lonc2);
plotm(lat2,long2,'r','MarkerSize',6);
plotm(39,35.5,'+','MarkerSize',8)

figure;
subplot(2,1,1)
plot(sapma);
xlabel('X ekseni ile uydu arasındaki açı [derece]');
ylabel('referans noktaya göre uzaklık [km]');
hold on;
grid on;
% figure;
% istasyon uydu uzaklığının değişimi,
%-----
a2=42165.8;
%uydunun boylamı
tetha_s=42*pi/180;
%yer istasyonun boylamı
tetha_e=39*pi/180;
%yer istasyonun enlemi
tetha1=35.5*pi/180;
%uydunun enlem değişimi „,inclination açısına bağlı
tetha2=inclination*pi/180;
%C hesaplanması
C=acos(cos(tetha1-tetha2)*cos(abs(tetha_s-tetha_e)));
%uydu istasyon mesafesi
D=sqrt(Re^2+a2^2-2*Re*a2*(cos(C)));
subplot(2,1,2)
plot(D);
grid on;
xlabel('X ekseni ile uydu arasındaki açı [derece]');
ylabel('uydunun uzaklığı [km]');
```

Ek-5. Kapsama alanı değerleri ve işaret gücü değişimini hesaplayan Matlab programı (EIRP.m)

```

clear all;
format long
format compact
rad=pi/180;
% figure;
% worldmap('lo','turkeyonly','patch')
%cizdirilecek haritanın sınırları
% worldmap([28 50],[15 55]);
% displaym(worldlo('POline'));
%
%merkez koordinatları
latc=39;
lonc=35.5;
%
%dereceye cevirecek uzaklık değerleri
uzaklikderece=km2deg(500);
uzaklikderece1=km2deg(800);
uzaklikderece2=km2deg(900);
uzaklikderece3=km2deg(1000);
uzaklikderece4=km2deg(1100);
uzaklikderece5=km2deg(1250);
%
%koordinata cevirecek dereceler
[lat lon]=scircle1(latc,lonc,uzaklikderece);
[lat1 lon1]=scircle1(latc,lonc,uzaklikderece1);
[lat2 lon2]=scircle1(latc,lonc,uzaklikderece2);
[lat3 lon3]=scircle1(latc,lonc,uzaklikderece3);
[lat4 lon4]=scircle1(latc,lonc,uzaklikderece4);
[lat5 lon5]=scircle1(latc,lonc,uzaklikderece5);
%
%kapsama alanı şekilleri
%
%merkez koordinatı ( Anoktası)
% plotm(latc,lonc,'r+','MarkerSize',10);
% hold on;
%
%birinci kapsama alanı ve merkezi :A
% plotm(lat,lon1,'b-');
% textm(39,35.5,'A');
%birinci kapsama alanı sınırı :B
% textm(min(lat),35.5,'*B');
%
%ikinci kapsama alanı
% plotm(lat1,lon2,'r-','MarkerSize',6);
%ikinci kapsama alanı sınırı:C

```

Ek-5 devamı

```
% textm(min(lat1),35.5,'*C');
%
%ucuncu kapsama alanı
% plotm(lat2,lon4,'r-','MarkerSize',6);
%ucuncu kapsama alanı sınırı:D
% textm(min(lat2),35.5,'*D');
%
%dorduncu kapsama alanı
% plotm(lat3,lon5,'r-','MarkerSize',6);
%dorduncu kapsama alanı sınırı:E
% textm(min(lat3),35.5,'*E');
% hold on;
%
%noktaların koordinatları
A=0;
B=deg2km(latc-min(lat));
C=deg2km(latc-min(lat1));
D=deg2km(latc-min(lat2));
E=deg2km(latc-min(lat3));
latA=39*rad;
latB=(39-km2deg(B))*rad;
latC=(39-km2deg(C))*rad;
latD=(39-km2deg(D))*rad;
latE=(39-km2deg(E))*rad;
%
%-----
%.....EIRP[dBW].....G/T [dB/K]
%
%-----  

% A noktası 54 7  

% B noktası 54 7  

% C noktası 52 5  

% D noktası 48 1  

% E noktası 44 -3  

%-----değerleri için link budget  

%hesaplaması yapılacak  

%
rad=pi/180;
mue=3.986e5;
Re=6378.137;%km
omega=7.292115855e-5;
% apogee=35786;
% perigee=35784;
% e=abs(apogee-perigee)/(apogee+perigee+2*Re);
% a=(apogee+perigee)/2+Re;
%
%-----  

inclination=3; % eğim açısı  

%
```

Ek-5 devamı

```

e=40e-5;
a=42165.8;
totarea=pi*a*sqrt(a^2*(1-e^2));
period=2*pi*sqrt(a^3/mue);
rotation=[cos(inclination*rad) 0 -sin(inclination*rad)
          0 1 0
          sin(inclination*rad) 0 cos(inclination*rad)];
tetha=(-90:270)*rad;
totime=0;
deltime=period/50;
delarea=deltime*totarea/period;
radius=a*(1-e^2)./(1+e*cos(tetha));
totime=totime+deltime;
delta=2.*delarea./radius.^2;
tetha=tetha+delta;

radius=a*(1-e^2)./(1+e*cos(tetha));

oldcoord=[radius.*cos(tetha);radius.*sin(tetha);zeros(size(tetha))];
newcoord=(rotation*oldcoord)/Re;

long=atan2(newcoord(2,:),newcoord(1,:));
long=(long+omega*totime);
long=atan2(sin(long),cos(long))/rad;

lat=atan(newcoord(3,:)./sqrt(newcoord(1,:).^2+newcoord(2,:).^2));
lat=lat/rad;

sapma=deg2km(lat);

% figure;
% plot(sapma);
% grid on;
% xlabel('X ekseni ile uydu arasındaki açı [derece]');
% ylabel('referans noktaya göre uzaklık [km]');

mesafeA=sapma;
mesafeB=B+mesafeA;
mesafeC=C+mesafeA;
mesafeD=D+mesafeA;
mesafeE=E+mesafeA;
mesafe=abs(sapma);
%A noktasındaki kapsama alanının değişimi
sondeger=max(size(sapma));
for a=1:sondeger
    if mesafeA(a)>-B && mesafeA(a)<B
        EIRP_A(a)=54; G_TA(a)=7;
    end
end

```

Ek-5 devam:

```

elseif mesafeA(a)>B && mesafeA(a)<C
    EIRP_A(a)=52 ;G_TA(a)=5;
elseif mesafeA(a)>C && mesafeA(a)<D
    EIRP_A(a)=48;G_TA(a)=1;
elseif mesafeA(a)>D && mesafeA(a)<E
    EIRP_A(a)=44 ;G_TA(a)=-3;
elseif mesafeA(a)>E
    EIRP_A(a)=0;G_TA(a)=-inf;
end
end

for b=1:sondeger
if mesafeB(b)>0 && mesafeB(b)<B
    EIRP_B(b)=54; G_TB(b)=7;
elseif mesafeB(b)>B && mesafeB(b)<C
    EIRP_B(b)=52 ;G_TB(b)=5;
elseif mesafeB(b)>C && mesafeB(b)<D
    EIRP_B(b)=48;G_TB(b)=1;
elseif mesafeB(b)>D && mesafeB(b)<E
    EIRP_B(b)=44 ;G_TB(b)=-3;
elseif mesafeB(b)>E
    EIRP_B(b)=0;G_TB(b)=-inf;
end
end

for c=1:sondeger
if mesafeC(c)>0 && mesafeC(c)<B
    EIRP_C(c)=54; G_TC(c)=7;
elseif mesafeC(c)>B && mesafeC(c)<C
    EIRP_C(c)=52 ;G_TC(c)=5;
elseif mesafeC(c)>C && mesafeC(c)<D
    EIRP_C(c)=48;G_TC(c)=1;
elseif mesafeC(c)>D && mesafeC(c)<E
    EIRP_C(c)=44 ;G_TC(c)=-3;
elseif mesafeC(c)>E
    EIRP_C(c)=0;G_TC(c)=-inf;
end
end

for d=1:sondeger
if mesafeD(d)>0 && mesafeD(d)<B
    EIRP_D(d)=54; G_TD(d)=7;
elseif mesafeD(d)>B && mesafeD(d)<C
    EIRP_D(d)=52 ;G_TD(d)=5;
elseif mesafeD(d)>C && mesafeD(d)<D
    EIRP_D(d)=48;G_TD(d)=1;
elseif mesafeD(d)>D && mesafeD(d)<E

```

Ek-5 devamı

```

EIRP_D(d)=44;G_TD(d)=-3;
elseif mesafeD(d)>E
    EIRP_D(d)=0;G_TD(d)=-inf;
end
end

for e=1:sondeger
    if mesafeE(e)>0 && mesafeE(e)<B
        EIRP_E(e)=54; G_TE(e)=7;
    elseif mesafeE(e)>B && mesafeE(e)<C
        EIRP_E(e)=52 ;G_TE(e)=5;
    elseif mesafeE(e)>C && mesafeE(e)<D
        EIRP_E(e)=48;G_TE(e)=1;
    elseif mesafeE(e)>D && mesafeE(e)<E
        EIRP_E(e)=44 ;G_TE(e)=-3;
    elseif mesafeE(e)>E
        EIRP_E(e)=0;G_TE(e)=-inf;
    end
end
figure
subplot(5,2,1)
plot(EIRP_A)
grid on
subplot(5,2,2)
plot(G_TA)
grid on

subplot(5,2,3)
plot(EIRP_B,'r')
grid on
subplot(5,2,4)
plot(G_TB,'r');
grid on

subplot(5,2,5)
plot(EIRP_C,'g');
grid on
subplot(5,2,6)
plot(G_TC,'g')
grid on

subplot(5,2,7)
plot(EIRP_D,'y');
grid on
subplot(5,2,8)
plot(G_TD,'y')
grid on

```

Ek-5 devamı

```
% subplot(5,2,9)
% plot(EIRP_E,'c');
% grid on
% subplot(5,2,10)
% plot(G_TE,'c');
% grid on
% xlabel('X ekseni ile uydu arasındaki açı [derece]');

% _____ UYDU UZAKLIGI _____
a2=42165.8;
%uydunun boylamı
tetha_s=42*rad;
%yer istasyonun boylamı
latA=39*rad;
%yer istasyonun enlemi
tetha1=35.5*rad;
%uydunun enlem değişimi „inclination açısına bağlı
tetha2=inclination*rad*sin(tetha);
%C hesaplanması
C_A=acos(cos(tetha1-tetha2)*cos(abs(tetha_s-latA)));
C_B=acos(cos(tetha1-tetha2)*cos(abs(tetha_s-latB)));
C_C=acos(cos(tetha1-tetha2)*cos(abs(tetha_s-latC)));
C_D=acos(cos(tetha1-tetha2)*cos(abs(tetha_s-latD)));
C_E=acos(cos(tetha1-tetha2)*cos(abs(tetha_s-latE)));

%uydu istasyon mesafesi
DA=sqrt(Re^2+a2^2-2*Re*a2*(cos(C_A)));
DB=sqrt(Re^2+a2^2-2*Re*a2*(cos(C_B)));
DC=sqrt(Re^2+a2^2-2*Re*a2*(cos(C_C)));
DD=sqrt(Re^2+a2^2-2*Re*a2*(cos(C_D)));
DE=sqrt(Re^2+a2^2-2*Re*a2*(cos(C_E)));
% figure
% plot(DA);
% hold on;
% plot(DE,'r');
% % grid on;
% xlabel('X ekseni ile uydu arasındaki açı [derece]');
% ylabel('uydunun uzaklığı [km]');
%
fup=14;%GHz
LFS_Aup=92.44+20*log10(fup)+20*log10(DA);
LFS_Bup=92.44+20*log10(fup)+20*log10(DB);
LFS_Cup=92.44+20*log10(fup)+20*log10(DC);
LFS_Dup=92.44+20*log10(fup)+20*log10(DD);
LFS_Eup=92.44+20*log10(fup)+20*log10(DE);

fdown=11.5;%GHz
```

Ek-5 devamı

```

LFS_Adown=92.44+20*log10(fdown)+20*log10(DA);
LFS_Bdown=92.44+20*log10(fdown)+20*log10(DB);
LFS_Cdown=92.44+20*log10(fdown)+20*log10(DC);
LFS_Ddown=92.44+20*log10(fdown)+20*log10(DD);
LFS_Edown=92.44+20*log10(fdown)+20*log10(DE);
inclination;
%-----LINK BUDGET HESABI-----
% uplink_flux_density=SFD-IBO-loses_margin-10*log10(trans_BW/carrier_BW);
% uplink_EIRP=SFD-IBO-loses_margin-
10*log10(trans_BW/carrier_BW)+20*log10(distance)+71;
% uplink_C_N=uplink_EIRP-LFS 'ilgili'+G_T-loses_margin+228.6-
10*log10(carrier_BW);
% HPA_power=uplink_EIRP-antenna_GAIN;
%
%IBS/IDR için
Eb_NoA=link(EIRP_A,LFS_Adown)
Eb_NoB=link(EIRP_B,LFS_Bdown)
Eb_NoC=link(EIRP_C,LFS_Cdown)
Eb_NoD=link(EIRP_D,LFS_Ddown)
Eb_NoE=link(EIRP_E,LFS_Edown)

% function Eb_No=link(carrier_EIRP,LFS_down)
% OBO=3;%uyduunun output back-off
% loses_margin=3;% yagmur LNB .. gibi zayıflatmalar ve marjinler
% ESG_T=22;%alıcı antenin G/T degeri
% k=1.378e-23;%boltzman sabiti
% trans_BW=36e6;%transponder band genişliği
% carrier_BW=960e3;%taşıyıcının band genişliği
% rate=1.024e6;%data hızı;
% downlinkisocounter=0;
% carrier_EIRP=trans_EIRP-OBO-10*log10(trans_BW/carrier_BW)-downlinkisocounter-
loses_margin;
% C_N=carrier_EIRP-LFS_down+ESG_T-10*log10(k)-10*log10(carrier_BW);
% C_No=carrier_EIRP-LFS_down+ESG_T-10*log10(k);
% Eb_No=C_No-10*log10(rate);
% end
figure
plot(Eb_NoA,'r-')
hold on;
grid on;
plot(Eb_NoB,'g-')
plot(Eb_NoC,'b-')
plot(Eb_NoD,'y-')
plot(Eb_NoE,'c-')
legend('A','B','C','D','E')
xlabel('X ekseni ile uydu arasindaki açi [derece]');
ylabel('Eb/No[dBHz]');

```

ÖZGEÇMİŞ

Ümit Cezmi YILMAZ, 27.02.1979 tarihinde Trabzon'da doğdu. İlk öğrenimini Akçaabat Merkez İlkokulunda tamamladı. Orta öğrenimini Bursa Cumhuriyet Lisesinde başlamış Trabzon Cumhuriyet Ortaokulunda tamamlamıştır. Trabzon Fatih Deneme Lisesinden 1997 yılı başında mezun oldu. Aynı yıl Karadeniz Teknik Üniversitesi Elektrik-Elektronik Mühendisliği Bölümünü kazandı. 2002 yılında bölümünden Elektrik-Elektronik Mühendisi unvanıyla mezun oldu. Aynı yıl Karadeniz Teknik Üniversitesi Fen Bilimleri Enstitüsü Elektronik Anabilim Dalı'nda yüksek lisans öğrenimine başladı. 2002 Ekim'de aynı bölümde Araştırma Görevlisi olarak çalışmaya başladı. Kasım 2003'ten itibaren Gölbaşı Türksat Uydu Kontrol Merkezinde Uydu Kontrol Mühendisi olarak çalışmaktadır. Yabancı dil olarak İngilizce bilmektedir.